

Казахский национальный университет имени аль-Фараби
Институт информационных и вычислительных технологий КН МНВО РК

УДК 004.021(043)

На правах рукописи

БЛИЕВА ДАНА НАЗАРБАЕВНА

**Разработка алгоритма решения динамических уравнений
пороупругости на основе спектрального метода**

6D060200–Информатика

Диссертация на соискание степени
доктора философии (PhD)

Отечественный научный консультант
доктор физико–математических наук,
профессор Бердышев А.С.

Зарубежный научный консультант
доктор философии (Ph.D), профессор
Альберто Кабада (Университет
Сантьяго де Компостела, Испания)

Республика Казахстан
Алматы 2024

СОДЕРЖАНИЕ

НОРМАТИВНЫЕ ССЫЛКИ.....	3
ОБОЗНАЧЕНИЯ И СОКРАЩЕНИЯ	4
ВВЕДЕНИЕ.....	5
1 СОВРЕМЕННОЕ СОСТОЯНИЕ ПРОБЛЕМЫ	17
1.1 Постановка задачи	17
1.2 Модель для двумерного случая.....	19
Выводы по первому разделу	20
2 АНАЛИТИЧЕСКОЕ РЕШЕНИЕ ЗАДАЧИ.....	20
2.1 Получение системы обыкновенных дифференциальных уравнений	20
2.2 Приведение системы к нормальному (каноническому) виду	24
2.3 Условия разрешимости	30
2.4 Аналитическое решение в явном виде.....	32
2.5 Применение преобразований Фурье-Лапласа к функциям источника импульса	34
Выводы по второму разделу	41
3 ЧИСЛЕННОЕ РЕШЕНИЕ ДИНАМИЧЕСКОЙ ЗАДАЧИ.....	42
3.1 Матричная форма системы.....	42
3.2 Дискретная аппроксимация задачи	44
Выводы по третьему разделу	48
4 РЕЗУЛЬТАТЫ ВЫЧИСЛИТЕЛЬНЫХ ЭКСПЕРИМЕНТОВ	49
4.1 Вычислительные эксперименты	49
4.1.1 Первый вычислительный эксперимент	50
4.1.2 Второй вычислительный эксперимент	54
Выводы по четвертому разделу.....	60
ЗАКЛЮЧЕНИЕ	61
СПИСОК ИСПОЛЬЗОВАННЫХ ИСТОЧНИКОВ	64
ПРИЛОЖЕНИЕ А.....	68
ПРИЛОЖЕНИЕ Б.....	76
ПРИЛОЖЕНИЕ В.....	83
ПРИЛОЖЕНИЕ Г.....	89

НОРМАТИВНЫЕ ССЫЛКИ

В настоящей диссертационной работе использованы ссылки на следующие стандарты:

ГОСТ 7.1–84 Система стандартов по информации, библиотечному и издательскому делу. Библиографическое описание документа. Общие требования и правила составления.

ГОСТ 7.9–95 (ИСО214–76) Система стандартов по информации, библиотечному и издательскому делу. Реферат и аннотация. Общие требования.

ГОСТ 7.12–93 Система стандартов по информации, библиотечному и издательскому делу. Библиографическая запись. Сокращения слов на русском языке. Общие требования и правила.

Инструкция по оформлению диссертации и автореферата 2004 г.

ГОСТ 7.1-2003 Библиографическая запись. Библиографическое описание. Общие требования и правила составления.

ГОСТ 8.417–81 Государственная система обеспечения единства измерений. Единицы физических величин.

ОБОЗНАЧЕНИЯ И СОКРАЩЕНИЯ

\vec{u} , \vec{v} – скорость упругого пористого тела и жидкости

$\rho_{0,s}$, $\rho_{0,l}$ – парциальная плотность упругого пористого тела и жидкости

ρ_0 – плотность флюидонасыщенной пористой среды

$\rho_{0,s}^f$, $\rho_{0,l}^f$ – физическая плотность упругого пористого тела и жидкости

p – поровое давление

σ_{ik} – компоненты тензора напряжений

$\delta_{i,k}$ – символ Кронекера

d_0 – пористость

K – упругий модуль объемного сжатия твердой компоненты гетерофазной среды

λ , μ – коэффициенты Ламе

γ – модуль объемного сжатия жидкой компоненты гетерофазной среды

c_s – скорость распространения поперечной волны

c_{p1} , c_{p2} – скорость распространения быстрой и медленной продольной

ВОЛНЫ

ВВЕДЕНИЕ

Общая характеристика работы

В данной диссертационной работе был разработан алгоритм численно-аналитического решения уравнений пороупругости. На основе спектрального метода была поставлена корректная задача с начальными и граничными условиями для данного уравнения. В результате полученная модель описывает распространение сейсмических волн в насыщенный флюидом пористой среде.

Явное аналитическое решение удалось получить, сведя исходную задачу к системе обыкновенных дифференциальных уравнений. Для этого было использовано интегральное преобразование Фурье–Лапласа. В работе доказана корректность постановки задачи, выведены условия разрешимости системы.

Для численного решения использовался конечно-разностный метод на разнесенной (шахматной) сетке. Проведена численная реализация и верификация метода на основе физических параметров и формы сейсмического импульса, полученных из реальных данных. Были проведены два численных эксперимента с различными наборами данных и функциями импульса.

В рамках работы был разработан интерфейс, облегчающий проведение вычислительных экспериментов, а также позволяющий получать динамическую визуализацию процесса распространения сейсмических волн.

Актуальность темы

Современный мир предоставляет обширные примеры пропитанных флюидом (жидкостями) упруго-пористых сред. Математическое и компьютерное моделирование процессов, происходящих в этих средах, представляет собой существенное и актуальное направление в современных исследованиях. Это направление не только позволяет решать значимые научно-технические задачи, но также проводить теоретические и экспериментальные исследования с интенсивным использованием вычислительных технологий.

В современной науке и технике происходит активное развитие компьютерного моделирования распространения волн в пористых средах, насыщенных жидкостью. Это становится неотъемлемой частью решения прикладных задач в геофизике, биомеханике и нефтяной промышленности. Создание реалистичных моделей играет важную роль в объяснении наблюдаемых эффектов в сейсмических исследованиях свойств горных пород при наличии поровой жидкости.

На рисунке 1 для наглядности приведена фотография образца пористой породы, содержащей пластовые флюиды, таких как нефть и вода. На рисунке 2 приведены снимки электронного микроскопа той же пористой породы, демонстрирующей ее пористую структуру на микроуровне.



Рисунок 1 – Фото образца пористой породы, содержащей пластовые флюиды (нефть, вода и т.п.)

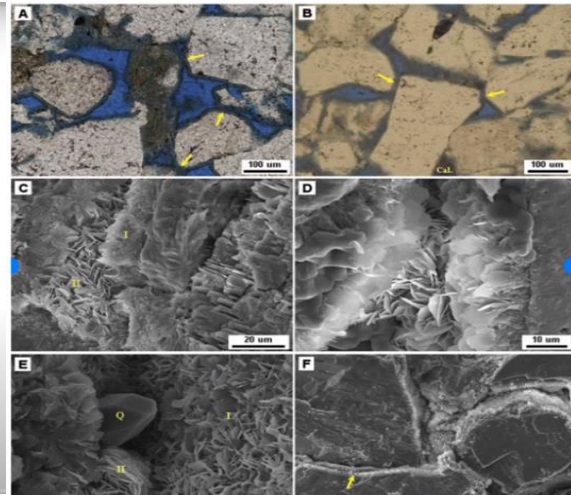


Рисунок 2 – Снимки электронного микроскопа пластовой породы

Коэффициент пористости – это соотношение объема пор к объему твердой части, выраженное в долях единицы.

На рисунке 3 приведено схематическое изображение строения пористой среды, где желтым цветом изображены частицы твердого каркаса пористого тела, а голубым - насыщающая поры жидкость. На рисунке 4 приведены различные виды биологических тканей, также имеющих пористую структуру, насыщенную жидкостью.

Общая пористость

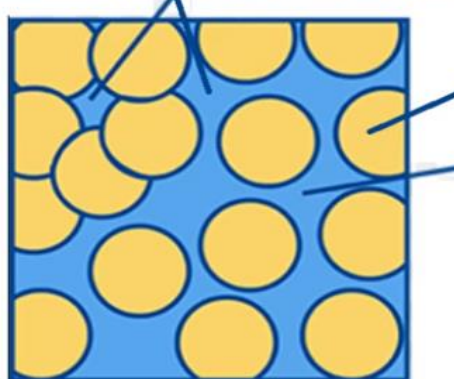


Рисунок 3 – Схема пористой среды



Рисунок 4 – Виды биологических тканей с различной пористостью

Анализ современной научной литературы выделяет, что изучение потоков жидкости в пористых средах занимает ведущее положение в области компьютерного и математического моделирования. Разнообразие структур в

пористых средах охватывает как естественные, так и искусственные материалы. Эта многообразность предоставляет нам сложные задачи и в моделировании физических свойств. Без учета этой сложности становится непросто предвидеть и оценивать эффективность применения пористых материалов в новых технологических процессах. В итоге, развитие методов изучения пористых сред оказывает положительное влияние на множество прикладных областей.

Данный факт подтверждается тем, что поиск только по нескольким ключевым словам «теория пороупругости», «пористые материалы», «распространение волн», «поровое давление» в базе Web of Science Core Collection выдал информацию о 96,982 публикациях на эти темы с разбивкой по приложениям в самых разных научных отраслях, как показано на рисунке 5:



Рисунок 5 – Анализ количества публикаций по темам пороупругости в Web of Science Core Collection с разбивкой по областям применения

Анализ количества публикаций на эту тему по годам также демонстрирует постоянный рост, превышающий несколько тысяч публикаций ежегодно, и удваивается каждые десять лет, достигнув 6000 публикаций в 2021 году, как показано на рисунке 6:

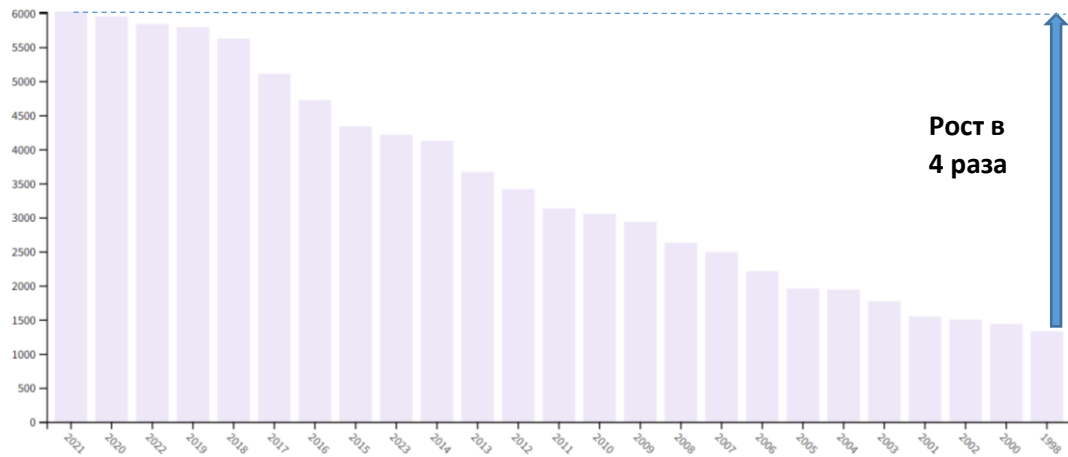


Рисунок 6 – Анализ количества публикаций по темам пороупругости в Web of Science Core Collection по годам за период 1999–2022 гг.

Анализ аффилированности публикуемых работ по темам пороупругости показывает, что активные исследования в данном направлении ведутся во всех ведущих научных центрах мира, включая ведущие государственные научные учреждения Европы (Франции, Швейцарии), Индии, Китайская академия наук, Российская академия наук, ведущие ВУЗы США (Калифорнии, Техаса, Пенсильвании, MIT), Франции, Китая, Великобритании и т.д., как показано на рисунке 7.



Рисунок 7 – Анализ аффилированности авторов публикаций по теме пороупругости в Web of Science Core Collection

Обзор современных исследований пороупругости

Модель Френкеля-Био, традиционно применяемая для численного моделирования процессов в пористых средах, исследует относительное смещение матрицы и флюида с учетом межфазного взаимодействия. Эта модель была первоначально предложена советским физиком-теоретиком Я.И. Френкелем в 1944 году [1] и дальше развита бельгийско-американским физиком М.Э. Био в 1956 году [2]. Оба ученых справедливо считаются основоположниками теории пороупругости.

Теория Френкеля-Био изначально была разработана для изучения физических процессов во влажной почве, представляющей собой среду, состоящую из жесткого пористого каркаса, наполненного жидкостью. Позднее эта модель нашла применение в математическом моделировании физических процессов во флюидонасыщенных пористых средах.

В теории Френкеля-Био, при анализе распространения сейсмических волн в пористых средах [3], учтено не только присутствие быстрых продольных и поперечных волн, но и наличие вторичной продольной волны. Скорости распространения этих волн в модели Френкеля-Био зависят от четырех упругих параметров и учитывают различные физические характеристики, такие как пористость, плотности матрицы и жидкости.

В работах [4-8] показаны различные представления модели Био и их модификаций. Приведены теоремы корректности, различные численные методы решения моделей Био. В данной диссертации будет также затронуто направление дальнейших исследований в этой области.

Процесс математического моделирования включает как минимум три этапа:

формулирование уравнений, описывающих свойства среды с учетом разных физических законов;

создание алгоритма для численной реализации;

разработка компьютерной программы для визуализации и анализа процесса.

Успешное завершение этих этапов обеспечивает значительный экологический и экономический эффект [9].

Каждый этап представляет собой отдельное направление исследований, и в данной диссертации будут рассмотрены ключевые аспекты каждого этапа. Они также упомянуты в многочисленных исследованиях ученых и изложены в соответствующих публикациях [5, с.3; 6, р.333; 7, р.75A229; 8, с.103; 9-28].

В индустрии и геофизике применяются различные математические модели для решения ключевых задач. В геофизических исследованиях активно используют методы сейсмического анализа для выявления и определения геологических структур. Этот подход основан на распространении упругих волн в горных породах, что предоставляет информацию о структуре земной коры.

Работа [11, с.3] подчеркивает значимость математического моделирования пороупругости в различных областях науки и техники. В работе выделяется особая роль численного решения в контексте разработки месторождений нефти и газа, используя схемы расщепления по физическим процессам.

В работе [11, с.5] также отмечается важность и актуальность исследований в области геофизики пластов. Показаны примеры применения ультразвукового и сейсмического моделирования пористой среды позволяет изучать свойства пород и анализировать сейсмическую реакцию геологических образований.

В работе [11, с 7] представлен обзор численных методов для решения дифференциальных уравнений в частных производных, описывающих распространения волн в насыщенных жидкостью средах.

В работе моделирование базируется на теории динамической пороупругости Био. Рассматриваются различные техники и аспекты численной реализации. В качестве механизма потерь и продольных волн в пористых средах выступает диффузионные волны Био.

В нефтегазовой отрасли математические модели используются для улучшения методов добычи углеводородов. Это включает в себя анализ того, как наилучшим образом использовать продуктивные слои, прогнозирование и планирование добычи, а также уменьшение возможных повреждений пластов, которые могут возникнуть в процессе добычи нефти и газа. Проблемы, связанные с пороупругостью и движением флюидов в пористых средах, играют важную роль в разработке месторождений нефти и газа [11, с.4].

Пренебрежение оценкой деформационных процессов может повлечь серьезные последствия, включая разрушение пластов, сопровождаемое экономическими и экологическими убытками. Примером служит нефтяное месторождение Уилмингтон в Калифорнии, США, где с 1938 по 1966 год произошли значительные деформации поверхности земли, землетрясения и разрушение инфраструктуры.

Также существуют аналогичные случаи в разных регионах мира [12, с.83], например, венесуэльское месторождение Lagunillas, открытое в 1926 году, испытывало просадку до 4,1 метра к 1976 году. Норвежское месторождение Экофиск, открытое в 1970 году, имело опускание в 2,6 метра к 1985 году. Республика Азербайджан зарегистрировала опускание до 3,0 метра на месторождении Сураханы, открытом в 1904 году, и до 2,45 метра на месторождении Балаханы-Сабунчи-Романы, открытом в 1871 году. В США, месторождение Buena Vista, открытое в 1910 году, показало опускание более 2,3 метра к 1964 году. Землетрясение в поселке Газли (Узбекистан) в 1976 и 1984 годах, вызванное разработкой газового месторождения. Разрушение города Нефтегорска на Сахалине в 1995 году, также обусловленное разработкой нефтяных месторождений. Татарстанский случай с месторождением Ромашкинское, где в 1987-1997 годах зарегистрировано около 700 землетрясений с силой 4-5 баллов.

В экспериментах [16, с.382] доказаны правильность теории Био М.А.

Применение математических моделей [25] становится ключевым для точного прогнозирования и управления процессами, обеспечивая эффективное управление месторождениями и снижение их воздействия на окружающую среду.

В труде [29], основываясь на общих первых принципах физики, автор разработал нелинейную математическую модель для пористых сред. В этой модели Доровского указаны две продольные и одна поперечная звуковые колебаний. В отличие от моделей типа Френкеля-Био, линейризованная модель Доровского характеризует среду с помощью трех упругих параметров, взаимно-однозначно выраженных через три скорости упругих колебаний.

Дальнейшие исследования [30–34] были посвящены применению спектрального метода Лагерра для численного решения динамических уравнений пороупругости.

Таким образом модель Доровского является модификацией модели пороупругости Био и расширяет ее за счет включения дополнительных параметров, которые учитывают механическое и жидкостное поведение пороупругого материала [35,36]. Одним из ключевых отличий модели Доровского от модели Био является включение в нее параметра K – времени релаксации сорбции, который описывает, как молекулы жидкости перемещаются в порах материала под нагрузкой, характеризующий механическую реакцию сорбированного флюида на внешнее воздействие, которая явно не включена в модель Био. Этот параметр учитывает эффекты прилипания жидкости к твердому каркасу пористого материала и может помочь лучше описать общее механическое поведение материала при деформации.

Модель Доровского вводит новые параметры для описания взаимодействия жидкостей и твердых тел в пористом материале и результирующего воздействия на деформацию и течение жидкости. Модель использовалась для изучения различных приложений, включая механику земной коры и поведение геотермальных резервуаров.

Связь темы диссертации с планами научных работ. Диссертационная работа выполнена в соответствии с планами фундаментальной научно–исследовательской работы (НИР) КН МОН РК по проекту на тему «Математическое моделирование динамики упруго–деформируемых пористых сред с учетом частной зависимости коэффициента трения (с памятью)» (2017–2020) гг. № гос.регистрации 0118РК00126, шифр АР05131026) под руководством д.ф.–м.н. проф. Бердышева А.С. Результаты исследовательской работы [37] послужили основой для разделов данной диссертации.

Цель работы

Целью данной диссертационной работы является создание алгоритма и проведение исследования методов численно-аналитического решения начально-краевой задачи для системы динамических уравнений пороупругости. Эта система уравнений предназначена для описания процессов распространения сейсмических волн в пористой среде, насыщенной флюидами.

Для достижения поставленной цели необходимо было решить следующие задачи:

– исследовать существующие методы аналитического и численного решения динамических уравнений пороупругости, провести анализ

существующих математических моделей, описывающих распространение акустических волн в упруго–пористой среде;

– исследовать модели, описывающей динамические процессы, происходящие в однослойной пористой среде, характеризуемой физическими параметрами;

– обосновать корректность постановки исходной начально–краевой задачи для решения динамических уравнений, определить условия разрешимости задачи, и получить аналитическое решение в явном виде;

– разработать эффективный алгоритм численного решения, провести численную реализацию с последующей верификацией для большой области определения пространственных переменных и реальных значений исходных физических параметров;

– построить визуализации результатов вычислительных процессов с помощью автоматизированного интерфейса.

Объект исследования: динамические процессы, происходящие в пороупругой среде, насыщенной жидкостью и ее физические свойства при распространении в ней сейсмических волн.

Предметом исследования является математическая модель для двумерного случая и аппроксимирующая ее разностная схема, реалистично описывающая физические процессы, происходящие во флюидонасыщенной упругопористой среде в полуплоскости, характеризуемой различными параметрами.

Методы исследования

В данной диссертации исследуется система уравнений, описывающая распространение сейсмических волн в пористых средах. Рассматривается двумерная задача, представленная системой линеаризованных динамических уравнений [29–33]. Эта система описывается в терминах векторов скорости твердой матрицы и насыщающей жидкости. Для аналитического решения применяется метод интегральных преобразований Фурье–Лапласа по времени и пространственным переменным.

Преыдущие исследования сосредотачивались на решении линеаризованных уравнений пористых сред без диссипации энергии, выраженной через скорость насыщающей жидкости, скорость матрицы, давление жидкости и тензор напряжений.

Совместно с профессором Бердышевым А.С. и Имомназаровым Х.Х. была численно решена задача с двумя слоями пористых сред, имеющих различные упругие параметры. Для этого использовались методы преобразования Лагерра по времени и метод конечных разностей по пространству [31, с.208], предложенный Г.В. Конюхом и Б.Г. Михайленко [32, с.79; 34, с.105]. Этот метод успешно применялся для решения задач теории упругости и вязкоупругости [35, с.1207] различными исследователями.

Новизна работы Применение интегрального преобразования Фурье–Лапласа по времени и одной из пространственных переменных позволило упростить исходную начально–краевую задачу для симметричной

гиперболической системы уравнений в частных производных. Теперь решение сводится к решению системы обыкновенных дифференциальных уравнений относительно второй пространственной переменной.

Этот подход позволил теоретически подтвердить корректность постановки исследуемой задачи, определить необходимые и достаточные условия разрешимости задачи, получить выражение аналитического решения в явном виде.

Для численного решения дискретного аналога исходной задачи было применено несколько численных методов и использование явной конечно-разностной противопоточной схемы на разнесенной сетке позволило получить наиболее эффективный алгоритм. Разработан программный комплекс имитационной модели, описывающей физические процессы и свойства пороупругих сред с визуализацией, соответствующей экспериментальным наблюдениям. Использование алгоритма распараллеливания вычислительных процессов позволило сократить время вычислений на достаточно большой области определения пространственной переменной.

Практическая значимость исследования

В данной работе представлено краткое изложение и постановка задачи, касающейся распространения сейсмических волн в флюидонасыщенной пористой среде. Разработанная модель предоставляет объяснение для явлений, которые наблюдаются при проведении сейсмических исследований свойств горных пород в условиях наличия поровой жидкости. Учитывая сложность внутренней структуры флюидонасыщенной пороупругой среды, эта модель предоставляет возможность исследовать свойства системы в условиях, близких к реальному эксперименту, при этом снижая экономические затраты.

Применение интегрального преобразования Фурье–Лапласа к частным производным по времени и одной из пространственных переменных расширяет возможности решения задач. Таких как моделирование сейсмических и электромагнитных явлений, а также задачи теплопроводности и прочие.

Практическая значимость данного исследования обусловлена неотъемлемой потребностью в моделировании физических свойств как естественных, так и искусственных пористых материалов для точного прогнозирования и анализа динамических процессов. Пористые среды, такие как различные почвы, горные породы, ткани растений и животных, волоконные, порошковые и вспененные металлы, а также керамические, полимерные и композитные материалы, подлежат исследованию и оказывают влияние на различные области научных исследований, такие как теория фильтрации, энергетика, механика материалов, медицина, биология, сельское хозяйство и геология.

Положения, выносимые на защиту:

– Построено аналитическое решение в явном виде для двумерной динамической задачи пороупругости с помощью применения преобразование Фурье–Лапласа (спектральный метод). Подтверждена корректность постановки начально–краевой задачи для симметрической t –гиперболической системы

уравнений в частных производных. На основе построенного аналитического решения выявлены необходимые и достаточные условия разрешимости системы уравнений.

– Разработан алгоритм параллельных вычислений численного решения динамической задачи пороупругости на основе явной конечноразностной противопоточной схемы на разнесенной сетке. Численное решение задачи, реализованное в программном комплексе на современном языке программирования Julia (разработан в MIT для высокопроизводительных вычислений)

– Разработан автоматизированный комплекс компьютерных программ с интерфейсом для визуализации результатов параллельных вычислительных процессов.

Автор внес значительный личный вклад в диссертационную работу, выполнив все этапы исследования самостоятельно. Совместно с научными руководителями были определены постановка задач, выбор метода исследования, а также обсуждение полученных результатов.

Достоверность и обоснованность полученных результатов подтверждается публикациями в высокоимпактных журналах зарубежного уровня и изданиях, рекомендованных Комитетом по контролю в сфере образования и науки Министерства образования и науки Республики Казахстан, а также участием в работе международных научных конференций.

Апробация диссертационной работы. Результаты, полученные в диссертационной работе, докладывались и обсуждались в [37, с.48-49]:

– на Международной научно–практической конференции «Российская наука в современном мире», 2018, г. Москва.

– Научной конференции Института информационных и вычислительных технологий МОН РК «Современные проблемы информатики и вычислительных технологий», 2018, г. Алматы.

– на II International Scientific and Practical Conference «Modern world economy: problems and prospects in the era of the development of digital technologies and biotechnology», 2019, г. Москва.

– на I Conference on Transfer between Mathematics & Industry (CTMI 2019), 2019, г. Сантьяго де Компостела, Испания.

– на Международной научной конференции «Inverse problems in finance, economics and life sciences», 2019, г. Алматы.

– IV международной научно–практической конференции "Информатика и прикладная математика", посвященной 70–летию юбилею профессоров Биярова Т.Н., Вальдемара Вуйцика и 60–летию профессора Амиргалиева Е.Н., 2019, Алматы.

– в докладе на Семинаре по дифференциальным уравнениям и функциональному анализу, организованному Институтом математики в сотрудничестве с департаментом по статистике, математическому анализу и оптимизации Университета Сантьяго де Компостела, 2019, г. Сантьяго де Компостела, Испания.

– на заседаниях научного семинара Института информационных и вычислительных технологий КН МОН РК

– на научном семинаре кафедры информатики факультета информационных технологий КазНУ им. аль-Фараби.

– на научном семинаре профессора Эдрисса Тити на математическом факультете университета Texas A&M University. Профессор Эдрисс Тити также является деканом математического факультета в University of Cambridge.

Публикации. По материалам диссертационной работы опубликовано 15 печатных работ : 2 в международных научных журналах, индексированных в Scopus и Web of Science (Q1: Computer Science–miscellaneous) [38, 39], 4 в журналах из Перечня ККСОН МНиВО РК [4, 40-42] для опубликования основных результатов диссертации на соискание ученой степени PhD и 9 работ в материалах Международных научных конференций [43–50].

Объем и структура диссертации. Диссертационная работа состоит из введения, четырех разделов, заключения, списка использованных источников из 57 наименований и четырех приложений с кодами программного комплекса и актами внедрения; содержит 90 страниц основного компьютерного текста, включая 20 рисунков и 3 таблицы.

Во **Введении** дано описание проблемы, краткий обзор предметной области. Обоснована актуальность диссертационной работы, проведен обзор литературных источников.

Первый раздел посвящен современному состоянию постановки динамической задачи пороупругости на основе модели Доровского и рассмотрена постановка задачи для двумерного случая, которая представляет собой систему из восьми уравнений в частных производных с начальными и краевыми условиями.

Во **втором разделе** проводится анализ корректности постановки исходной задачи, и рассматриваются условия ее разрешимости. Дополнительно осуществляется получение аналитического решения в явном виде с использованием интегрального преобразования Фурье–Лапласа.

В **третьем разделе** представлен алгоритм численного решения поставленной задачи на основе конечно–разностной явной схемы на разнесенной сетке.

Четвертый раздел посвящен описанию численных экспериментов и автоматизированного комплекса компьютерных программ для визуализации полученных результатов, описывающих физические процессы, происходящие при распространении акустических волн во флюидонасыщенной пористой среде.

В **заключении** сформулированы полученные в работе основные результаты и их значение для области знания, в которой они относятся, а также для области их практического применения.

В **приложении А** приведен код на MatLab для получения аналитического решения, приведенного во втором разделе.

В **приложении Б** приведен код на языке программирования Julia для численного решения динамической задачи.

В приложении В приведен код на языке HTML для автоматизированного вычислительного процесса с удобным интерфейсом ввода данных и выводом на дэшборд визуализации результатов вычислений.

Хотела бы выразить благодарность в подготовке данной диссертации:

1. Отечественному научному консультанту, доктору физико–математических наук, профессору Бердышеву А.С. за постановку интересной и актуальной темы диссертации, осуществления руководства на протяжении всего периода проведения исследований, помощи в публикации результатов, включении в состав группы в научно–исследовательских проектах грантового финансирования Комитета науки Министерства образования и науки Республики Казахстан.

2. Зарубежному научному консультанту, доктору философии (Ph.D), профессору А.Кабада, за помощь во время прохождения зарубежной стажировки в Университете Сантьяго де Компостела и помощь в теоретической и вычислительной части исследования, в подготовке совместных публикаций и материалов для 2–го раздела.

3. Байгерееву Д.Р., ассоциированному профессору кафедры математики Восточно–Казахстанского Университета имени С. Аманжолова, Ph.D доктору, за консультации, соавторство и помощь в подготовке материалов для совместной публикации в журнале *Symmetry Open Access Journal by MDPI* (Q1), ставшей основой 3–го и 4–го разделов данной диссертации.

4. Имомназарову Х.Х., д.ф–м.н, профессору, за консультации по теме диссертации, отраженных в 1–ом разделе, соавторство и ценные дополнения в публикации статьи в высокорейтинговом журнале *Symmetry Open Access Journal by MDPI* (Q1), ставшей основой 3–го и 4–го разделов данной диссертации.

5. Калимолдаеву М.Н., академику Национальной Академии Наук Республики Казахстан, за подбор отечественного научного консультанта и общую поддержку на протяжении всего периода обучения по программе докторантуры PhD.

1 СОВРЕМЕННОЕ СОСТОЯНИЕ ПРОБЛЕМЫ

1.1 Постановка задачи

В данном разделе представлена формулировка математической модели [36, с.23-24]. Модель выражена в виде начально–краевой задачи для симметричной t – гиперболической системы уравнений в частных производных. Уравнения системы основаны на законах сохранения импульса и законе Гука, учитывая при этом термодинамические условия.

Рассматривается полуплоскость $x_2 > 0$ представляющая собой флюидонасыщенную упругую пористую среду, с учетом параметров каждой из ее компонент. Полагаем, что поры полностью заполнены жидкостью. Распределение фаз в пространстве описывается макроскопическим параметром, таким как пористость — объемная концентрация пустот, заполненных жидкостью в среде.

Распространение сейсмических волн в этой среде без потери энергии формулируется через начально–краевую задачу. В этой задаче должны быть учтены физические свойства скорость насыщающей жидкости, скорости матрицы, давление жидкости и тензор напряжений [5, 7].

Значения относящиеся к твердой фазе и подвижная фаза насыщающей жидкости упругой среды обозначаются нижним индексом « s » и « l », соответственно. Например, парциальная плотность ρ_s и ρ_l , физические плотности ρ_s^f и ρ_l^f . Парциальные плотности определяются через физические плотности и пористости d_0 :

$$\rho_0 = \rho_s^f (1 - d_0) + \rho_l^f d_0 = \rho_s + \rho_l,$$

здесь ρ_0 - плотность пористой среды

Теперь перейдем к построению самой задачи. Сперва задача рассматривается в области $t \in [0; +\infty)$, $x_1 \in (-\infty; +\infty)$, $x_2 \in [0; +\infty)$. Необходимо учитывать следующие математические модели физических процессов:

Закон сохранения импульса для жесткого каркаса:

$$\frac{\partial u_j}{\partial t} + \frac{1}{\rho_s} \left(\frac{\partial \sigma_{j1}}{\partial x_1} + \frac{\partial \sigma_{j2}}{\partial x_2} \right) + \frac{1}{\rho_0} \frac{\partial p}{\partial x_j} = F_j, \quad (1.1.1)$$

где $j = 1, 2$, то есть $\vec{u} = (u_1, u_2)^T$ вектор скорости упругого пористого тела, p – поровое давление, σ_{ik} – компонент тензора напряжений, F_j – компоненты функции источника;

Уравнение движения насыщающей жидкости является линеаризованном случае предыдущего:

$$\frac{\partial v_j}{\partial t} + \frac{1}{\rho_0} \frac{\partial p}{\partial x_j} = F_j, \quad (1.1.2)$$

где $\vec{v} = (v_1, v_2)^T$ – вектор скорости жидкости;

Закон Гука для жесткого каркаса (упругой среды):

$$\frac{\partial \sigma_{jk}}{\partial t} + \mu \left(\frac{\partial u_k}{\partial x_j} + \frac{\partial u_j}{\partial x_k} \right) + \left(\frac{\rho_s}{\rho_0} K - \frac{2}{3} \mu \right) \delta_{jk} \operatorname{div} \vec{u} - \frac{\rho_s}{\rho_0} K \delta_{jk} \operatorname{div} \vec{v} = 0, \quad (1.1.3)$$

где $\delta_{i,k}$ – символ Кронекера, $K = \lambda + \frac{2}{3} \mu$, $\lambda > 0$, $\mu > 0$ – коэффициенты Ламе.

А для насыщающей жидкости является линеаризованном случае предыдущего:

$$\frac{\partial p}{\partial t} - \left(K - \frac{\rho_s}{\rho_0} \alpha \right) \operatorname{div} \vec{u} + \frac{\rho_l}{\rho_0} \alpha \operatorname{div} \vec{v} = 0 \quad (1.1.4)$$

где $\alpha = \gamma + K$, – сумма двух модулей объемного сжатия твердой K и жидкой γ компонент гетерофазной среды, которые характеризуют двухфазную пористую среду.

Начальные условия:

$$u_j \Big|_{t=0} = v_j \Big|_{t=0} = \sigma_{jk} \Big|_{t=0} = p \Big|_{t=0} = 0, \quad (1.1.5)$$

Граничные условия на свободной поверхности плоскости:

$$\sigma_{22} + p \Big|_{x_2=0} = \sigma_{12} \Big|_{x_2=0} = \frac{\rho_l}{\rho_0} p \Big|_{x_2=0} = 0, \quad (1.1.6)$$

Упругие модули $K > 0$, $\mu > 0$, $\gamma > 0$ ($K, \mu, \gamma \in \mathbb{R}$) выражаются через скорости распространения поперечной волны c_s и двух скоростей продольных волн c_{p1} , c_{p2} следующими формулами:

$$\begin{aligned} \mu &= \rho_s c_s^2, \\ K &= \frac{\rho_0}{2} \frac{\rho_s}{\rho_l} (c_{p1}^2 + c_{p2}^2 - \frac{8}{3} \frac{\rho_l}{\rho_0} c_s^2 - \sqrt{(c_{p1}^2 - c_{p2}^2)^2 - \frac{64}{9} \frac{\rho_l \rho_s}{\rho_0^2} c_s^4}), \\ \gamma &= \frac{\rho_0}{2} (c_{p1}^2 + c_{p2}^2 - \frac{8}{3} \frac{\rho_s}{\rho_0} c_s^2 + \sqrt{(c_{p1}^2 - c_{p2}^2)^2 - \frac{64}{9} \frac{\rho_l \rho_s}{\rho_0^2} c_s^4}). \end{aligned}$$

1.2 Модель для двумерного случая

Для двумерного случая [37, с.25-27] индексы j и k принимают значения только 1,2. Тогда система (1.1) – (1.4) будет состоять из восьми уравнений с восемью неизвестными функциями $u_1, u_2, v_1, v_2, \sigma_{11}, \sigma_{12}, \sigma_{22}, p$:

$$(j=1, k=1,2) \frac{\partial u_1}{\partial t} + \frac{1}{\rho_s} \frac{\partial \sigma_{11}}{\partial x_1} + \frac{1}{\rho_s} \frac{\partial \sigma_{12}}{\partial x_2} + \frac{1}{\rho_0} \frac{\partial p}{\partial x_1} = F_1, \quad (1.2.1)$$

$$(j=2, k=1,2) \frac{\partial u_2}{\partial t} + \frac{1}{\rho_s} \frac{\partial \sigma_{21}}{\partial x_1} + \frac{1}{\rho_s} \frac{\partial \sigma_{22}}{\partial x_2} + \frac{1}{\rho_0} \frac{\partial p}{\partial x_2} = F_2, \quad (1.2.2)$$

$$(j=1) \quad \frac{\partial v_1}{\partial t} + \frac{1}{\rho_0} \frac{\partial p}{\partial x_1} = F_1, \quad (1.2.3)$$

$$(j=2) \quad \frac{\partial v_2}{\partial t} + \frac{1}{\rho_0} \frac{\partial p}{\partial x_2} = F_2, \quad (1.2.4)$$

$$(j=1, k=1) \quad \frac{\partial \sigma_{11}}{\partial t} + 2\mu \frac{\partial u_1}{\partial x_1} + \left(\frac{\rho_s}{\rho_0} K - \frac{2}{3}\mu\right) \left(\frac{\partial u_1}{\partial x_1} + \frac{\partial u_2}{\partial x_2}\right) - \frac{\rho_s}{\rho_0} K \left(\frac{\partial v_1}{\partial x_1} + \frac{\partial v_2}{\partial x_2}\right) = 0, \quad (1.2.5)$$

$$(j=1, k=2) \quad (j=2, k=1) \quad \frac{\partial \sigma_{21}}{\partial t} + \mu \left(\frac{\partial u_1}{\partial x_2} + \frac{\partial u_2}{\partial x_1}\right) = 0, \quad (1.2.6)$$

$$(j=2, k=2) \quad \frac{\partial \sigma_{22}}{\partial t} + 2\mu \frac{\partial u_2}{\partial x_2} + \left(\frac{\rho_s}{\rho_0} K - \frac{2}{3}\mu\right) \left(\frac{\partial u_1}{\partial x_1} + \frac{\partial u_2}{\partial x_2}\right) - \frac{\rho_s}{\rho_0} K \left(\frac{\partial v_1}{\partial x_1} + \frac{\partial v_2}{\partial x_2}\right) = 0, \quad (1.2.7)$$

$$\frac{\partial p}{\partial t} - \left(K - \frac{\rho_s}{\rho_0} \alpha\right) \left(\frac{\partial u_1}{\partial x_1} + \frac{\partial u_2}{\partial x_2}\right) + \frac{\rho_l}{\rho_0} \alpha \left(\frac{\partial v_1}{\partial x_1} + \frac{\partial v_2}{\partial x_2}\right) = 0, \quad (1.2.8)$$

Начальные условия (1.1.5) сохраняют следующий вид:

$$u_j \Big|_{t=0} = v_j \Big|_{t=0} = \sigma_{jk} \Big|_{t=0} = p \Big|_{t=0} = 0, \quad (1.2.9)$$

Граничные условия (1.1.6) только для пористого слоя, насыщенного жидкостью с плотностью $\rho_l > 0$ принимают следующий вид:

$$\sigma_{22} \Big|_{x_2=0} = \sigma_{12} \Big|_{x_2=0} = p \Big|_{x_2=0} = 0. \quad (1.2.10)$$

где в качестве компонент функции источника сигнала $F_1(t, x_1, x_2)$, $F_2(t, x_1, x_2)$ в правой стороне системы рассмотрим функции следующего вида, имеющие физический смысл:

$$F_1(t, x_1, x_2) = f(t) \frac{\partial \delta(x_1 - x_1^0)}{\partial x_1} \delta(x_2 - x_2^0),$$

$$F_2(t, x_1, x_2) = f(t) \delta(x_1 - x_1^0) \frac{\partial \delta(x_2 - x_2^0)}{\partial x_2},$$
(1.2.11)

где в качестве моделей сейсмических импульсов, используемых в сейсморазведке для теоретических исследований и численных экспериментов, мы рассмотрим два случая функции $f(t)$ следующего вида:

Случай 1 $f(t) = -2\pi^2 f_0^2 \cdot (t - t_0) e^{-\pi^2 f_0^2 \cdot (t - t_0)^2}$ (1.2.12)

Случай 2 Импульс Пузырева $f(t) = e^{-\frac{\pi^2 f_0^2 \cdot (t - t_0)^2}{\nu^2}} \sin(2\pi f_0 \cdot (t - t_0))$. (1.2.13)

Выводы по первому разделу

В данном разделе приведена постановка динамической задачи пороупругости, описывающая распространение сейсмических волн в двухфазной пористой среде, насыщенной жидкостью. В общем случае, математическая модель составлена на полуплоскости по первой пространственной переменной в полном соответствии с физическими законами термодинамики и представляет собой четыре уравнения, два из которых составлены на основе законов сохранения импульса:

- первое для твердого каркаса пористой среды;
 - второе для насыщающей жидкости;
- и еще два на основе закона (упругости) Гука:
- третье для твердого каркаса пористой среды;
 - четвертое для насыщающей жидкости.

В двумерном случае рассматриваемая задача представляет собой математическую модель в виде задачи для системы из восьми дифференциальных уравнений в частных производных. Приведен вид функции источника сейсмического импульса, имеющих физический смысл, двух видов. Далее для этих случаев будут проведены исследования аналитического решения во втором разделе, с также эти функции будут использованы для численного решения в третьем разделе и численных экспериментов в четвертом разделе.

2 АНАЛИТИЧЕСКОЕ РЕШЕНИЕ ЗАДАЧИ

2.1 Получение системы обыкновенных дифференциальных уравнений

Для дальнейшего исследования численно–аналитического решения поставленной задачи (1.2.1) – (1.2.10) приведем определение корректности постановки задачи из [51].

Определение Задача называется корректной, если она разрешима при любых начальных условиях (или граничных) данных, принадлежащих к некоторому классу, имеет единственное решение и это решение непрерывно зависит от начальных данных.

Обоснование корректности задачи (1.2.1) – (1.2.10) сформулировано в виде Теоремы 1, приведенной в конце второго раздела диссертации.

Для демонстрации корректности постановки задачи приведем уравнения (1.2.1) – (1.2.10) к системе обыкновенных дифференциальных уравнений. Для этого воспользуемся интегральным преобразованием Фурье–Лапласа [52] по t, x_1 [37, с.25-26]:

$$\hat{f}(s, k_1, x_2) = \int_0^{\infty} \int_{-\infty}^{\infty} f(t, x_1, x_2) e^{-st - ik_1 x_1} dx_1 dt, \quad (2.1.0)$$

где $f(t, x_1, x_2)$ – интегрируемая функция при не отрицательных t и для любого x_1 , i – мнимая единица.

Таким образом, все частные производные по x_1 примут вид функции с параметрами s и k_1 , умноженный на соответствующий коэффициент ik_1 . Например, для σ_{11} :

$$\begin{aligned} \frac{\hat{\partial} \sigma_{11}(t, x_1, x_2)}{\partial x_1} &= \int_0^{\infty} \int_{-\infty}^{\infty} \frac{\partial \sigma_{11}(t, x_1, x_2)}{\partial x_1} e^{-st - ik_1 x_1} dx_1 dt = \int_0^{\infty} e^{-st} \int_{-\infty}^{\infty} e^{-ik_1 x_1} d\sigma_{11}(t, x_1, x_2) dx_1 dt = \\ &= \int_0^{\infty} e^{-st} \left[e^{-ik_1 x_1} \sigma_{11}(t, x_1, x_2) \Big|_{-\infty}^{\infty} - \int_{-\infty}^{\infty} \sigma_{11}(t, x_1, x_2) (-ik_1) e^{-ik_1 x_1} dx_1 \right] dt = \\ &= \left. \begin{array}{l} \text{при} \\ \text{условии:} \\ \lim_{x_1 \rightarrow \infty} \sigma_{11}(t, x_1, x_2) = 0 \\ \lim_{x_1 \rightarrow -\infty} \sigma_{11}(t, x_1, x_2) = 0 \end{array} \right| = ik_1 \int_0^{\infty} \int_{-\infty}^{\infty} \sigma_{11}(t, x_1, x_2) e^{-st - ik_1 x_1} dx_1 dt = ik_1 \hat{\sigma}_{11}(s, k_1, x_2) \end{aligned}$$

Аналогично можно вычислить следующие:

$$\begin{aligned} \frac{\hat{\partial} u_1(t, x_1, x_2)}{\partial x_1} &= ik_1 \hat{u}_1(s, k_1, x_2), \quad \frac{\hat{\partial} u_2(t, x_1, x_2)}{\partial x_1} = ik_1 \hat{u}_2(s, k_1, x_2), \quad \frac{\hat{\partial} v_1(t, x_1, x_2)}{\partial x_1} = ik_1 \hat{v}_1(s, k_1, x_2), \\ \frac{\hat{\partial} v_2(t, x_1, x_2)}{\partial x_1} &= ik_1 \hat{v}_2(s, k_1, x_2), \quad \frac{\hat{\partial} \sigma_{12}(t, x_1, x_2)}{\partial x_1} = ik_1 \hat{\sigma}_{12}(s, k_1, x_2), \quad \frac{\hat{\partial} \sigma_{22}(t, x_1, x_2)}{\partial x_1} = ik_1 \hat{\sigma}_{22}(s, k_1, x_2), \\ \frac{\hat{\partial} p(t, x_1, x_2)}{\partial x_1} &= ik_1 \hat{p}(s, k_1, x_2) \end{aligned}$$

А частные производные по t учитывая начальную условие (1.2.9) примут вид функции с параметрами s и k_1 и умноженный на S . Например, для $v_1(t, x_1, x_2)$:

$$\begin{aligned} \frac{\hat{\partial} v_1(t, x_1, x_2)}{\partial t} &= \int_0^{\infty} \int_{-\infty}^{\infty} \frac{\partial v_1(t, x_1, x_2)}{\partial t} e^{-st - ik_1 x_1} dx_1 dt = \int_{-\infty}^{\infty} e^{-ik_1 x_1} \int_0^{\infty} e^{-st} dv_1(t, x_1, x_2) dt dx_1 = \\ &= \int_0^{\infty} e^{-ik_1 x_1} \left[e^{-st} v_1(t, x_1, x_2) \Big|_0^{\infty} - \int_{-\infty}^{\infty} v_1(t, x_1, x_2) (-s) e^{-st} dt \right] dx_1 = \\ &= \left. \begin{array}{l} \text{условие:} \\ \lim_{t \rightarrow \infty} v_1(t, x_1, x_2) \leq C \\ (9') \Rightarrow v_1(0, x_1, x_2) = 0 \end{array} \right| = s \int_0^{\infty} \int_{-\infty}^{\infty} v_1(t, x_1, x_2) e^{-st - ik_1 x_1} dx_1 dt = s \hat{v}_1(s, k_1, x_2) \end{aligned}$$

Нетрудно вычислить для остальных:

$$\begin{aligned} \frac{\hat{\partial} u_1(t, x_1, x_2)}{\partial t} &= s \hat{u}_1(s, k_1, x_2), \quad \frac{\hat{\partial} u_2(t, x_1, x_2)}{\partial t} = s \hat{u}_2(s, k_1, x_2), \quad \frac{\hat{\partial} v_2(t, x_1, x_2)}{\partial t} = s \hat{v}_2(s, k_1, x_2), \\ \frac{\hat{\partial} \sigma_{11}(t, x_1, x_2)}{\partial t} &= s \hat{\sigma}_{11}(s, k_1, x_2), \quad \frac{\hat{\partial} \sigma_{12}(t, x_1, x_2)}{\partial t} = s \hat{\sigma}_{12}(s, k_1, x_2), \quad \frac{\hat{\partial} \sigma_{22}(t, x_1, x_2)}{\partial t} = s \hat{\sigma}_{22}(s, k_1, x_2), \\ \frac{\hat{\partial} p(t, x_1, x_2)}{\partial t} &= s \hat{p}(s, k_1, x_2). \end{aligned}$$

Уравнение (1.2.3), превращается в:

$$s \hat{v}_1 + \frac{1}{\rho_0} ik_1 \hat{p} = \hat{F}_1 \quad (2.1.1)$$

Из (2.1.1) нетрудно получить следующее:

$$\hat{v}_1 = -\frac{1}{s} \left(\hat{F}_1 - \frac{ik_1}{\rho_0} \hat{p} \right) \quad (2.1.2)$$

Следующую систему, состоящую из 7 обыкновенных дифференциальных уравнении получаем из (1.2.1) – (1.2.8) с учетом преобразования, а также (2.1.2):

$$\frac{1}{\rho_s} \frac{\partial \hat{\sigma}_{12}}{\partial x_2} + s \hat{u}_1 + \frac{ik_1}{\rho_s} \hat{\sigma}_{11} + \frac{ik_1}{\rho_0} \hat{p} = \hat{F}_1 \quad (2.1.3)$$

$$\frac{1}{\rho_s} \frac{\partial \hat{\sigma}_{22}}{\partial x_2} + \frac{1}{\rho_0} \frac{\partial \hat{p}}{\partial x_2} + s \hat{u}_2 + \frac{ik_1}{\rho_s} \hat{\sigma}_{21} = \hat{F}_2 \quad (2.1.4)$$

$$\frac{1}{\rho_0} \frac{\partial \hat{p}}{\partial x_2} + s \hat{v}_2 = \hat{F}_2 \quad (2.1.5)$$

$$\left(\frac{\rho_s K}{\rho_0} - \frac{2}{3} \mu \right) \frac{\partial \hat{u}_2}{\partial x_2} - \frac{\rho_s K}{\rho_0} \frac{\partial \hat{v}_2}{\partial x_2} + \left(\frac{\rho_s K}{\rho_0} + \frac{4}{3} \mu \right) ik_1 \hat{u}_1 + s \hat{\sigma}_{11} - \frac{\rho_s K k_1^2}{s \rho_0^2} \hat{p} = \frac{\rho_s K ik_1}{s \rho_0} \hat{F}_1 \quad (2.1.6)$$

$$\mu \frac{\partial \hat{u}_1}{\partial x_2} + \mu ik_1 \hat{u}_2 + s \hat{\sigma}_{12} = 0 \quad (2.1.7)$$

$$\left(\frac{\rho_s K}{\rho_0} + \frac{4}{3}\mu\right)\frac{\partial \hat{u}_2}{\partial x_2} - \frac{\rho_s K}{\rho_0}\frac{\partial \hat{v}_2}{\partial x_2} + \left(\frac{\rho_s}{\rho_0}K - \frac{2}{3}\mu\right)ik_1\hat{u}_1 + s\hat{\sigma}_{22} - \frac{\rho_s Kk_1^2}{s\rho_0^2}\hat{p} = \frac{\rho_s Kik_1}{s\rho_0}\hat{F}_1 \quad (2.1.8)$$

$$\left(K - \frac{\alpha\rho_s}{\rho_0}\right)\frac{\partial \hat{u}_2}{\partial x_2} - \frac{\alpha\rho_l}{\rho_0}\frac{\partial \hat{v}_2}{\partial x_2} + \left(K - \alpha\frac{\rho_s}{\rho_0}\right)ik_1\hat{u}_1 - \left(\frac{\alpha\rho_l k_1^2}{s\rho_0} + s\right)\hat{p} = \frac{\alpha\rho_l ik_1}{s\rho_0}\hat{F}_1 \quad (2.1.9)$$

С условиями (1.2.10):

$$\hat{\sigma}_{22}|_{x_2=0} = \hat{\sigma}_{12}|_{x_2=0} = \hat{p}|_{x_2=0} = 0 \quad (2.1.10)$$

Уравнение (2.1.3) умножим на $(-\frac{\rho_s}{ik_1})$ и уравнение (2.1.6) умножим на $\frac{1}{s}$ и

получим:

$$\left\{ \begin{aligned} & \left(-\frac{1}{ik_1}\right)\frac{\partial \hat{\sigma}_{12}}{\partial x_2} + \left(-\frac{s\rho_s}{ik_1}\right)\hat{u}_1 - \hat{\sigma}_{11} - \frac{\rho_s}{\rho_0}\hat{p} = \left(-\frac{\rho_s}{ik_1}\right)\hat{F}_1 \end{aligned} \right. \quad (2.1.11)$$

$$\left\{ \begin{aligned} & \left(\frac{\rho_s K}{\rho_0} - \frac{2}{3}\mu\right)\frac{1}{s}\frac{\partial \hat{u}_2}{\partial x_2} - \frac{\rho_s K}{\rho_0 s}\frac{\partial \hat{v}_2}{\partial x_2} + \left(\frac{\rho_s K}{\rho_0} + \frac{4}{3}\mu\right)\frac{ik_1}{s}\hat{u}_1 + \hat{\sigma}_{11} - \frac{\rho_s Kk_1^2}{s^2\rho_0^2}\hat{p} = \frac{\rho_s Kik_1}{s^2\rho_0}\hat{F}_1 \end{aligned} \right. \quad (2.1.12)$$

Далее сложив два преобразованных уравнения между собой, т.е. (2.1.11) + (2.1.12), получим одно уравнение (2.1.16), не содержащее $\hat{\sigma}_{11}$. Таким образом, если будут определены функции $\hat{u}_1, \hat{u}_2, \hat{v}_2, \hat{\sigma}_{12}, \hat{\sigma}_{22}, \hat{p}$, то неизвестные функции \hat{v}_1 и $\hat{\sigma}_{11}$ определяются соответственно равенствами (2.1.2) и (2.1.3).

Благодаря этим действиям мы получили новую систему из шести уравнений с шестью неизвестными функциями. Для удобства для шести неизвестных функции введем в рассмотрение вектор-функцию

$$\hat{w} = \hat{w}(\hat{u}_1, \hat{u}_2, \hat{v}_2, \hat{\sigma}_{12}, \hat{\sigma}_{22}, \hat{p})^T$$

Также для удобства, поменяем порядок уравнений в системе следующим образом (2.1.7) \rightarrow (2.1.13), (2.1.8) \rightarrow (2.1.14), (2.1.9) \rightarrow (2.1.15), (2.1.3) $\times (-\frac{\rho_s}{ik_1})$

+ (2.1.6) $\times \frac{1}{s} \rightarrow$ (2.1.16), (2.1.4) \rightarrow (2.1.17), (2.1.5) \rightarrow (2.1.18):

$$\mu\frac{\partial \hat{u}_1}{\partial x_2} + \mu ik_1\hat{u}_2 + s\hat{\sigma}_{21} = 0 \quad (2.1.13)$$

$$\left(\frac{\rho_s K}{\rho_0} + \frac{4}{3}\mu\right)\frac{\partial \hat{u}_2}{\partial x_2} - \frac{\rho_s K}{\rho_0}\frac{\partial \hat{v}_2}{\partial x_2} + \left(\frac{\rho_s K}{\rho_0} - \frac{2}{3}\mu\right)ik_1\hat{u}_1 + s\hat{\sigma}_{22} - \frac{\rho_s Kk_1^2}{s\rho_0^2}\hat{p} = \frac{\rho_s Kik_1}{s\rho_0}\hat{F}_1, \quad (2.1.14)$$

$$\left(K - \frac{\alpha\rho_s}{\rho_0}\right)\frac{\partial \hat{u}_2}{\partial x_2} - \frac{\alpha\rho_l}{\rho_0}\frac{\partial \hat{v}_2}{\partial x_2} + \left(K - \frac{\alpha\rho_s}{\rho_0}\right)ik_1\hat{u}_1 - \left(\frac{\alpha\rho_l k_1^2}{s\rho_0^2} + s\right)\hat{p} = \frac{\alpha\rho_l ik_1}{s\rho_0}\hat{F}_1, \quad (2.1.15)$$

$$\begin{aligned} & \left(\frac{\rho_s K}{\rho_0} - \frac{2}{3} \mu \right) \frac{1}{s} \frac{\partial \hat{u}_2}{\partial x_2} - \frac{\rho_s K}{s \rho_0} \frac{\partial \hat{v}_2}{\partial x_2} - \frac{1}{ik_1} \frac{\partial \hat{\sigma}_{12}}{\partial x_2} + \left(\frac{\rho_s K}{\rho_0} + \frac{4}{3} \mu + \frac{s^2 \rho_s}{k_1^2} \right) \frac{ik_1}{s} \hat{u}_1 - \\ & - \left(1 + \frac{Kk_1^2}{s^2 \rho_0} \right) \frac{\rho_s}{\rho_0} \hat{p} = \left(\frac{Kik_1}{s^2} - \frac{\rho_0}{ik_1} \right) \frac{\rho_s}{\rho_0} \hat{F}_1 \end{aligned} \quad (2.1.16)$$

$$\frac{1}{\rho_s} \frac{\partial \hat{\sigma}_{22}}{\partial x_2} + \frac{1}{\rho_0} \frac{\partial \hat{p}}{\partial x_2} + s \hat{u}_2 + \frac{ik_1}{\rho_s} \hat{\sigma}_{21} = \hat{F}_2 \quad (2.1.17)$$

$$\frac{1}{\rho_0} \frac{\partial \hat{p}}{\partial x_2} + s \hat{v}_2 = \hat{F}_2, \quad (2.1.18)$$

С граничными условиями:

$$\hat{\sigma}_{22}|_{x_2=0} = \hat{\sigma}_{12}|_{x_2=0} = \hat{p}|_{x_2=0} = 0 \quad (2.1.19)$$

2.2 Приведение системы к нормальному (каноническому) виду

Представим систему (2.1.13) – (2.1.18) в более удобном матричном виде, следующем образом:

$$A \frac{d\hat{w}}{dx_2} + B\hat{w} = C, \quad (2.2.1)$$

где \hat{w} – вектор $\hat{w} = \hat{w}(\hat{u}_1, \hat{u}_2, \hat{v}_2, \hat{\sigma}_{12}, \hat{\sigma}_{22}, \hat{p})$.

В рассматриваемой системе, матрицы A, B, C имеют следующий вид:

$$A = \begin{pmatrix} \mu & 0 & 0 & 0 & 0 & 0 \\ 0 & \frac{\rho_s K}{\rho_0} + \frac{4}{3} \mu & -\frac{\rho_s K}{\rho_0} & 0 & 0 & 0 \\ 0 & K - \frac{\alpha \rho_s}{\rho_0} & -\frac{\alpha \rho_l}{\rho_0} & 0 & 0 & 0 \\ 0 & \left(\frac{\rho_s K}{\rho_0} - \frac{2}{3} \mu \right) \frac{1}{s} & -\frac{\rho_s K}{s \rho_0} & -\frac{1}{ik_1} & 0 & 0 \\ 0 & 0 & 0 & 0 & \frac{1}{\rho_s} & \frac{1}{\rho_0} \\ 0 & 0 & 0 & 0 & 0 & \frac{1}{\rho_0} \end{pmatrix},$$

$$B = \begin{pmatrix} 0 & \mu ik_1 & 0 & s & 0 & 0 \\ \left(\frac{\rho_s K}{\rho_0} - \frac{2}{3}\mu\right)ik_1 & 0 & 0 & 0 & s & -\frac{\rho_s K k_1^2}{s\rho_0^2} \\ \left(K - \frac{\alpha\rho_s}{\rho_0}\right)ik_1 & 0 & 0 & 0 & 0 & -\frac{\alpha\rho_l k_1^2}{s\rho_0} - s \\ \left(\frac{\rho_s K}{\rho_0} + \frac{4}{3}\mu + \frac{s^2\rho_s}{k_1^2}\right)\frac{ik_1}{s} & 0 & 0 & 0 & 0 & -\frac{\rho_s}{\rho_0}\left(\frac{Kk_1^2}{s^2\rho_0} + 1\right) \\ 0 & s & 0 & \frac{ik_1}{\rho_s} & 0 & 0 \\ 0 & 0 & s & 0 & 0 & 0 \end{pmatrix},$$

$$C = \begin{pmatrix} 0 \\ \frac{\rho_s K ik_1}{s\rho_0} \hat{F}_1 \\ \frac{\alpha\rho_l ik_1}{s\rho_0} \hat{F}_1 \\ \left(\frac{K ik_1}{s^2} - \frac{\rho_0}{ik_1}\right)\frac{\rho_s}{\rho_0} \hat{F}_1 \\ \hat{F}_2 \\ \hat{F}_2 \end{pmatrix}.$$

Тогда уравнение (2.2.1) можно записать в виде:

$$\frac{d\hat{w}}{dx_2} + B_1 \hat{w} = C_1, \quad (2.2.2)$$

где $B_1 = A^{-1}B$ и $C_1 = A^{-1}C$. (2.2.2) называется нормальным или каноническим видом. Если $\det A \neq 0$, то неоднородная система (2.2.2) является разрешимой.

Обратная матрица $(A)^{-1}$ вычислена с использованием пакета MatLab в символьном виде и имеет следующий вид:

$$A^{-1} = \begin{pmatrix} \frac{1}{\mu} & 0 & 0 & 0 & 0 & 0 \\ 0 & \frac{3\alpha\rho_0\rho_l}{T} & -\frac{3K\rho_0\rho_s}{T} & 0 & 0 & 0 \\ 0 & \frac{3\rho_0(K\rho_0 - \alpha\rho_s)}{T} & -\frac{\rho_0(3K\rho_s + 4\mu\rho_0)}{T} & 0 & 0 & 0 \\ 0 & \frac{k_1(T + 2\alpha\mu\rho_0\rho_l)i}{sT} & \frac{6Kk_1\mu\rho_0\rho_s i}{sT} & -k_1i & 0 & 0 \\ 0 & 0 & 0 & 0 & \rho_s & -\rho_s \\ 0 & 0 & 0 & 0 & 0 & \rho_0 \end{pmatrix},$$

где для упрощения выражений приняты следующее обозначение:

$$T = -3\rho_0 K^2 \rho_s + 3\alpha K \rho_s^2 + 3\alpha \rho_l K \rho_s + 4\alpha \mu \rho_0 \rho_l$$

Следовательно, матрица $B_1 = (A)^{-1}B$ принимает следующий вид:

$$B_1 = (A)^{-1}B = \begin{pmatrix} 0 & k_1i & 0 & \frac{s}{\mu} & 0 & 0 \\ -\frac{3Kk_1\rho_0\rho_s T_2}{T} - \frac{3\alpha k_1\rho_0\rho_l T_7}{T} & 0 & 0 & 0 & \frac{3\alpha\rho_0\rho_l s}{T} & -\frac{3K\rho_0\rho_s T_1}{T} - \frac{3K\alpha k_1^2\rho_l\rho_s}{\rho_0 s T} \\ -\frac{3k_1\rho_0 T_7 T_3}{T} - \frac{k_1\rho_0 T_2 T_4}{T} & 0 & 0 & 0 & \frac{3\rho_0 s T_3}{T} & -\frac{\rho_0 T_1 T_4}{T} - \frac{3Kk_1^2\rho_s T_3}{\rho_0 s T} \\ \frac{k_1^2\left(\frac{4\mu i}{3} + \frac{\rho_s s^2 i}{k_1^2} + \frac{K\rho_s i}{\rho_0}\right)}{s} & \frac{k_1^2 T_7 T_6 i}{sT} + \frac{6Kk_1^2\mu\rho_0\rho_s T_2 i}{sT} & 0 & 0 & 0 & \frac{k_1 T_6 i}{T} - \frac{k_1 \rho_s \left(\frac{Kk_1^2}{\rho_0 s^2} + 1\right) i}{\rho_0} - \frac{Kk_1^3\rho_s T_6 i}{\rho_0^2 s^2 T} + \frac{6Kk_1\mu\rho_0\rho_s T_1 i}{sT} \\ 0 & 0 & \rho_s s & -\rho_s s & k_1 i & 0 \\ 0 & 0 & 0 & \rho_0 s & 0 & 0 \end{pmatrix}$$

где

$$\begin{aligned} T_1 &= s - \frac{\alpha k_1^2 \rho_l}{\rho_0 s} & T_3 &= K \rho_0 - \alpha \rho_s & T_5 &= -3\rho_0 K^2 \rho_s + 3\alpha K \rho_s^2 + 3\alpha \rho_l K \rho_s + 4\alpha \mu \rho_0 \rho_l \\ T_2 &= K i - \frac{\alpha \rho_s i}{\rho_0} & T_4 &= 3K \rho_s + 4\mu \rho_0 & T_6 &= T_5 + 2\alpha \mu \rho_0 \rho_l \\ & & & & T_7 &= \frac{2\mu i}{3} - \frac{K \rho_s i}{\rho_0} \end{aligned}$$

Боле того можно показать, что вектор правой стороны системы $C_1 = (A)^{-1}C$ принимает следующий вид:

$$C_1 = (A)^{-1}C = \begin{pmatrix} \frac{1}{\mu} & 0 & 0 & 0 & 0 & 0 \\ 0 & \frac{3\alpha\rho_0\rho_l}{T} & -\frac{3K\rho_0\rho_s}{T} & 0 & 0 & 0 \\ 0 & \frac{3\rho_0(K\rho_0 - \alpha\rho_s)}{T} & -\frac{\rho_0(3K\rho_s + 4\mu\rho_0)}{T} & 0 & 0 & 0 \\ 0 & \frac{k_1(T + 2\alpha\mu\rho_0\rho_l)i}{sT} & \frac{6Kk_1\mu\rho_0\rho_s i}{sT} & -k_1 i & 0 & 0 \\ 0 & 0 & 0 & 0 & \rho_s & -\rho_s \\ 0 & 0 & 0 & 0 & 0 & \rho_0 \end{pmatrix} \times \begin{pmatrix} 0 \\ \frac{\rho_{0,s}}{\rho_0} \frac{Kik_1}{s} \hat{F}_1 \\ \frac{\alpha}{s} \rho_0 \rho_{0,l} ik_1 \hat{F}_1 \\ (\frac{\rho_{0,s}}{s^2 \rho_0} Kik_1 + \frac{i\rho_{0,s}}{k_1}) \hat{F}_1 \\ \hat{F}_2 \\ \hat{F}_2 \end{pmatrix} =$$

$$= \begin{pmatrix} 0 \\ 0 \\ -\frac{\hat{F}_1 \alpha k_1 \rho_l (3K\rho_s + 4\mu\rho_0) i}{s\sigma_1} + \frac{3\hat{F}_1 K k_1 \rho_s (K\rho_0 - \alpha\rho_s) i}{s\sigma_1} \\ -\frac{\hat{F}_1 K k_1^2 \rho_s (T + 2\alpha\mu\rho_0\rho_l)}{\rho_0 s^2 \sigma_1} - \frac{6\hat{F}_1 K \alpha k_1^2 \mu \rho_l \rho_s}{s^2 \sigma_1} - \frac{\hat{F}_1 k_1 \rho_s \left(\frac{\rho_0 i}{k_1} + \frac{K k_1 i}{s^2} \right) i}{\rho_0} \\ 0 \\ \hat{F}_2 \rho_0 \end{pmatrix}$$

Далее уравнение (2.2.1) можно записать в следующей компактной векторной форме:

$$\frac{d\hat{w}}{dx_2} = \sum_{i=1}^6 b_{ki} \hat{w}_i + B_2 \quad (2.2.3)$$

где $k=1, 2, \dots, 6$, $\hat{w} = \hat{w}(\hat{u}_1, \hat{u}_2, \hat{v}_2, \hat{\sigma}_{12}, \hat{\sigma}_{22}, \hat{p})^T$ это вектор с компонентами функций $\hat{w}_1 = \hat{u}_1, \hat{w}_2 = \hat{u}_2, \hat{w}_3 = \hat{v}_2, \hat{w}_4 = \hat{\sigma}_{12}, \hat{w}_5 = \hat{\sigma}_{22}, \hat{w}_6 = \hat{p}$,

Для получения собственных значений и соответствующих к ним собственных векторов для матрицы B_1 воспользуемся готовым пакетом решения MatLab. Мы видим, что спектр матрицы B_1 состоит из трех пар взаимоположенных значений:

$$\tau = \begin{pmatrix} \tau_1 \\ \tau_2 \\ \tau_3 \\ \tau_4 \\ \tau_5 \\ \tau_6 \end{pmatrix} = \begin{pmatrix} \tau_1 \\ \tau_2 \\ \tau_3 \\ -\tau_1 \\ -\tau_2 \\ -\tau_3 \end{pmatrix},$$

где

$$\tau_1 = \frac{\sqrt{2}}{2} \sqrt{\frac{\phi_3}{\phi_2} - \phi_2 - \phi_1 + \frac{2\phi_9}{\phi_7}},$$

$$\tau_2 = \frac{\sqrt{2}}{2} \sqrt{\frac{\phi_3}{\phi_2} - \phi_2 + \phi_1 + \frac{2\phi_9}{\phi_7}},$$

$$\tau_3 = \sqrt{\phi_2 - \frac{\phi_3}{\phi_2} + \frac{\phi_9}{\phi_7}},$$

$$\phi_1 = \sqrt{3} \left(\frac{\phi_3 i}{\phi_2} + \phi_2 i \right),$$

$$\phi_2 = \left(\sqrt{(\phi_6 - \phi_4 + \phi_5)^2 + \phi_3^3} + \phi_6 - \phi_4 + \phi_5 \right)^{1/3},$$

$$\phi_3 = \frac{\phi_8}{\phi_7} - \frac{\phi_9^2}{9k_1^4 \mu^2 \phi_{10}^2},$$

$$\phi_4 = \frac{\phi_9 \phi_8}{6k_1^4 \mu^2 \phi_{10}^2},$$

$$\phi_5 = \frac{\rho_0 (\mu k_1^2 + \rho_{0,s} s^2)}{2k_1^2 \mu \phi_{10}} \left(-3K^2 k_1^4 \rho_{0,s} + 3\alpha \rho_0 K k_1^4 \rho_{0,s}^2 + 3\alpha \rho_{0,l} K k_1^4 \rho_{0,s} + 4\alpha \mu \rho_0 \rho_{0,l} k_1^4 + \right. \\ \left. + 3\alpha \rho_0 k_1^2 \rho_{0,s}^2 s^2 + 3\alpha \rho_0 \rho_{0,l} k_1^2 \rho_{0,s} s^2 + 4\mu \rho_0 k_1^2 s^2 + 3\rho_0 \rho_{0,s} s^4 \right)$$

$$\phi_6 = \frac{\phi_9^3}{27k_1^6 \mu^3 \phi_{10}^3}$$

$$\phi_7 = 3k_1^2 \mu \phi_{10}$$

$$\phi_8 = -3K^2 \rho_{0,s} + 3\alpha K \rho_0 \rho_{0,s}^2 + 3\alpha \rho_{0,l} K \rho_0 \rho_{0,s} + 4\alpha \mu \rho_{0,l} \rho_0^2$$

$$\phi_9 = -3K^2 k_1^4 \mu \rho_0 \rho_{0,s} + \phi_{12} - 9K^2 k_1^2 \mu \rho_{0,s} - 3K^2 \rho_{0,s}^2 s^2 + 3\alpha K k_1^4 \mu \rho_0^2 \rho_{0,s}^2 - \phi_{11} + 9\alpha K k_1^2 \mu \rho_0 \rho_{0,s}^2 + \\ + 9\alpha \rho_{0,l} K k_1^2 \mu \rho_0 \rho_{0,s} + 3\alpha K \rho_0 \rho_{0,s}^3 s^2 + 3\alpha \rho_{0,l} K \rho_0 \rho_{0,s}^2 s^2 + 6\alpha \rho_{0,l} k_1^4 \mu^2 \rho_0^2 + 4k_1^2 \mu^2 \rho_0^2 s^2 + \\ + 6\alpha \rho_{0,l} k_1^2 \mu^2 \rho_0^2 + 3\alpha k_1^2 \mu \rho_0^2 \rho_{0,s}^2 s^2 + 3\alpha \rho_{0,l} k_1^2 \mu \rho_0^2 \rho_{0,s} s^2 + 4\alpha \rho_{0,l} \mu \rho_0^2 \rho_{0,s} s^2$$

$$\phi_{10} = -3K^2 \rho_{0,s} + 3\alpha K \rho_0 \rho_{0,s}^2 + 3\alpha \rho_{0,l} K \rho_0 \rho_{0,s} + 4\alpha \mu \rho_{0,l} \rho_0^2$$

$$\phi_{11} = 3\alpha K k_1^4 \mu \rho_0 \rho_{0,s}^2$$

$$\phi_{12} = 3K^2 k_1^4 \mu \rho_{0,s}$$

Мы полагаем, что параметры $K, \alpha, \mu, \rho_0, \rho_l, \rho_s$ таковы, что мы имеем 6 различных по значению собственных значений, т.е. общее решение однородной системы имеет следующий вид:

$$\hat{w}(x_2) = e^{B_1 x_2} C = P e^{J x_2} P^{-1} C,$$

где

$$J = \begin{pmatrix} \tau_1 & 0 & 0 & 0 & 0 & 0 \\ 0 & \tau_2 & 0 & 0 & 0 & 0 \\ 0 & 0 & \tau_3 & 0 & 0 & 0 \\ 0 & 0 & 0 & -\tau_1 & 0 & 0 \\ 0 & 0 & 0 & 0 & -\tau_2 & 0 \\ 0 & 0 & 0 & 0 & 0 & -\tau_3 \end{pmatrix},$$

$B_1 z_k = \tau_k z_k, k = 1, \dots, 6,$ $C = (C_1, C_2, C_3, C_4, C_5, C_6)^T \in M_{6 \times 1}(\mathbb{C})$ эти равенства выполняются для $P = (z_1 | z_2 | z_3 | z_4 | z_5 | z_6) \in M_{6 \times 6}(\mathbb{C})$ матриц собственных векторов.

Поскольку значения элементов собственных векторов в матрице P являются слишком громоздкими в Приложении А был представлен код MATLAB.

Частное решение для уравнения (2.2.2):

$$\psi(x_2) = \int_0^{x_2} e^{B_1(x_2-l)} B_2(l) dl = \int_0^{x_2} P e^{J(x_2-l)} P^{-1} B_2(l) dl = P \int_0^{x_2} e^{J(x_2-l)} P^{-1} B_2(l) dl.$$

Общее решение для уравнения (2.2.2) форму:

$$\hat{w}(x_2) = P e^{J x_2} P^{-1} C + P \int_0^{x_2} e^{J(x_2-l)} P^{-1} B_2(l) dl = P \left[e^{J x_2} P^{-1} C + \int_0^{x_2} e^{J(x_2-l)} P^{-1} B_2(l) dl \right]. \quad (2.2.4)$$

Для удобства введем следующие обозначения:

$$\begin{aligned} P^{-1} &= (p_1 | p_2 | p_3 | p_4 | p_5 | p_6) \in M_{6 \times 6}(\mathbb{C}), \\ \tilde{C} &= (\tilde{C}_1, \tilde{C}_2, \tilde{C}_3, \tilde{C}_4, \tilde{C}_5, \tilde{C}_6)^T = P^{-1} C \\ \tilde{B}_2 &= (\tilde{\zeta}_1, \tilde{\zeta}_2, \tilde{\zeta}_3, \tilde{\zeta}_4, \tilde{\zeta}_5, \tilde{\zeta}_6)^T = P^{-1} B_2. \\ \tilde{\zeta}_j &= (i p_{j3} d_3 + p_{j4} \rho_s) \hat{F}_1 + p_{j6} \rho_0 \hat{F}_2, \quad j \in \{1, \dots, 6\}. \end{aligned} \quad (2.2.5)$$

Тогда общее решение (2.2.4) можно переписать в следующем виде:

$$\hat{w}(x_2) = P \left[e^{Jx_2} \tilde{C} + \int_0^{x_2} e^{J(x_2-l)} \tilde{B}_2(l) dl \right],$$

ИЛИ

$$\begin{pmatrix} \hat{u}_1 \\ \hat{u}_2 \\ \hat{v}_2 \\ \hat{\sigma}_{12} \\ \hat{\sigma}_{22} \\ \hat{p} \end{pmatrix} = (z_1 | z_2 | z_3 | z_4 | z_5 | z_6) \begin{pmatrix} e^{\tau_1 x_2} (\tilde{C}_1 + \int_0^{x_2} \tilde{\zeta}_1(l) e^{-\tau_1 l} dl) \\ e^{\tau_2 x_2} (\tilde{C}_2 + \int_0^{x_2} \tilde{\zeta}_2(l) e^{-\tau_2 l} dl) \\ e^{\tau_3 x_2} (\tilde{C}_3 + \int_0^{x_2} \tilde{\zeta}_3(l) e^{-\tau_3 l} dl) \\ e^{-\tau_1 x_2} (\tilde{C}_4 + \int_0^{x_2} \tilde{\zeta}_4(l) e^{\tau_1 l} dl) \\ e^{-\tau_2 x_2} (\tilde{C}_5 + \int_0^{x_2} \tilde{\zeta}_5(l) e^{\tau_2 l} dl) \\ e^{-\tau_3 x_2} (\tilde{C}_6 + \int_0^{x_2} \tilde{\zeta}_6(l) e^{\tau_3 l} dl) \end{pmatrix} \quad (2.2.6)$$

Компоненты можно записать как:

$$\begin{aligned} \hat{w}_m(x_2) = & \sum_{k=1}^3 z_{mk} e^{\tau_k x_2} \left(\sum_{j=1}^6 p_{kj} C_j + (ip_{k3} d_3 + p_{k4} \rho_s) \int_0^{x_2} e^{-\tau_k l} \hat{F}_1(l) dl + p_{k6} \rho_0 \int_0^{x_2} e^{-\tau_k l} \hat{F}_2(l) dl \right) + \\ & + \sum_{k=4}^6 z_{mk} e^{-\tau_{k-3} x_2} \left(\sum_{j=1}^6 p_{kj} C_j + (ip_{k3} d_3 + p_{k4} \rho_s) \int_0^{x_2} e^{\tau_{k-3} l} \hat{F}_1(l) dl + p_{k6} \rho_0 \int_0^{x_2} e^{\tau_{k-3} l} \hat{F}_2(l) dl \right), \quad m = 1, \dots, 6 \end{aligned}$$

2.3 Условия разрешимости

Далее, как изложено в работе [37, с.32-34] с учетом граничных условий (1.2.10), из (2.2.4) при x_2 равным нулю, для всех $j = 4, 5, 6$ будет $C_j = 0$. А для случая при $j = 1, 2, 3$ значений констант C_j определяется физическим смыслом для граничных условия. То есть при бесконечности скорости угасают до нуля:

$$\lim_{x_2 \rightarrow \infty} \hat{u}_1 = 0, \lim_{x_2 \rightarrow \infty} \hat{u}_2 = 0, \lim_{x_2 \rightarrow \infty} \hat{v}_2 = 0. \quad (2.3.1)$$

Для дальнейших исследований мы рассматриваем случаи, когда собственные значения матрицы B_1 все различны и имеет ненулевую действительную часть, так чтобы условия (2.3.1) обеспечивали уравнения для поиска удовлетворяющих значений констант.

Тогда обозначим τ_1, τ_2, τ_3 значения собственных значений матрицы коэффициентов в задаче (2.2.2) с положительной действительной частью и предполагая, что:

$$\int_0^{\infty} |e^{\tau_k l} \hat{F}_i(l)| dl < \infty, \quad k = 1, 2, 3, \quad i = 1, 2, \quad (2.3.2)$$

можно сделать вывод, что при $x_2 \rightarrow \infty$ три последних компонента вектора правой части уравнения (2.2.6) стремятся к нулю.

Из этого следует что, необходимы чтобы и первые три компонента были равны нулю:

$$\tilde{C}_j = -\int_0^{\infty} \tilde{\zeta}_j(l) e^{-\tau_j l} dl, \quad j = 1, 2, 3 \quad (2.3.3)$$

Мы видим, что условие (2.3.3) является также достаточным, поскольку для любых $j = 1, 2, 3$ при $x_2 \rightarrow \infty$ предел $e^{\tau_j x_2} (\tilde{C}_j + \int_0^{x_2} \tilde{\zeta}_j(l) e^{-\tau_j l} dl)$ обращается в неопределенность типа $\infty \times 0$. Из правила Лопиталья [53], (2.2.5) и (2.3.2) следует:

$$\lim_{x_2 \rightarrow \infty} \frac{\tilde{\zeta}_j(x_2)}{\tau_j} \rightarrow 0,$$

Таким образом для существования решения необходимо удовлетворить следующее достаточное условие:

$$\sum_{j=1}^3 p_{kj} C_j + (ip_{k3} d_3 + p_{k4} \rho_s) \int_0^{\infty} e^{-\tau_k l} \hat{F}_1(l) dl + p_{k6} \rho_0 \int_0^{\infty} e^{-\tau_k l} \hat{F}_2(l) dl = 0, \quad k = 1, 2, 3 \quad (2.3.4)$$

Для существования единственного решения предыдущей системы необходимо $\det(p_{kj})_{k,j=1,\dots,3} \neq 0$. А для нашего случая оно имеет следующий вид:

$$(p_{kj})_{k,j=1,\dots,3} = \begin{pmatrix} \frac{k_1 \mu (2i \mu k_1^2 + i \rho_s s^2)}{\rho_s s^3} & \frac{2k_1^2 \mu \varphi_1}{\rho_s s^3 \sqrt{\frac{\varphi_1}{\mu}}} & 0 \\ -\varphi_7 & \frac{\varphi_6}{2s \varphi_5 \varphi_8} & -\frac{\sqrt{2} \rho_0 s (3K \rho_l - 3K \rho_s + 4\mu \rho_0 + \varphi_2 - \varphi_3)}{4\varphi_5 \varphi_8} + \frac{1}{4\varphi_5} \\ \varphi_7 & \frac{\varphi_6}{2s \varphi_4 \varphi_8} & \frac{\sqrt{2} \rho_0 s (3K \rho_l - 3K \rho_s + 4\mu \rho_0 + \varphi_2 - \varphi_3)}{4\varphi_4 \varphi_8} - \frac{1}{4\varphi_5} \end{pmatrix}, \quad (2.3.5)$$

здесь $\varphi_k, k = 1, \dots, 8$ это коэффициенты, которые зависят от значений параметров $\alpha, \mu, \rho_0, \rho_s, K, s, k_1$ (Приложении А). В виду предыдущего выражения, можем предположить, что матрица является обратимой. Таким образом имеем $C_j, j = 1, 2, 3$, являющиеся решениями следующей системы:

$$\sum_{j=1}^3 p_{kj} C_j = (ip_{k3} d_3 - p_{k4} \rho_s) \int_0^{\infty} e^{-\tau k l} \hat{F}_1(l) dl - p_{k6} \rho_0 \int_0^{\infty} e^{-\tau k l} \hat{F}_2(l) dl, k = 1, 2, 3.$$

Для коэффициентов $C_j, j = 1, 2, 3$ получим:

$$C_j = -\sum_{q=1}^3 r_{jq} \left((ip_{q3} d_3 + p_{q4} \rho_s) \int_0^{\infty} e^{-\tau q l} \hat{F}_1(l) dl + p_{q6} \rho_0 \int_0^{\infty} e^{-\tau q l} \hat{F}_2(l) dl \right), j = 1, 2, 3, R = (r_{kj}) = ((p_{kj})_{k,j=1,2,3})^{-1}$$

2.4 Аналитическое решение в явном виде

Решение системы (2.2.2), удовлетворяющее граничным условиям (2.1.10):

$$\begin{aligned} \hat{w}_m(x_2) = & -\sum_{k=1}^3 z_{mk} e^{\tau k x_2} [(ip_{k3} d_3 + p_{k4} \rho_s) \int_{x_2}^{\infty} e^{-\tau k l} \hat{F}_1(l) dl + p_{k6} \rho_0 \int_{x_2}^{\infty} e^{-\tau k l} \hat{F}_2(l) dl] + \\ & + \sum_{k=4}^6 z_{mk} e^{-\tau k x_2} [-\sum_{j,q=1}^3 p_{kj} r_{jq} ((ip_{q3} d_3 + p_{q4} \rho_s) \int_0^{\infty} e^{-\tau q l} \hat{F}_1(l) dl + p_{q6} \rho_0 \int_0^{\infty} e^{-\tau q l} \hat{F}_2(l) dl) + \\ & + (ip_{k3} d_3 + p_{k4} \rho_s) \int_0^{x_2} e^{\tau k l} \hat{F}_1(l) dl + p_{k6} \rho_0 \int_0^{x_2} e^{\tau k l} \hat{F}_2(l) dl], \quad m = 1, \dots, 6 \end{aligned} \quad (2.4.1)$$

А значения \hat{v}_1 можем определить по формуле (2.1.1) и $\hat{\sigma}_{11}$ по формуле (2.1.3). Параметры интегральных преобразований Фурье–Лапласа s и k_1 играют важную роль при вычислении коэффициентов и собственных значений матрицы. Это означает, что при вычислении обратных преобразований Фурье–Лапласа преобразований необходимо учитывать эту зависимость.

Для нахождения решения исходной задачи (1.2.1) – (1.2.8) в явном виде необходимо применить следующее обратное преобразование:

$$w(t, x_1, x_2) = \int_0^{\infty} \int_{-\infty}^{\infty} \hat{w}(s, k_1, x_2) e^{st + ik_1 x_1} dk_1 ds$$

к решению (2.4.1) в следующем виде:

$$\begin{aligned}
 w_m(t, x_1, x_2) = & \int_0^\infty \int_{-\infty}^\infty \left\{ - \sum_{k=1}^3 z_{mk} e^{\tau_k x_2} \left[\left(i p_{k3} d_3 + p_{k4} \frac{\rho_s}{k_1^2} \right) \int_{x_2}^\infty e^{-\tau_k l} \hat{F}_1(l) dl + p_{k6} \rho_0 \int_{x_2}^\infty e^{-\tau_k l} \hat{F}_2(l) dl \right] + \right. \\
 & + \sum_{k=4}^6 z_{mk} e^{-\tau_{k-3} x_2} \left[- \sum_{j,q=1}^3 p_{kj} r_{jq} \left(\left(i p_{q3} d_3 + p_{q4} \frac{\rho_s}{k_1^2} \right) \int_0^\infty e^{-\tau_q l} \hat{F}_1(l) dl + p_{q6} \rho_0 \int_0^\infty e^{-\tau_q l} \hat{F}_2(l) dl \right) + \right. \\
 & \left. \left. \left(i p_{k3} d_3 + p_{k4} \frac{\rho_s}{k_1^2} \right) \int_0^{x_2} e^{\tau_{k-3} l} \hat{F}_1(l) dl + p_{k6} \rho_0 \int_0^{x_2} e^{\tau_{k-3} l} \hat{F}_2(l) dl \right] \right\} dk_1 ds. \quad (2.4.2)
 \end{aligned}$$

где $m = 1, \dots, 6$.

Таким образом можно сформулировать следующую Теорема 1 о корректности постановки задачи (1.2.1) – (1.2.10).

Теорема 1: Задача (1.2.1) – (1.2.10) является корректной, т.е.

- в (2.3.4) получено необходимое и достаточное условие существования решения,

- условие единственности решения сформулировано в условии (2.3.5)

- и решение непрерывно зависит от начальных данных.

Доказательство: Поскольку вывод условий разрешимости и единственности решения уже получены в (2.3.4) и (2.3.5) задачи (1.2.1) – (1.2.10) остается показать непрерывную зависимость решения $w_m(t, x_1, x_2)$ в (2.4.2) от начальных условий, в частности от правой части $F(s, k_1, x_2) = (F_1(t, x_1, x_2), F_2(t, x_1, x_2))$ введем следующие сокращенные обозначения $\hat{F}_{j\delta}$ такое, что $|\hat{F}_j - \hat{F}_{j\delta}| < \delta$, где $j = 1, 2$ и $w_{m\epsilon}$, удовлетворяющее условию $|w_m - w_{m\epsilon}| < \epsilon$, где $m = 1, \dots, 6$. Тогда с учетом того, что \hat{F}_j является интегральным представлением согласно формуле (2.1.0) функции F_j , видим, что имеет место непрерывная зависимость от подынтегральных выражений в явном виде решения (2.4.2), т.е. можно показать, что $\forall \delta > 0, \exists \epsilon$ такое, что выполняется условие:

$$|F_j - F_{j\delta}| < \delta \Rightarrow |w_m - w_{m\epsilon}| < \epsilon$$

Что показывает непрерывную зависимость решения от правой части уравнений. Аналогичные рассуждения верны для остальных начальных данных, включающих начально–граничные условия (1.2.9) и (1.2.10) и коэффициенты системы (1.2.1)–(1.2.8).

Таким образом, согласно определению корректности, приведенному в п 2.1, задача (1.2.1)–(1.2.10) является корректной.

2.5 Применение преобразований Фурье-Лапласа к функциям источника импульса

Применим также преобразование Фурье-Лапласа к функциям $\hat{F}_1(l)$, $\hat{F}_2(l)$ в исходной системе вида, где $(s, k_1, x_2) \in [0;1) \times R \times [0;1)$, получим для правых частей следующие выражение:

Случай 1 (вида функции источника сейсмического импульса):

Первая компонента $F_1(t, x_1, x_2)$ вектора функции источника (1.2.11) $\vec{F}(t, x_1, x_2) = (F_1(t, x_1, x_2), F_2(t, x_1, x_2))$ сейсмического сигнала вида (1.2.12) после преобразования Фурье-Лапласа принимает следующий вид:

$$\begin{aligned}
 \hat{F}_1(s, k_1, x_2) &= \int_0^\infty \int_{-\infty}^\infty F_1(t, x_1, x_2) e^{-st - ik_1 x_1} dx_1 dt = \delta(x_2 - x_2^0) \int_0^\infty f(t) e^{-st} \int_{-\infty}^\infty \frac{\partial \delta(x_1 - x_1^0)}{\partial x_1} e^{-ik_1 x_1} dx_1 dt = \\
 &= \delta(x_2 - x_2^0) \int_0^\infty -2\pi^2 f_0^2 \cdot (t - t_0) e^{-\pi^2 f_0^2 \cdot (t - t_0)^2} e^{-st} \int_{-\infty}^\infty \frac{\partial \delta(x_1 - x_1^0)}{\partial x_1} e^{-ik_1 x_1} dx_1 dt = \\
 &= \delta(x_2 - x_2^0) \int_0^\infty \frac{de^{-\pi^2 f_0^2 \cdot (t - t_0)^2}}{dt} e^{-st} \int_{-\infty}^\infty \frac{d\delta(x_1 - x_1^0)}{dx_1} e^{-ik_1 x_1} dx_1 dt = \\
 &= e^{-ik_1 x_1^0} ik_1 \left[-e^{-\pi^2 f_0^2 \cdot t_0^2} + se^{\frac{s^2}{4\pi^2 f_0^2} - st_0} \frac{1}{2\pi f_0} \Gamma\left(\frac{1}{2}\right) \right] \delta(x_2 - x_2^0)
 \end{aligned} \tag{2.5.1}$$

Для получения данного результата применили интегрирование по частям по t :

$$\begin{aligned}
 \int_0^\infty \frac{de^{-\pi^2 f_0^2 \cdot (t - t_0)^2}}{dt} e^{-st} dt &= \left| \begin{array}{l} u = e^{-st}, du = -se^{-st} \\ dv = \frac{de^{-\pi^2 f_0^2 \cdot (t - t_0)^2}}{dt} dt, v = e^{-\pi^2 f_0^2 \cdot (t - t_0)^2} \end{array} \right| = e^{-\pi^2 f_0^2 \cdot (t - t_0)^2 - st} \Big|_0^\infty - (-s) \int_{t_0}^\infty e^{-\pi^2 f_0^2 \cdot (t - t_0)^2 - st} dt = \\
 &= -e^{-\pi^2 f_0^2 \cdot t_0^2} + s \int_0^\infty e^{-\pi^2 f_0^2 \cdot (t - t_0)^2 - st} dt = -e^{-\pi^2 f_0^2 \cdot t_0^2} + se^{\frac{s^2}{4\pi^2 f_0^2} - st_0} \frac{1}{2} \frac{\Gamma\left(\frac{1}{2}\right)}{\pi f_0}
 \end{aligned}$$

где с помощью выделения полного квадрата в показателе подынтегральной функции осуществили переход к Гамма функции, т.е. воспользовавшись следующим представлением:

$$\begin{aligned}
-\pi^2 f_0^2 (t-t_0)^2 - st &= -\pi^2 f_0^2 \left[(t-t_0)^2 + \frac{s(t-t_0)}{\pi^2 f_0^2} + \frac{s^2}{4\pi^4 f_0^4} - \frac{s^2}{\pi^4 f_0^4} + \frac{st_0}{\pi^2 f_0^2} \right] = \\
&= -\pi^2 f_0^2 \left[(t-t_0) + \frac{s}{2\pi^2 f_0^2} \right]^2 + \frac{s^2}{4\pi^2 f_0^2} - st_0
\end{aligned}$$

и определением Гамма функции:

$$\int_0^{\infty} x^n e^{-ax^2} dx = \frac{1}{2} \frac{\Gamma\left(\frac{n+1}{2}\right)}{a^{\frac{n+1}{2}}} \quad (n > -1, a > 0)$$

определили, что в нашем случае $n = 0$, $a = \pi^2 f_0^2$.

Для интегрирования по x_1 используем формулу для обобщенных функций

$\langle \delta(x), \varphi(x) \rangle = \varphi(0)$ и получим:

$$\int_{-\infty}^{\infty} \delta(x_1 - x_1^0) e^{-ik_1 x_1} dx_1 = e^{-ik_1 x_1^0}.$$

Вторая компонента $\hat{F}_2(t, x_1, x_2)$ вектора функции источника (1.2.11) сейсмического сигнала $\vec{F}(t, x_1, x_2) = (F_1(t, x_1, x_2), F_2(t, x_1, x_2))$ вида (1.2.12) после преобразования Фурье-Лапласа принимает следующий вид:

$$\begin{aligned}
\hat{F}_2(t, x_1, x_2) &= \int_0^{\infty} \int_{-\infty}^{\infty} F_2(t, x_1, x_2) e^{-st - ik_1 x_1} dx_1 dt = \frac{\partial \delta(x_2 - x_2^0)}{\partial x_2} \int_0^{\infty} f(t) e^{-st} \int_{-\infty}^{\infty} \delta(x_1 - x_1^0) e^{-ik_1 x_1} dx_1 dt = \\
&= \frac{\partial \delta(x_2 - x_2^0)}{\partial x_2} \int_0^{\infty} -2\pi^2 f_0^2 \cdot (t-t_0) e^{-\pi^2 f_0^2 (t-t_0)^2} e^{-st} \int_{-\infty}^{\infty} \delta(x_1 - x_1^0) e^{-ik_1 x_1} dx_1 dt = \\
&= \frac{\partial \delta(x_2 - x_2^0)}{\partial x_2} \int_0^{\infty} \frac{de^{-\pi^2 f_0^2 (t-t_0)^2}}{dt} e^{-st} \int_{-\infty}^{\infty} \delta(x_1 - x_1^0) e^{-ik_1 x_1} dx_1 dt = \\
&= e^{-ik_1 x_1^0} \left(-e^{-\pi^2 f_0^2 t_0^2} + se^{\frac{s^2}{4\pi^2 f_0^2} - st_0} \frac{1}{2\pi f_0} \Gamma\left(\frac{1}{2}\right) \right) \frac{\partial \delta(x_2 - x_2^0)}{\partial x_2}
\end{aligned} \tag{2.5.2}$$

Для получения данного результата применили интегрирование по частям по t :

$$\begin{aligned}
& \int_0^{\infty} \frac{de^{-\pi^2 f_0^2 \cdot (t-t_0)^2}}{dt} e^{-st} dt = \left| \begin{array}{l} u = e^{-st}, du = -se^{-st} \\ dv = \frac{de^{-\pi^2 f_0^2 \cdot (t-t_0)^2}}{dt} dt, v = e^{-\pi^2 f_0^2 \cdot (t-t_0)^2} \end{array} \right| = \\
& = e^{-\pi^2 f_0^2 \cdot (t-t_0)^2 - st} \Big|_0^{\infty} - (-s) \int_{t_0}^{\infty} e^{-\pi^2 f_0^2 \cdot (t-t_0)^2 - st} dt = -e^{\pi^2 f_0^2 \cdot t_0^2} + s \int_0^{\infty} e^{-\pi^2 f_0^2 \cdot (t-t_0)^2 - st} dt = \\
& = -e^{\pi^2 f_0^2 \cdot t_0^2} + se^{\frac{s^2}{4\pi^2 f_0^2} - st_0} \frac{1}{2} \frac{\Gamma\left(\frac{1}{2}\right)}{\pi f_0}
\end{aligned}$$

где с помощью выделения полного квадрата в показателе подынтегральной функции осуществили переход к Гамма функции, т.е. воспользовавшись следующим представлением:

$$\begin{aligned}
-\pi^2 f_0^2 (t-t_0)^2 - st &= -\pi^2 f_0^2 \left[(t-t_0)^2 + \frac{s(t-t_0)}{\pi^2 f_0^2} + \frac{s^2}{4\pi^4 f_0^4} - \frac{s^2}{\pi^4 f_0^4} + \frac{st_0}{\pi^2 f_0^2} \right] = \\
&= -\pi^2 f_0^2 \left[(t-t_0) + \frac{s}{2\pi^2 f_0^2} \right]^2 + \frac{s^2}{4\pi^2 f_0^2} - st_0
\end{aligned}$$

и определением Гамма функции:

$$\int_0^{\infty} x^n e^{-ax^2} dx = \frac{1}{2} \frac{\Gamma\left(\frac{n+1}{2}\right)}{a^{\frac{n+1}{2}}} \quad (n > -1, a > 0)$$

определили, что в нашем случае $n = 0$, $a = \pi^2 f_0^2$, т.е.

$$\int_0^{\infty} e^{-\pi^2 f_0^2 \left[(t-t_0) + \frac{s}{2\pi^2 f_0^2} \right]^2 + \frac{s^2}{4\pi^2 f_0^2} - st_0} dt = e^{\frac{s^2}{4\pi^2 f_0^2} - st_0} \frac{1}{2} \frac{\Gamma\left(\frac{1}{2}\right)}{\pi f_0}$$

Для интегрирования по x_1 используем формулу для обобщенных функций $\langle \delta(x), \varphi(x) \rangle = \varphi(0)$ и получим:

$$\int_{-\infty}^{\infty} \delta(x_1 - x_1^0) e^{-ik_1 x_1} dx_1 = e^{-ik_1 x_1^0}$$

Случай 2 (Для функции импульса Пузырева):

Первая компонента $F_1(t, x_1, x_2)$ вектора функции источника $\vec{F}(t, x_1, x_2) = (F_1(t, x_1, x_2), F_2(t, x_1, x_2))$ (1.2.11) сейсмического сигнала вида (1.2.13) (импульса Пузырева) после преобразования Фурье-Лапласа принимает следующий вид:

$$\begin{aligned}
\hat{F}_1(s, k_1, x_2) &= \int_0^\infty \int_{-\infty}^\infty F_1(t, x_1, x_2) e^{-st - ik_1 x_1} dx_1 = \delta(x_2 - x_2^0) \int_0^\infty f(t) e^{-st} \int_{-\infty}^\infty \frac{\partial \delta(x_1 - x_1^0)}{\partial x_1} e^{-ik_1(x_1 - x_1^0)} dx_1 dt = \\
&= \delta(x_2 - x_2^0) \int_0^\infty e^{-\frac{\pi^2 f_0^2 \cdot (t-t_0)^2}{\gamma^2}} \sin(2\pi f_0 \cdot (t-t_0)) e^{-st} \int_{-\infty}^\infty \frac{\partial \delta(x_1 - x_1^0)}{\partial x_1} e^{-ik_1 x_1} dx_1 dt = \\
&= \frac{k_1}{4} \frac{\gamma}{\pi f_0} e^{-ik_1 x_1^0 - st_0} \left(e^{\frac{\gamma^2}{\pi^2 f_0^2} (i\pi f_0 - \frac{s}{2})^2} - e^{\frac{\gamma^2}{\pi^2 f_0^2} (i\pi f_0 + \frac{s}{2})^2} \right) \Gamma\left(\frac{1}{2}\right) \delta(x_2 - x_2^0)
\end{aligned} \tag{2.5.3}$$

Для получения данного результата воспользуемся следующими представлениями:

$$\sin(2\pi f_0 \cdot (t-t_0)) = \frac{e^{i2\pi f_0 \cdot (t-t_0)} - e^{-i2\pi f_0 \cdot (t-t_0)}}{2i}$$

тогда перепишем интеграл, входящий в (2.5.3), в следующем виде:

$$\begin{aligned}
&\int_0^\infty e^{-\frac{\pi^2 f_0^2 \cdot (t-t_0)^2}{\gamma^2}} \frac{e^{i2\pi f_0 \cdot (t-t_0)} - e^{-i2\pi f_0 \cdot (t-t_0)}}{2i} e^{-st} dt = \\
&= \frac{1}{2i} \int_{t_0}^\infty \left(e^{-\frac{\pi^2 f_0^2 \cdot (t-t_0)^2}{\gamma^2} + i2\pi f_0 \cdot (t-t_0) - s(t-t_0) - st_0} - e^{-\frac{\pi^2 f_0^2 \cdot (t-t_0)^2}{\gamma^2} - i2\pi f_0 \cdot (t-t_0) - s(t-t_0) - st_0} \right) dt = \\
&= \frac{1}{2i} e^{-st_0} \int_{t_0}^\infty \left(e^{-\frac{\pi^2 f_0^2 \cdot (t-t_0)^2}{\gamma^2} + i2\pi f_0 \cdot (t-t_0) - s(t-t_0)} - e^{-\frac{\pi^2 f_0^2 \cdot (t-t_0)^2}{\gamma^2} - i2\pi f_0 \cdot (t-t_0) - s(t-t_0)} \right) dt
\end{aligned} \tag{2.5.4}$$

где, выделив полный квадрат в показателе экспоненциальной функции, можем перейти к выражению с Гамма функцией, т.е.:

$$\begin{aligned}
& -\frac{\pi^2 f_0^2 (t-t_0)^2}{\gamma^2} + i2\pi f_0 \cdot (t-t_0) - s(t-t_0) = -\frac{\pi^2 f_1^2}{\gamma^2} \left[(t-t_0)^2 - 2\frac{\gamma^2}{\pi^2 f_0^2} (i\pi f_0 - \frac{s}{2}) \cdot (t-t_0) \right] = \\
& = -\frac{\pi^2 f_1^2}{\gamma^2} \left[(t-t_0)^2 - 2\frac{\gamma^2}{\pi^2 f_0^2} (i\pi f_0 - \frac{s}{2}) \cdot (t-t_0) + \frac{\gamma^4}{\pi^4 f_0^4} (i\pi f_0 - \frac{s}{2})^2 - \frac{\gamma^4}{\pi^4 f_0^4} (i\pi f_0 - \frac{s}{2})^2 \right] = \\
& = -\frac{\pi^2 f_1^2}{\gamma^2} \left[(t-t_0) - \frac{\gamma^2}{\pi^2 f_0^2} (i\pi f_0 - \frac{s}{2}) \right]^2 + \frac{\gamma^2}{\pi^2 f_0^2} (i\pi f_0 - \frac{s}{2})^2
\end{aligned}$$

По определению Гамма функции $\int_0^\infty x^n e^{-ax^2} dx = \frac{1}{2} \frac{\Gamma\left(\frac{n+1}{2}\right)}{a^{\frac{n+1}{2}}}$ ($n > -1, a > 0$)

получим, что в этом случае $n = 0, a = \frac{\pi^2 f_1^2}{\gamma^2} > 0$, и справедливо следующее:

$$\int_0^\infty e^{-\frac{\pi^2 f_1^2}{\gamma^2} \left[(t-t_0) - \frac{\gamma^2}{\pi^2 f_0^2} (i\pi f_0 - \frac{s}{2}) \right]^2 + \frac{\gamma^2}{\pi^2 f_0^2} (i\pi f_0 - \frac{s}{2})^2} dt = e^{\frac{\gamma^2}{\pi^2 f_0^2} (i\pi f_0 - \frac{s}{2})^2} \frac{\gamma}{2\pi f_0} \Gamma\left(\frac{1}{2}\right)$$

Второе слагаемое в (2.5.4) аналогично приводится к Гамма функции, и после выделения полного квадрата в показателе соответствующей экспоненциальной функции:

$$\begin{aligned}
& -\frac{\pi^2 f_0^2 (t-t_0)^2}{\gamma^2} - i2\pi f_0 \cdot (t-t_0) - s(t-t_0) = -\frac{\pi^2 f_1^2}{\gamma^2} \left[(t-t_0)^2 + 2\frac{\gamma^2}{\pi^2 f_0^2} (i\pi f_0 + \frac{s}{2}) \cdot (t-t_0) \right] = \\
& = -\frac{\pi^2 f_1^2}{\gamma^2} \left[(t-t_0)^2 + 2\frac{\gamma^2}{\pi^2 f_0^2} (i\pi f_0 + \frac{s}{2}) \cdot (t-t_0) + \frac{\gamma^4}{\pi^4 f_0^4} (i\pi f_0 + \frac{s}{2})^2 - \frac{\gamma^4}{\pi^4 f_0^4} (i\pi f_0 + \frac{s}{2})^2 \right] = \\
& = -\frac{\pi^2 f_1^2}{\gamma^2} \left[(t-t_0) + \frac{\gamma^2}{\pi^2 f_0^2} (i\pi f_0 + \frac{s}{2}) \right]^2 + \frac{\gamma^2}{\pi^2 f_0^2} (i\pi f_0 + \frac{s}{2})^2
\end{aligned}$$

получаем выражение следующего вида:

$$\int_{t_0}^\infty e^{-\frac{\pi^2 f_1^2}{\gamma^2} \left[(t-t_0) + \frac{\gamma^2}{\pi^2 f_0^2} (i\pi f_0 + \frac{s}{2}) \right]^2 + \frac{\gamma^2}{\pi^2 f_0^2} (i\pi f_0 + \frac{s}{2})^2} dt = e^{\frac{\gamma^2}{\pi^2 f_0^2} (i\pi f_0 + \frac{s}{2})^2} \frac{\gamma}{2\pi f_0} \Gamma\left(\frac{1}{2}\right)$$

После интегрирования по частям по переменной x_1 и применения формулы для обобщенных функций $\langle \delta(x), \varphi(x) \rangle = \varphi(0)$ получим:

$$\int_{-\infty}^\infty \frac{\partial \delta(x_1 - x_1^0)}{\partial x_1} e^{-ik_1 x_1} dx_1 = -\int_{-\infty}^\infty \delta(x_1 - x_1^0) \frac{\partial e^{-ik_1 x_1}}{\partial x_1} dx_1 = -(-ik_1) e^{-ik_1 x_1^0} = ik_1 e^{-ik_1 x_1^0}$$

Подставив все полученные выражения в (2.5.3) получим окончательное представление в этом выражении через Гамма функцию.

Вторая компонента $F_2(t, x_1, x_2)$ вектора функции источника $\vec{F}(t, x_1, x_2) = (F_1(t, x_1, x_2), F_2(t, x_1, x_2))$ вида (1.2.11) сейсмического сигнала вида (1.2.13) (импульса Пузырева) после преобразования Фурье-Лапласа принимает следующий вид:

$$\begin{aligned} \hat{F}_2(s, k_1, x_2) &= \int_0^\infty \int_{-\infty}^\infty F_2(t, x_1, x_2) e^{-st - ik_1 x_1} dx_1 = \frac{\partial \delta(x_2 - x_2^0)}{\partial x_1} \int_0^\infty f(t) e^{-st} \int_{-\infty}^\infty \delta(x_1 - x_1^0) e^{-ik_1 x_1} dx_1 dt = \\ &= \frac{\partial \delta(x_2 - x_2^0)}{\partial x_1} \int_0^\infty e^{-\frac{\pi^2 f_0^2 (t-t_0)^2}{\gamma^2}} \sin(2\pi f_0 \cdot (t-t_0)) e^{-st} \int_{-\infty}^\infty \delta(x_1 - x_1^0) e^{-ik_1 x_1} dx_1 dt = \\ &= \frac{k_1}{4} \frac{\gamma}{\pi f_0} \Gamma\left(\frac{1}{2}\right) e^{-ik_1 x_1^0 - st_0} \left(e^{\frac{\gamma^2}{\pi^2 f_0^2} (i\pi f_0 \frac{s}{2})^2} - e^{\frac{\gamma^2}{\pi^2 f_0^2} (i\pi f_0 + \frac{s}{2})^2} \right) \frac{\partial \delta(x_2 - x_2^0)}{\partial x_2} \end{aligned} \quad (2.5.5)$$

Для получения данного результата воспользуемся следующими представлениями:

$$\sin(2\pi f_0 \cdot (t-t_0)) = \frac{e^{i2\pi f_0 \cdot (t-t_0)} - e^{-i2\pi f_0 \cdot (t-t_0)}}{2i},$$

тогда перепишем интеграл, входящий в (2.5.5), в следующем виде:

$$\begin{aligned} &\int_0^\infty e^{-\frac{\pi^2 f_0^2 (t-t_0)^2}{\gamma^2}} \frac{e^{i2\pi f_0 \cdot (t-t_0)} - e^{-i2\pi f_0 \cdot (t-t_0)}}{2i} e^{-st} dt = \\ &= \frac{1}{2i} \int_{t_0}^\infty \left(e^{-\frac{\pi^2 f_0^2 (t-t_0)^2}{\gamma^2} + i2\pi f_0 \cdot (t-t_0) - s(t-t_0) - st_0} - e^{-\frac{\pi^2 f_0^2 (t-t_0)^2}{\gamma^2} - i2\pi f_0 \cdot (t-t_0) - s(t-t_0) - st_0} \right) dt = \\ &= \frac{1}{2i} e^{-st_0} \int_{t_0}^\infty \left(e^{-\frac{\pi^2 f_0^2 (t-t_0)^2}{\gamma^2} + i2\pi f_0 \cdot (t-t_0) - s(t-t_0)} - e^{-\frac{\pi^2 f_0^2 (t-t_0)^2}{\gamma^2} - i2\pi f_0 \cdot (t-t_0) - s(t-t_0)} \right) dt \end{aligned} \quad (2.5.6)$$

где, выделив полный квадрат в показателе экспоненциальной функции, можем перейти к выражению с Гамма функцией, т.е.:

$$\begin{aligned}
& -\frac{\pi^2 f_0^2 (t-t_0)^2}{\gamma^2} + i2\pi f_0 \cdot (t-t_0) - s(t-t_0) = -\frac{\pi^2 f_1^2}{\gamma^2} \left[(t-t_0)^2 - 2\frac{\gamma^2}{\pi^2 f_0^2} (i\pi f_0 - \frac{s}{2}) \cdot (t-t_0) \right] = \\
& = -\frac{\pi^2 f_1^2}{\gamma^2} \left[(t-t_0)^2 - 2\frac{\gamma^2}{\pi^2 f_0^2} (i\pi f_0 - \frac{s}{2}) \cdot (t-t_0) + \frac{\gamma^4}{\pi^4 f_0^4} (i\pi f_0 - \frac{s}{2})^2 - \frac{\gamma^4}{\pi^4 f_0^4} (i\pi f_0 - \frac{s}{2})^2 \right] = \\
& = -\frac{\pi^2 f_1^2}{\gamma^2} \left[(t-t_0) - \frac{\gamma^2}{\pi^2 f_0^2} (i\pi f_0 - \frac{s}{2}) \right]^2 + \frac{\gamma^2}{\pi^2 f_0^2} (i\pi f_0 - \frac{s}{2})^2
\end{aligned}$$

По определению Гамма функции $\int_0^\infty x^n e^{-ax^2} dx = \frac{1}{2} \frac{\Gamma\left(\frac{n+1}{2}\right)}{a^{\frac{n+1}{2}}}$ ($n > -1, a > 0$)

получим, что в этом случае $n = 0, a = \frac{\pi^2 f_1^2}{\gamma^2} > 0$, и справедливо следующее:

$$\int_0^\infty e^{-\frac{\pi^2 f_1^2}{\gamma^2} \left[(t-t_0) - \frac{\gamma^2}{\pi^2 f_0^2} (i\pi f_0 - \frac{s}{2}) \right]^2 + \frac{\gamma^2}{\pi^2 f_0^2} (i\pi f_0 - \frac{s}{2})^2} dt = e^{\frac{\gamma^2}{\pi^2 f_0^2} (i\pi f_0 - \frac{s}{2})^2} \frac{\gamma}{2\pi f_0} \Gamma\left(\frac{1}{2}\right)$$

Второе слагаемое в (2.5.6) аналогично приводится к Гамма функции после выделения полного квадрата в показателе экспоненциальной функции:

$$\begin{aligned}
& -\frac{\pi^2 f_0^2 (t-t_0)^2}{\gamma^2} - i2\pi f_0 \cdot (t-t_0) - s(t-t_0) = -\frac{\pi^2 f_1^2}{\gamma^2} \left[(t-t_0)^2 + 2\frac{\gamma^2}{\pi^2 f_0^2} (i\pi f_0 + \frac{s}{2}) \cdot (t-t_0) \right] = \\
& = -\frac{\pi^2 f_1^2}{\gamma^2} \left[(t-t_0)^2 + 2\frac{\gamma^2}{\pi^2 f_0^2} (i\pi f_0 + \frac{s}{2}) \cdot (t-t_0) + \frac{\gamma^4}{\pi^4 f_0^4} (i\pi f_0 + \frac{s}{2})^2 - \frac{\gamma^4}{\pi^4 f_0^4} (i\pi f_0 + \frac{s}{2})^2 \right] = \\
& = -\frac{\pi^2 f_1^2}{\gamma^2} \left[(t-t_0) + \frac{\gamma^2}{\pi^2 f_0^2} (i\pi f_0 + \frac{s}{2}) \right]^2 + \frac{\gamma^2}{\pi^2 f_0^2} (i\pi f_0 + \frac{s}{2})^2,
\end{aligned}$$

И в результате получаем выражение следующего вида:

$$\int_{t_0}^\infty e^{-\frac{\pi^2 f_1^2}{\gamma^2} \left[(t-t_0) + \frac{\gamma^2}{\pi^2 f_0^2} (i\pi f_0 + \frac{s}{2}) \right]^2 + \frac{\gamma^2}{\pi^2 f_0^2} (i\pi f_0 + \frac{s}{2})^2} dt = e^{\frac{\gamma^2}{\pi^2 f_0^2} (i\pi f_0 + \frac{s}{2})^2} \frac{\gamma}{2\pi f_0} \Gamma\left(\frac{1}{2}\right)$$

После интегрирования по частям по переменной x_1 и применения формулы для обобщенных функций $\langle \delta(x), \varphi(x) \rangle = \varphi(0)$ получим:

$$\int_{-\infty}^\infty \delta(x_1 - x_1^0) e^{-ik_1 x_1} dx_1 = -\int_{-\infty}^\infty \delta(x_1 - x_1^0) \frac{\partial e^{-ik_1 x_1}}{\partial x_1} dx_1 = -(-ik_1) e^{-ik_1 x_1^0} = ik_1 e^{-ik_1 x_1^0}$$

Подставив все полученные выражения в (2.5.5) получим окончательное представление в этом выражении через Гамма функцию.

Выводы по второму разделу

Таким образом, во втором разделе диссертации получены следующие результаты теоретического исследования аналитического решения исходной задачи:

- Обоснована корректность поставленной в первом разделе задачи путем приведения исходной задачи к системе ОДУ с помощью интегрального преобразования Фурье-Лапласа. Вычисления собственных значений матрицы коэффициентов полученной системы, приведенной к каноническому виду позволило установить, что спектр матрицы состоит из трех пар различных попарно противоположных собственных значений, что подтверждает достаточность трех краевых условий для определенности поставленной задачи.
- Получены необходимое и достаточное условия разрешимости поставленной задачи.
- Получено аналитическое решение исходной задачи в явном виде.
- Получены результаты преобразования Фурье-Лапласа для компонент функций источника сейсмического импульса двух видов, имеющих физический смысл.

3 ЧИСЛЕННОЕ РЕШЕНИЕ ДИНАМИЧЕСКОЙ ЗАДАЧИ

3.1 Матричная форма системы

В третьем разделе диссертации приведены результаты исследований, опубликованные в [39]. Мы можем переписать систему (1.2.1) – (1.2.8) в матричной форме:

$$A \frac{\partial w}{\partial t} + B \frac{\partial w}{\partial x_1} + C \frac{\partial w}{\partial x_2} = D,$$

где $w = (u_1, u_2, v_1, v_2, \sigma_{11}, \sigma_{12}, \sigma_{22}, p)^T$ и матрицы A, B, C, D имеют следующий вид:

$$A = \begin{pmatrix} 1 & 0 & 0 & 0 & 0 & 0 & 0 & 0 \\ 0 & 1 & 0 & 0 & 0 & 0 & 0 & 0 \\ 0 & 0 & 1 & 0 & 0 & 0 & 0 & 0 \\ 0 & 0 & 0 & 1 & 0 & 0 & 0 & 0 \\ 0 & 0 & 0 & 0 & 1 & 0 & 0 & 0 \\ 0 & 0 & 0 & 0 & 0 & 1 & 0 & 0 \\ 0 & 0 & 0 & 0 & 0 & 0 & 1 & 0 \\ 0 & 0 & 0 & 0 & 0 & 0 & 0 & 1 \end{pmatrix},$$

$$B = \begin{pmatrix} 0 & 0 & 0 & 0 & \frac{1}{\rho_s} & 0 & 0 & \frac{1}{\rho_0} \\ 0 & 0 & 0 & 0 & 0 & \frac{1}{\rho_s} & 0 & 0 \\ 0 & 0 & 0 & 0 & 0 & 0 & 0 & \frac{1}{\rho_0} \\ 0 & 0 & 0 & 0 & 0 & 0 & 0 & 0 \\ \frac{\rho_s}{\rho_0} K + \frac{4}{3} \mu & 0 & -\frac{\rho_s}{\rho_0} K & 0 & 0 & 0 & 0 & 0 \\ 0 & \mu & 0 & 0 & 0 & 0 & 0 & 0 \\ \frac{\rho_s}{\rho_0} K - \frac{2}{3} \mu & 0 & -\frac{\rho_s}{\rho_0} K & 0 & 0 & 0 & 0 & 0 \\ \frac{\rho_s}{\rho_0} \alpha - K & 0 & \frac{\rho_l}{\rho_0} \alpha & 0 & 0 & 0 & 0 & 0 \end{pmatrix},$$

$$C = \begin{pmatrix} 0 & 0 & 0 & 0 & 0 & \frac{1}{\rho_s} & 0 & 0 \\ 0 & 0 & 0 & 0 & 0 & 0 & \frac{1}{\rho_s} & \frac{1}{\rho_0} \\ 0 & 0 & 0 & 0 & 0 & 0 & 0 & 0 \\ 0 & 0 & 0 & 0 & 0 & 0 & 0 & \frac{1}{\rho_0} \\ 0 & \frac{\rho_s}{\rho_0} K - \frac{2}{3} \mu & 0 & -\frac{\rho_s}{\rho_0} K & 0 & 0 & 0 & 0 \\ \mu & 0 & 0 & 0 & 0 & 0 & 0 & 0 \\ 0 & \frac{\rho_s}{\rho_0} K + \frac{4}{3} \mu & 0 & -\frac{\rho_s}{\rho_0} K & 0 & 0 & 0 & 0 \\ 0 & \frac{\rho_s}{\rho_0} \alpha - K & 0 & \frac{\rho_l}{\rho_0} \alpha & 0 & 0 & 0 & 0 \end{pmatrix},$$

$$D = \begin{pmatrix} F_1 \\ F_2 \\ F_1 \\ F_2 \\ 0 \\ 0 \\ 0 \\ 0 \end{pmatrix}.$$

Поиск численного решения уравнений (1.2.1) – (1.2.10) начинается с построения дискретного аналога. Алгоритм вычисления решения по явной противопоточной схеме строится на равномерной разнесенной сетке методом конечных разностей.

Поскольку в задаче (1.2.1) – (1.2.10) граничные условия ставятся только для трех функций (1.2.10) на левой границе при $x_2 = 0$, то для остальных функций на правой границе достаточно большой области выполняются условия затухания функций на бесконечности. Для получения численного решения воспользуемся противопоточной разностной схемой, которая аппроксимирует производные, начиная с нижней границы по оси x_2 (вместо бесконечности берется достаточно большое значение $x_2 = L$), где далее движение происходит вверх к границе со значением $x_2 = 0$. Для обеспечения сходимости численного решения на основе явной разностной схемы необходимо выбирать шаги по временным и пространственным переменным так, чтобы они удовлетворяли условиям Куранта–Фридрихса–Леви (КФЛ), т.е. выполнялись следующие неравенства:

$$\max(\lambda_i(B)) \frac{\Delta t}{h_1} \leq 1, \quad \max(\lambda_i(C)) \frac{\Delta t}{h_2} \leq 1$$

где $\lambda_i(B)$ – собственные значения матрицы B и $\lambda_i(C)$ – собственные значения матрицы C , $i = 1, \dots, 8$, h_1 – шаг по оси x_1 и h_2 – шаг по оси x_2 .

Блок–схема численного решения представлена на рисунке 8:



Рисунок 8 – Блок–схема численного решения динамической задачи пороупругости

3.2 Дискретная аппроксимация задачи

Использование конечно–разностного метода как в [37, с.40-44] показало также свою эффективность при численном решении поставленной задачи на построенной равномерной разнесенной сетке в области $Q_T = [0, T] \times \Omega$, где $\Omega = [0, R] \times [0, L]$ заданной с шахматным расположением узлов.

Введем для такой равномерной разностной сетки следующие обозначения:

$$\begin{aligned} \omega &= \omega_\tau \times \omega_h, \quad \omega_h = \omega_h^{(1)} \times \omega_h^{(2)}, \\ \omega_\tau &= \{t^n = n\tau, n = 0, 1, \dots, N_\tau, N_\tau\tau = T\}, \\ \omega_h^{(1)} &= \{x_{1,i} = ih_1, i = 0, 1, \dots, N_1, N_1h_1 = R\}, \\ \omega_h^{(2)} &= \{x_{2,j} = jh_2, j = 0, 1, \dots, N_2, N_2h_2 = L\} \end{aligned}$$

с шахматным расположением узлов, показанным на рисунке 9. Предполагается, что вся область $\Omega = [0, R] \times [0, L]$ состоит только из пористой среды, где $0 < L$ и $L = Nh_2$. Обозначим через ω_h множество узлов разностной сетки, то есть:

$$\omega_h = \{(x_{1,i}, x_{2,j}) \in \omega_h : i = 0, 1, \dots, N_1, j = 0, 1, \dots, N_2\}.$$

В помощь индексов введем следующие обозначения искомых сеточных функций по аналогии с дифференциальной задачей (1.2.1) – (1.2.10), добавив верхний индекс h , нижний и верхний индексы, обозначающие порядковые номера узлов:

$$\begin{aligned} (u_1^h)_{i,j}^n &= u_1(ih_1, jh_2, \tau n), & (u_2^h)_{i,j}^n &= u_2(ih_1, jh_2, \tau n), \\ (v_1^h)_{i,j}^n &= v_1(ih_1, jh_2, \tau n), & (v_2^h)_{i,j}^n &= v_2(ih_1, jh_2, \tau n), \\ (\sigma_{11}^h)_{i,j}^n &= \sigma_{11}(ih_1, jh_2, \tau n), & (\sigma_{12}^h)_{i,j}^n &= \sigma_{12}(ih_1, jh_2, \tau n), \\ (\sigma_{22}^h)_{i,j}^n &= \sigma_{22}(ih_1, jh_2, \tau n), & (p^h)_{i,j}^n &= p(ih_1, jh_2, \tau n). \end{aligned}$$

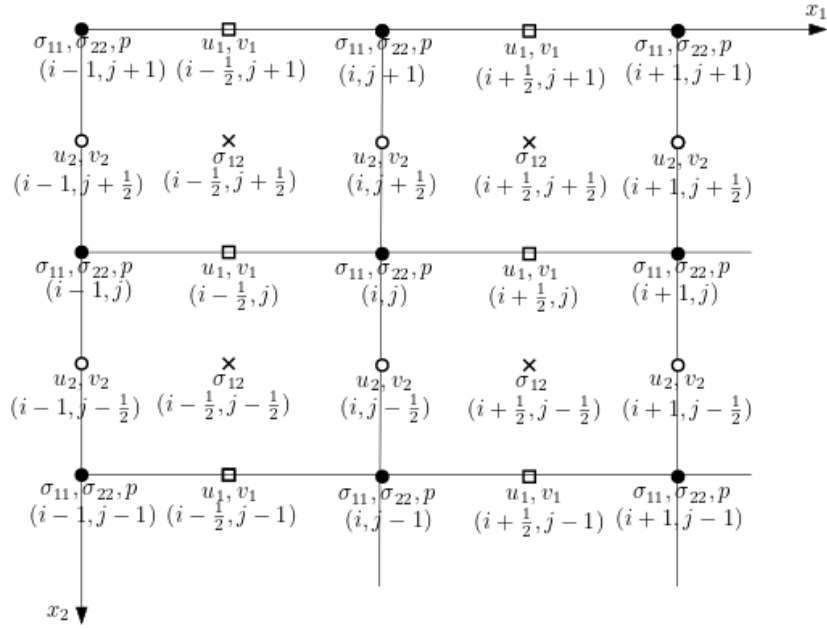


Рисунок 9 – Разностная сетка с шахматным расположением узлов

Аналогичная сетка использовалась в [56] во избежание появления осцилляций в функциях решений при использовании центральных разностей на неразнесенной сетке. Распределяем сеточные функции по узлам таким образом, чтобы:

- продольные компоненты u_1 и v_1 векторов скоростей \vec{u} and \vec{v} вычислялись в узлах $(i+1/2, j)$ по направлению переменной x_1 ,
- поперечные компоненты u_2 и v_2 векторов скоростей \vec{u} and \vec{v} вычисляются в узлах $(i, j+1/2)$ в направлении переменной x_2
- диагональные компоненты σ_{11} , σ_{22} , тензора напряжений и давления в узлах (i, j) ,
- недиагональные компоненты σ_{12} в узлах $(i+1/2, j+1/2)$.

Тогда дифференциальная задача (1.2.1) – (1.2.10) будет аппроксимирована следующей явной разностной схемой на разностной сетке ω_h :

$$\frac{(u_1^h)^{n+1}_{i+\frac{1}{2},j} - (u_1^h)^n_{i+\frac{1}{2},j}}{\tau} + \frac{1}{\rho_s} \left(\frac{(\sigma_{11}^h)^n_{i+1,j} - (\sigma_{11}^h)^n_{i,j}}{h_1} + \frac{(\sigma_{12}^h)^n_{i+\frac{1}{2},j+\frac{1}{2}} - (\sigma_{12}^h)^n_{i+\frac{1}{2},j-\frac{1}{2}}}{h_2} \right) + \frac{1}{\rho_0} \frac{(p^h)^n_{i+1,j} - (p^h)^n_{i,j}}{h_1} = (F_1^h)^{n+\frac{1}{2}}_{i+\frac{1}{2},j}, \quad (3.2.1)$$

$$\frac{(u_2^h)^{n+1} - (u_2^h)^n_{i,j+\frac{1}{2}}}{\tau} + \frac{1}{\rho_s} \left(\frac{(\sigma_{12}^h)^n_{i+\frac{1}{2},j+\frac{1}{2}} - (\sigma_{12}^h)^n_{i-\frac{1}{2},j+\frac{1}{2}}}{h_1} + \frac{(\sigma_{22}^h)^n_{i,j+1} - (\sigma_{22}^h)^n_{i,j}}{h_2} \right) + \frac{1}{\rho_0} \frac{(p^h)^n_{i,j+1} - (p^h)^n_{i,j}}{h_2} = (F_2^h)^{n+\frac{1}{2}}_{i,j+\frac{1}{2}}, \quad (3.2.2)$$

$$\frac{(v_1^h)^{n+1} - (v_1^h)^n_{i+\frac{1}{2},j}}{\tau} + \frac{1}{\rho_0} \frac{(p^h)^n_{i+1,j} - (p^h)^n_{i,j}}{h_1} = (F_1^h)^{n+\frac{1}{2}}_{i+\frac{1}{2},j}, \quad (3.2.3)$$

$$\frac{(v_2^h)^{n+1} - (v_2^h)^n_{i,j+\frac{1}{2}}}{\tau} + \frac{1}{\rho_0} \frac{(p^h)^n_{i,j+1} - (p^h)^n_{i,j}}{h_2} = (F_2^h)^{n+\frac{1}{2}}_{i,j+\frac{1}{2}}, \quad (3.2.4)$$

$$\frac{(\sigma_{11}^h)^{n+1} - (\sigma_{11}^h)^n_{i,j}}{\tau} + \beta_1 \frac{(u_1^h)^n_{i+\frac{1}{2},j} - (u_1^h)^n_{i-\frac{1}{2},j}}{h_1} + \beta_2 \frac{(u_2^h)^n_{i,j+\frac{1}{2}} - (u_2^h)^n_{i,j-\frac{1}{2}}}{h_2} - \frac{\rho_s}{\rho_0} K \left(\frac{(v_1^h)^n_{i+\frac{1}{2},j} - (v_1^h)^n_{i-\frac{1}{2},j}}{h_1} + \frac{(v_2^h)^n_{i,j+\frac{1}{2}} - (v_2^h)^n_{i,j-\frac{1}{2}}}{h_2} \right) = 0, \quad (3.2.5)$$

$$\frac{(\sigma_{12}^h)^{n+1} - (\sigma_{12}^h)^n_{i+\frac{1}{2},j+\frac{1}{2}}}{\tau} + \mu \left(\frac{(u_1^h)^n_{i+\frac{1}{2},j+1} - (u_1^h)^n_{i+\frac{1}{2},j}}{h_2} + \frac{(u_2^h)^n_{i+1,j+\frac{1}{2}} - (u_2^h)^n_{i,j+\frac{1}{2}}}{h_1} \right) = 0, \quad (3.2.6)$$

$$\frac{(\sigma_{22}^h)^{n+1} - (\sigma_{22}^h)^n_{i,j}}{\tau} + \beta_2 \frac{(u_1^h)^n_{i+\frac{1}{2},j} - (u_1^h)^n_{i-\frac{1}{2},j}}{h_1} + \beta_1 \frac{(u_2^h)^n_{i,j+\frac{1}{2}} - (u_2^h)^n_{i,j-\frac{1}{2}}}{h_2} - \frac{\rho_s}{\rho_0} K \left(\frac{(v_1^h)^n_{i+\frac{1}{2},j} - (v_1^h)^n_{i-\frac{1}{2},j}}{h_1} + \frac{(v_2^h)^n_{i,j+\frac{1}{2}} - (v_2^h)^n_{i,j-\frac{1}{2}}}{h_2} \right) = 0, \quad (3.2.7)$$

$$\frac{(p^h)^{n+1} - (p^h)^n_{i,j}}{\tau} + \beta_3 \left(\frac{(u_1^h)^n_{i+\frac{1}{2},j} - (u_1^h)^n_{i-\frac{1}{2},j}}{h_1} + \frac{(u_2^h)^n_{i,j+\frac{1}{2}} - (u_2^h)^n_{i,j-\frac{1}{2}}}{h_2} \right) + \frac{\rho_1}{\rho_0} \alpha \left(\frac{(v_1^h)^n_{i+\frac{1}{2},j} - (v_1^h)^n_{i-\frac{1}{2},j}}{h_1} + \frac{(v_2^h)^n_{i,j+\frac{1}{2}} - (v_2^h)^n_{i,j-\frac{1}{2}}}{h_2} \right) = 0, \quad (3.2.8)$$

где коэффициенты β_i вычисляются по следующим формулам:

$$\beta_1 = \frac{\rho_s}{\rho_0} K + \frac{4}{3} \mu, \quad \beta_2 = \frac{\rho_s}{\rho_0} K - \frac{2}{3} \mu, \quad \beta_3 = \frac{\rho_s}{\rho_0} \alpha - K.$$

Из разностной схемы (3.2.1)-(3.2.8) можно увидеть, что значения сеточных функций на $(n+1)$ -ом временном слое вычисляются по явным формулам (3.2.1) – (3.2.8) при известных значениях этих же сеточных функций на n -м временном слое в узлах $(u_1^h)_{i+\frac{1}{2},j}^n, (u_2^h)_{i,j+\frac{1}{2}}^n, (v_1^h)_{i+\frac{1}{2},j}^n, (v_2^h)_{i,j+\frac{1}{2}}^n, (\sigma_{11}^h)_{i,j}^n, (\sigma_{12}^h)_{i+\frac{1}{2},j+\frac{1}{2}}^n, (\sigma_{22}^h)_{i,j}^n, (p^h)_{i,j}^n$. Таким образом можно построить алгоритм численного решения задачи, причем с учетом граничных условий вычисление значений сеточных функций u_1^h, u_2^h и v_2^h по формулам (3.2.1), (3.2.2), (3.2.4) начинается с верхнего правого угла, а вычисление значений сеточных функций $\sigma_{12}^h, \sigma_{22}^h$ и p^h по формулам (3.2.6), (3.2.7) и (3.2.8) начинается с нижнего левого угла расчетной сетки.

Алгоритм численного решения сеточных функций представлен на рисунке 10.



Рисунок 10 – Блок–схема численного решения сеточных функций

Выводы по третьему разделу

Для разработки численного решения исходной задачи (1.2.1) – (1.2.10) приняты следующие этапы:

- получены дискретные аналоги восьми уравнений исходной задачи с применением явной конечно–разностной схемы;
- аппроксимация искоемых сеточных функций производится на разнесенной сетке, что позволяет избежать появление осцилляций в функциях решений при использовании центральных разностей на неразнесенной сетке.
- приведена блок–схема численного решения.

4 РЕЗУЛЬТАТЫ ВЫЧИСЛИТЕЛЬНЫХ ЭКСПЕРИМЕНТОВ

4.1 Вычислительные эксперименты

По предложенному алгоритму были проведены два вычислительных эксперимента, моделирующих распространение сейсмических волновых полей в двумерной упругопористой среде, заполненной вязкой жидкостью. Среда однородна и изотропна, свойства составляющих ее материалов характеризуются скоростями распространения в ней двух продольных c_{p_1} , c_{p_2} и одной поперечной c_s звуковых волн. Определим двумерную область квадратной формы $\mathbf{x} \in \Omega$ со стороной 100 м, в которой заданы нулевые начальные условия и граничные условия на левой границе для трех функций σ_{12}^h , σ_{22}^h , и p^h , а на правой границе для функций u_1^h , u_2^h и v_2^h для различных значений параметров и функции, описывающей сейсмические волны.

Программный код для реализации алгоритма был разработан с использованием нового высокопроизводительного языка программирования Julia (бесплатно и свободно распространяется по лицензии MIT). Julia — динамичный, высокоуровневый, высокопроизводительный язык программирования, специально созданный для технических вычислений, с синтаксисом, аналогичным Python. Он в основном используется в машинном обучении, науке о данных, интеллектуальном анализе данных, численном анализе и в любых математических целях, поскольку линейная алгебра является основной функцией этого языка. Разработанная для работы со сложными моделями данных, Julia отличается простотой, высокой производительностью и скоростью.

Расчеты проводились с использованием параллельных вычислений на компьютере с техническими характеристиками, приведенными в таблице 1:

Таблица 1 – Описание оборудования

Описание	Технические характеристики
Процессор	16-ядерный AMD Ryzen 9 3950X
Частота	3.5 GHz (Matisse)
RAM	64 GB

Использование явной разностной схемы, содержащей циклические участки, позволяет программному обеспечению создавать распараллеленные алгоритмы для эффективного использования вычислительных ресурсов.

Динамическая визуализация результатов вычислительных экспериментов, представленных в данной статье, была выполнена с помощью пакета программ ParaView.

4.1.1 Первый вычислительный эксперимент

Реальные исходные данные для физических параметров в первом вычислительном эксперименте задачи взяты из статьи [54] и представлены в таблице 2.

Таблица 2 – Входные физические параметры и характеристики сетки в первом вычислительном эксперименте

№	Название входных физических параметров и параметров разностной сетки	Обозначение	Значение	Ед.измерения
1	2	3	4	5
1	Физическая плотность матрицы	ρ_s^f	1.4 (мел)	$г / см^3$
2	Физическая плотность жидкости	ρ_l^f	1 (вода)	$г / см^3$
3	Логарифмическая скорость быстрой (продольной) волны	c_{p_1}	2000	$м / с$
4	Логарифмическая скорость медленной (продольной) волны	c_{p_2}	450	$м / с$
5	Скорость поперечной волны	c_s	1400	$м / с$
6	Пористость	d_0	0.2 (песчник слабый)	
7	Область интегрирования по оси x_1	R	100	$м$
8	Область интегрирования по оси x_2	L	100	$м$
9	Количество узлов по оси x_1	N_1	400	
10	Количество узлов по оси x_2	N_2	400	
11	Количество временных слоев	N_t	10^5	

12	Шаг по оси x_1	h_1	$\frac{R}{N_1} = \frac{100}{400} = 0,25$	m
----	------------------	-------	--	-----

Продолжение таблицы 2

1	2	3	4	5
13	Шаг по оси x_2	h_2	$\frac{L}{N_2} = \frac{100}{400} = 0,25$	m
14	Шаг во времени	τ	$\frac{9 \cdot 10^{-5} \cdot h_1}{20\sqrt{10}} \approx 3.5575 \cdot 10^{-7}$	c
15	Время распространения сигнала	T	0.02135	c
16	Безразмерный параметр источника	$\tilde{\gamma}$	4	
17	Центральная частота источника	f_0	1	$Гц$
18	Длительность сигнала источника	t_0	1	c

Функция источника $F(t, x_1, x_2) = (F_1(t, x_1, x_2), F_2(t, x_1, x_2))$ описывается следующими формулами:

$$F_1(t, x_1, x_2) = f(t) \frac{\partial \delta(\mathbf{x} - \mathbf{x}_0)}{\partial x_1} \delta(\mathbf{x} - \mathbf{x}_0),$$

$$F_2(t, x_1, x_2) = f(t) \delta(\mathbf{x} - \mathbf{x}_0) \frac{\partial \delta(\mathbf{x} - \mathbf{x}_0)}{\partial x_2},$$

где функция импульса описывается формулой:

$$f(t) = \begin{cases} -2\pi^2 f_0^2 \cdot (t - t_0) \exp(-\pi^2 f_0^2 \cdot (t - t_0)^2), & t \leq 2t_0, \\ 0, & t > 2t_0, \end{cases}$$

С координатами источника:

$$\mathbf{x}_0 = (x_1^0, x_2^0) = (50, 14).$$

Динамика изменения $f(t)$ ~~показан~~ продемонстрирована на рисунке 11.

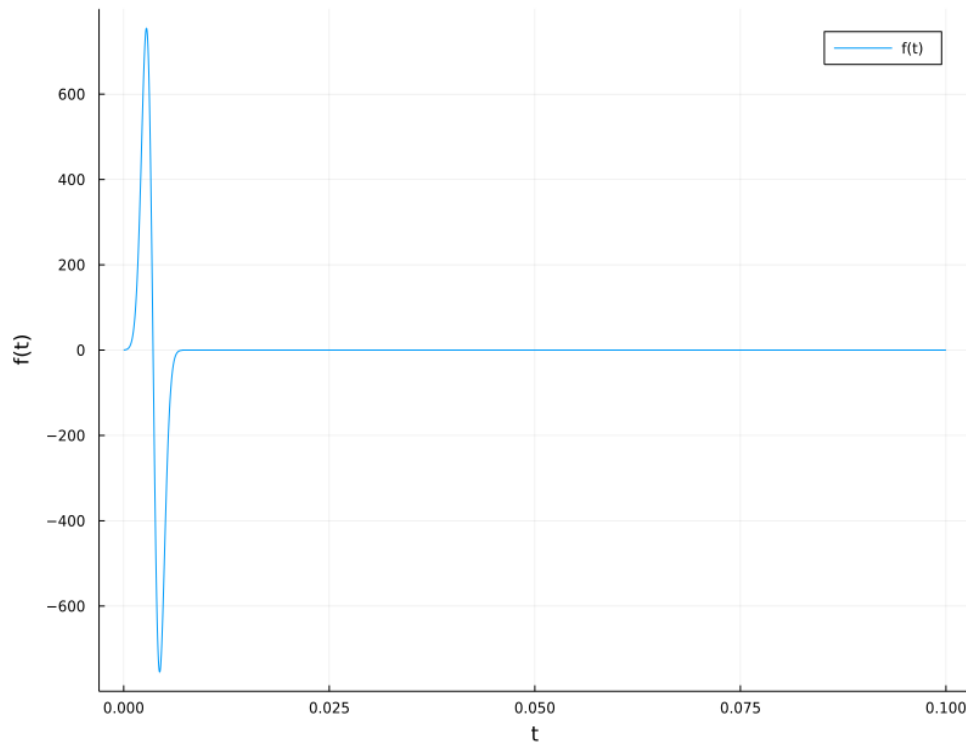


Рисунок 11 – Функция $f(t)$

Дельта–функция $\delta(\mathbf{x})$, $\mathbf{x} = (x_1, x_2)$ аппроксимируем с помощью функции «шапочка» вида:

$$\delta(\mathbf{x}) \approx \Delta_1(\mathbf{x}) = \begin{cases} \exp\left(-\frac{\varepsilon^2}{\varepsilon^2 - |\mathbf{x}|^2}\right), & |\mathbf{x}| < \varepsilon, \\ 0, & |\mathbf{x}| \geq \varepsilon, \end{cases}$$

где $\varepsilon \rightarrow 0$ параметр. Производная по переменной x_k , ($k = 1, 2$) имеет вид:

$$\frac{\partial}{\partial x_k} \Delta_1(\mathbf{x}) = \begin{cases} -\frac{2\varepsilon^2 x_k}{(\varepsilon^2 - |\mathbf{x}|^2)^2} \exp\left(-\frac{\varepsilon^2}{\varepsilon^2 - |\mathbf{x}|^2}\right), & |\mathbf{x}| < \varepsilon, \\ 0, & |\mathbf{x}| \geq \varepsilon. \end{cases}$$

Визуализация результатов вычислительных экспериментов представлена на Рисунках 12 и 13.

На рисунках 12 и 13 показана динамика изменения модуля векторов $|\vec{u}| = \sqrt{u_1^2 + u_2^2}$ и $|\vec{v}| = \sqrt{v_1^2 + v_2^2}$ от момента времени $t = 0.00356c$ до момента $t = 0.02135c$ с определенными интервалами времени. Вычислительный процесс в этом эксперименте занял 34 минуты.

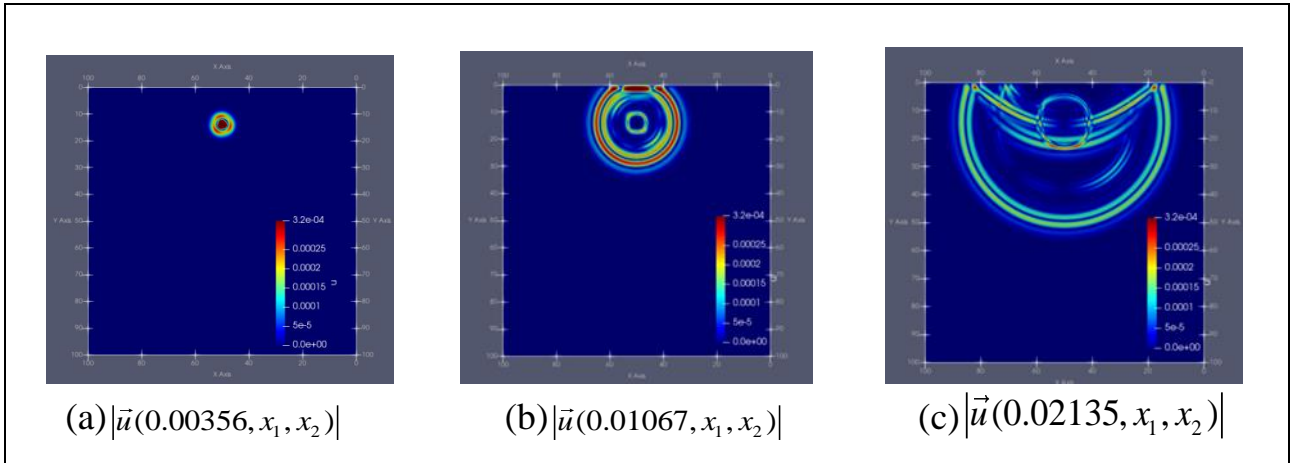


Рисунок 12 – График модуля скорости $|\vec{u}|$ твердой фазы в первом вычислительном эксперименте на интервалах времени:

(a) $t = 0.00356 c$, (b) $t = 0.01067 c$, (c) $t = 0.02135 c$

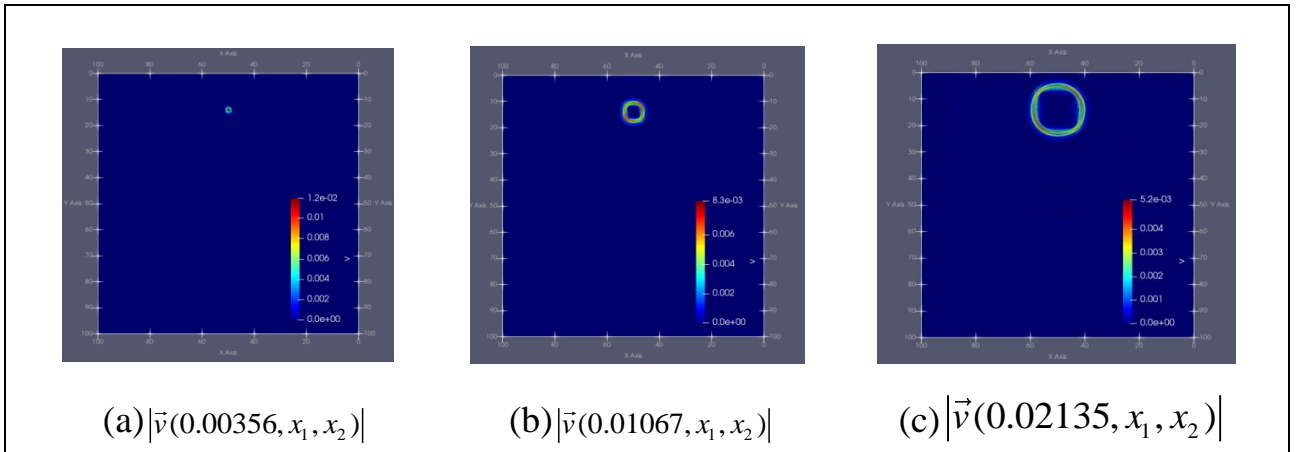


Рисунок 13 – График модуля скорости $|\vec{v}|$ жидкой фазы в первом вычислительном эксперименте на интервалах времени:

(a) $t = 0.00356 c$, (b) $t = 0.01067 c$, (c) $t = 0.02135 c$

На динамических графиках на рисунке 12 и рисунке 13 видно, что скорость в твердой фазе изменяется во времени быстрее, чем в жидкой, что согласуется с наблюдаемыми экспериментальными данными.

Сейсмограммы компонент $u_1(x_2, t)$ и $u_2(x_2, t)$ по трассам, проходящим через точку источника импульса, представлены на рисунке 14 и рисунке 15 соответственно.

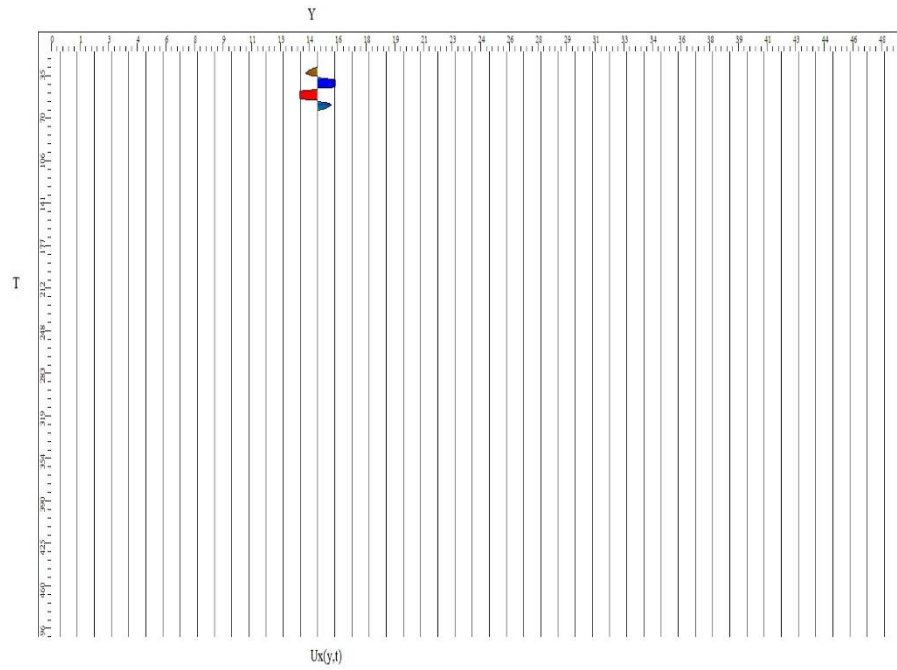


Рисунок 14 – Сейсмограмма компоненты скорости $u_1(x_2, t)$

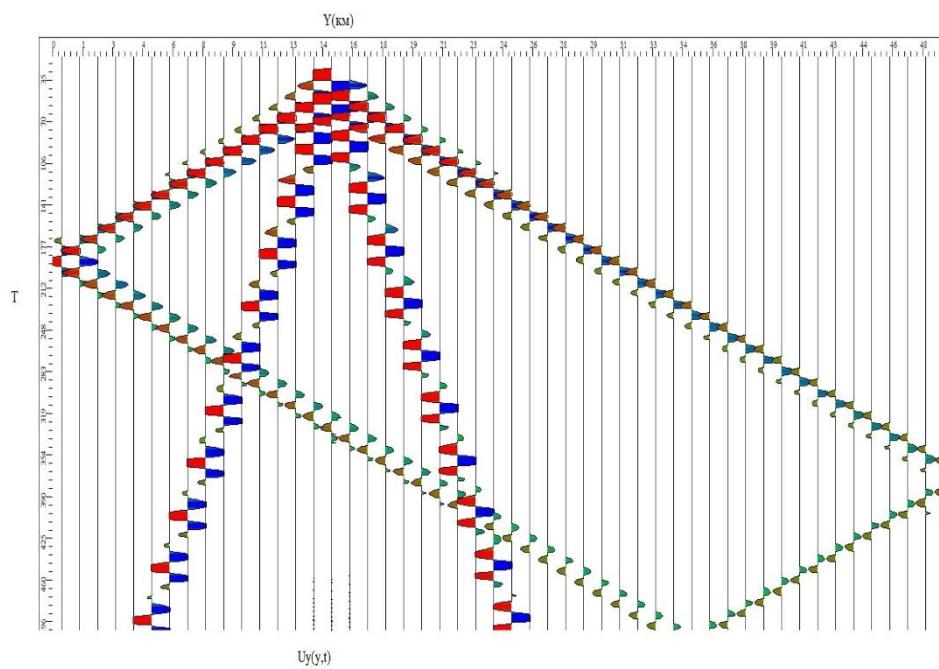


Рисунок 15 – Сейсмограмма компоненты скорости $u_2(x_2, t)$

4.1.2 Второй вычислительный эксперимент

Во втором вычислительном эксперименте другой набор значений физических параметров и вид функции источника, описывающей сейсмический импульс задачи, берутся из [54]:

а) параметры разностной сетки:

$$N_1 = N_2 = 400, N_t = 5 \cdot 10^5, \tau = \frac{9 \cdot 10^{-5} h_1}{\sqrt{4200}} \approx 2.4303 \cdot 10^{-5};$$

Таблица 3 – Входные физические параметры и характеристики разностной сетки во втором вычислительном эксперименте

№	Название физических параметров и параметров входных параметров и разностной сетки	Обозначения	Значение	Ед. измерения
1	2	3	4	5
1	Физическая плотность матрицы	ρ_s^f	1.5 (угли)	$г / см^3$
2	Физическая плотность жидкости	ρ_l^f	1 (вода)	$г / см^3$
3	Логарифмическая скорость быстрой (продольной) волны	c_{p_1}	2000	$м / с$
4	Логарифмическая скорость медленной (продольной) волны	c_{p_2}	400	$м / с$
5	Скорость поперечной волны	c_s	1300	$м / с$
6	Пористость	d_0	0.1 (известняк слабый)	
7	Область интегрирования по оси x_1	R	7000	$м$
8	Область интегрирования по оси x_2	L	10500	$м$
9	Количество узлов по оси x_1	N_1	400	
10	Количество узлов по оси x_2	N_2	400	
11	Количество временных слоев	N_t	$5 \cdot 10^5$	
12	Шаг по оси x_1	h_1	$\frac{R}{N_1} = \frac{100}{400} = 0,25$	$м$
13	Шаг по оси x_2	h_2	$\frac{L}{N_2} = \frac{100}{400} = 0,25$	$м$
14	Шаг во времени	τ	$\frac{9 \cdot 10^{-5} h_1}{\sqrt{4200}} \approx 2.4303 \cdot 10^{-5}$	$с$

Продолжение таблицы 3

1	2	3	4	5
15	Время распространения сигнала	T	2.43	c
16	Безразмерный параметр источника	γ	4	
17	Центральная частота источника	f_0	1	$\Gamma\zeta$
18	Длительность сигнала источника	t_0	1	c

Функция источника $F(t, x_1, x_2) = (F_1(t, x_1, x_2), F_2(t, x_1, x_2))$ описывается следующими формулами:

$$F_1(t, x_1, x_2) = f(t) \frac{\partial \delta(\mathbf{x} - \mathbf{x}_0)}{\partial x_1} \delta(\mathbf{x} - \mathbf{x}_0), \quad F_2(t, x_1, x_2) = f(t) \delta(\mathbf{x} - \mathbf{x}_0) \frac{\partial \delta(\mathbf{x} - \mathbf{x}_0)}{\partial x_2},$$

где

$$f(t) = \exp\left(-\frac{(2\pi f_0 \cdot (t - t_0))^2}{\gamma^2}\right) \sin(2\pi f_0 \cdot (t - t_0)) \quad (\text{импульс Пузырева})$$

$\mathbf{x}_0 = (3500 \text{ m}, 1500 \text{ m})$ – координаты источника

Дельта-функция $\delta(\mathbf{x} - \mathbf{x}_0)$ и ее частные производные аппроксимируются аналогично тому, как это было в первом вычислительном эксперименте с использованием функции «шапочка».

функции Динамика изменения $f(t)$ неказанпродемонстрирована на рисунке 16.

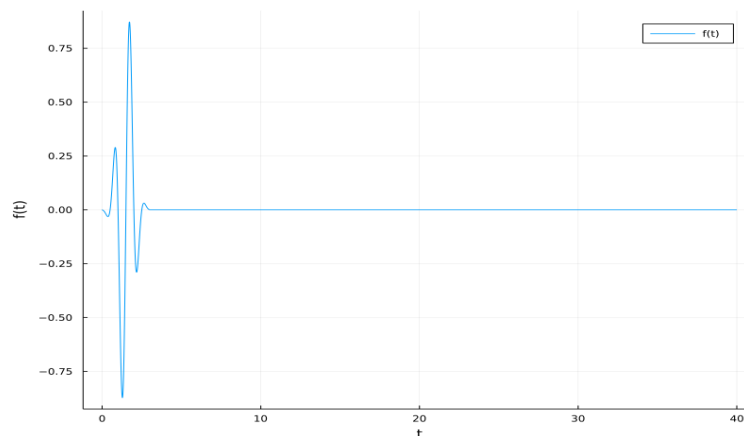


Рисунок 16 – Функция импульса $f(t)$

На рисунках 17 и 18 показана динамика изменения модулей векторов $|\vec{u}| = \sqrt{u_1^2 + u_2^2}$ и $|\vec{v}| = \sqrt{v_1^2 + v_2^2}$ от момента времени $t = 0.243c$ до $t = 2.43c$ через определенные промежутки времени.

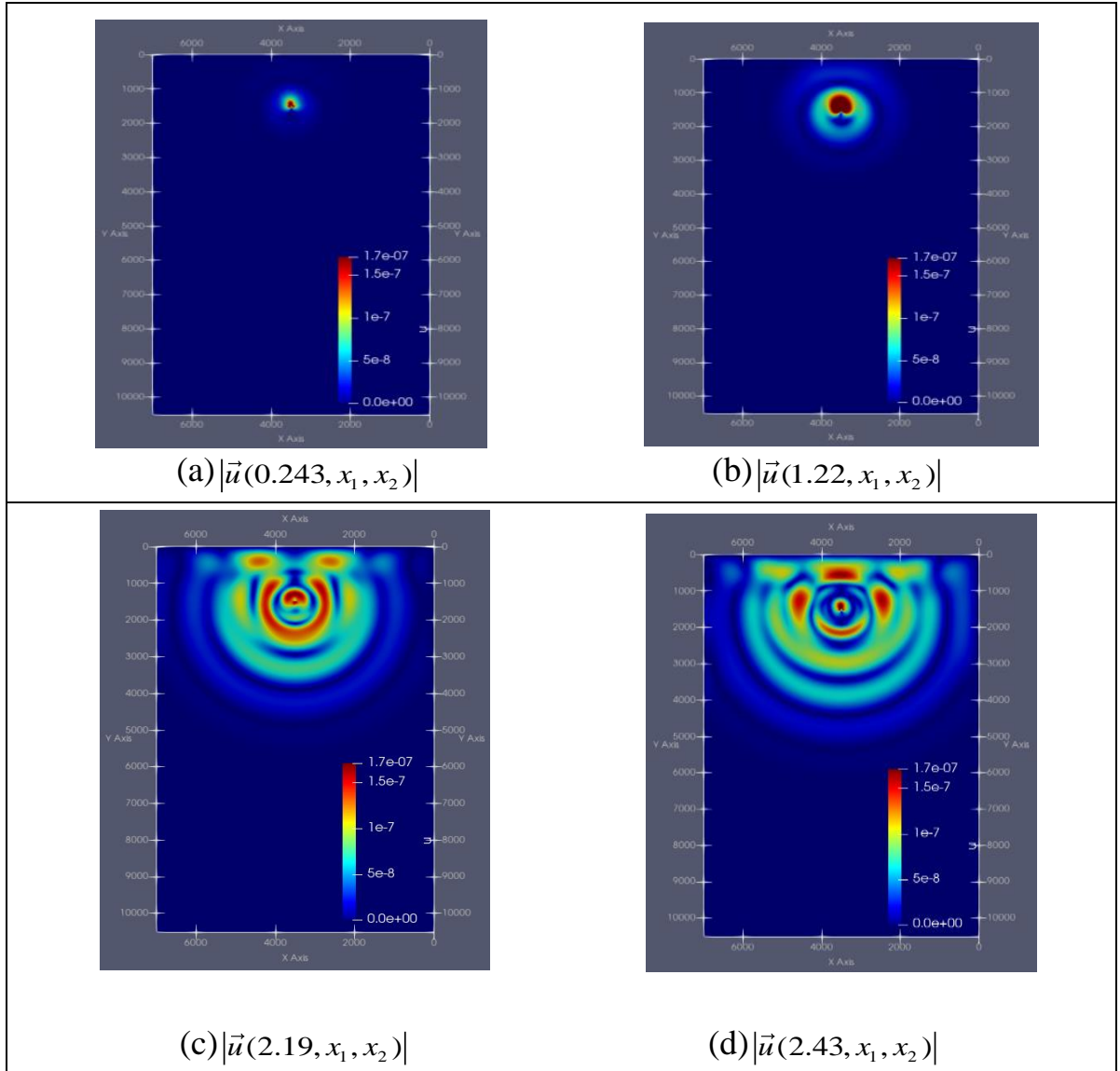


Рисунок 17 – График модуля скорости $|\vec{u}|$ твердой фазы во втором вычислительном эксперименте на интервалах времени: (a) $t = 0.243c$, (b) $t = 1.22c$, (c) $t = 2.19c$, (d) $t = 2.43c$

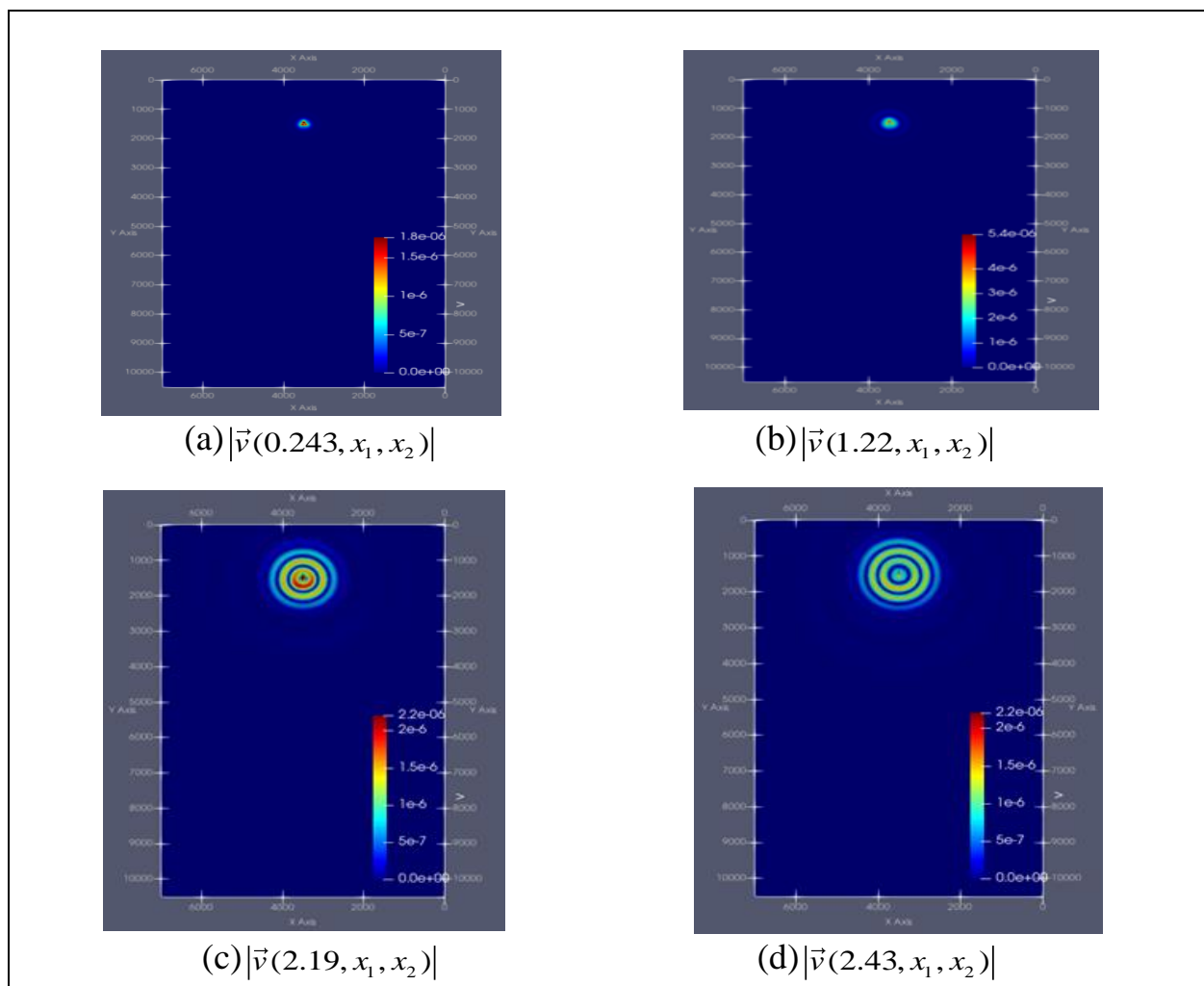


Рисунок 18 – График модуля скорости $|\vec{v}|$ жидкой фазы во втором вычислительном эксперименте на интервалах времени: (a) $t = 0.243c$, (b) $t = 1.22c$, (c) $t = 2.19c$, (d) $t = 2.43c$.

Сейсмограммы компонент $u_1(x_2, t)$ и $u_2(x_2, t)$ по трассам, проходящим через точку источника взрыва, выглядят аналогично сейсмограммам, показанным в первом вычислительном эксперименте.

Программный код, реализующий параллельные вычисления, разработан на высокопроизводительном языке программирования Julia. Возможность использования подхода продемонстрирована на примере решения задачи распространения сейсмических волн от источника взрыва, расположенного в пласте. Проведены вычислительные эксперименты на основе реальных данных по нефтяным пластам и получена динамическая визуализация решений, согласующаяся с моментами входа первых волн.

На основе полученного алгоритма построена имитационная модель, позволяющая проводить вычисления для любых реалистичных наборов исходных данных и вида функции источника. Схема комплекса программ с использованием языков программирования Html, Java Script и Python, Julia, обеспечивающего автоматический запуск вычислительного процесса, с

возможностью ввода значений исходных данных и выбора вида функции источника приведена на рисунке 19. Дистанционный доступ пользователя к серверу обеспечивается через браузер по ссылке <https://850b-37-228-66-82.ngrok-free.app/ru/dashboard>

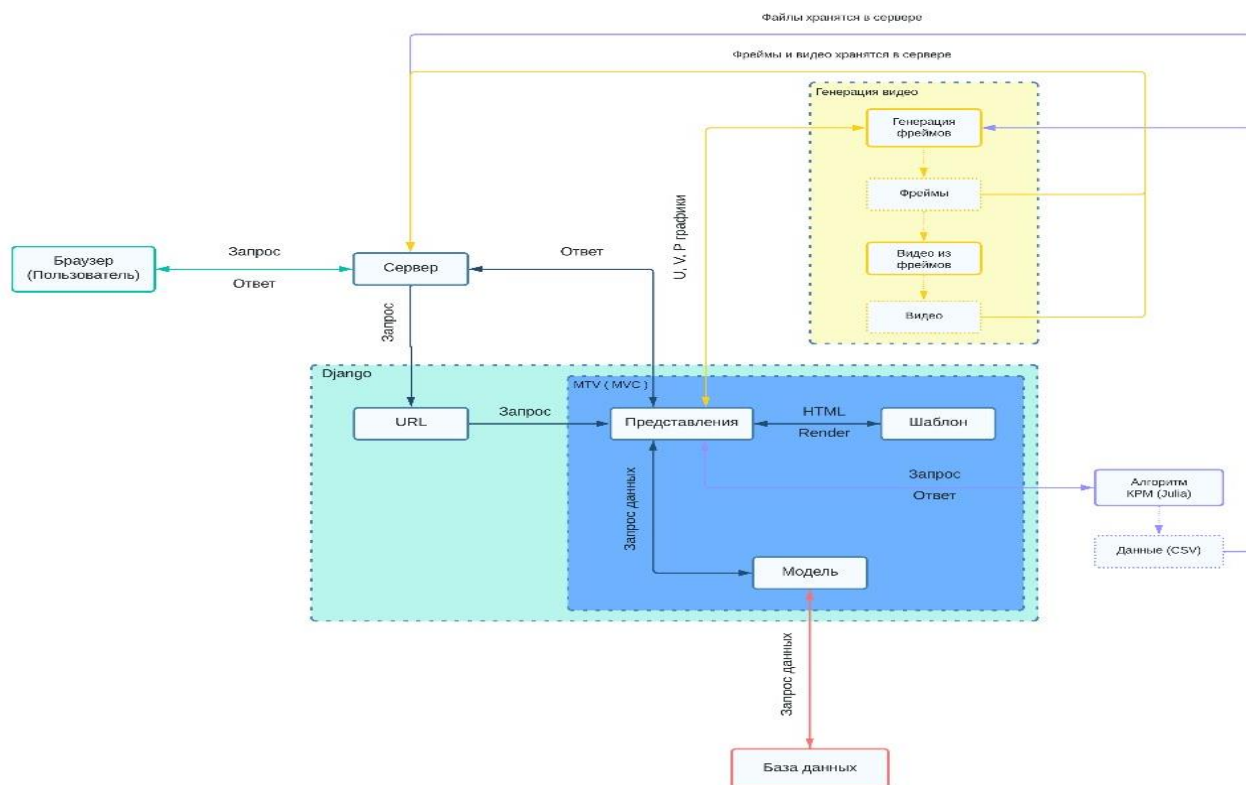


Рисунок 19 – Схема программного комплекса

Построен интерфейс с понятной и удобной для использования панелью управления на трех языках английском, казахском и русском с наглядной динамической визуализацией результатов вычисления. На дэшборде отображена информация о периоде времени, затрачиваемом на вычислительный процесс, а также промежутка времени, необходимо для генерации динамической визуализации каждой из вычисляемых функций, таких как модуль скорости движения частиц твердого каркаса $|\vec{u}|$, модуля скорости движения частиц насыщающей жидкости $|\vec{v}|$, а также порового давления p .

Дэшборд интерфейса имитационной модели для вычислительных экспериментов изображен на рисунке 20.



Рисунок 20 – Дэшборд интерфейса вычислительной задачи

Выводы по четвертому разделу

В данном разделе проведена численная реализация математической модели с помощью явной конечно–разностной противопоточной схемы на разнесенной сетке, разработанной в третьем разделе диссертации и подтверждена эффективность ее применения для имитационной модели, а именно:

- Проведено два численных эксперимента для различных реальных наборов исходных данных значений физических параметров пористой среды и скоростей продольных и поперечной волн, исходящих из источника. Код разработан на высокопроизводительном языке программирования Julia с использованием параллельных вычислений для сокращения вычислительного процесса.

- В вычислительных экспериментах были использованы два различных вида функций сейсмического импульса, имеющие реальный физический смысл и указанные в первом разделе диссертации с постановкой исходной задачи для математической модели, моделирующей распространение сейсмических волн в пороупругой среде.

- По результатам вычислений получена визуализация полученного решения скорости движения частиц твердого каркаса и насыщающей его жидкости в различные моменты времени после возникновения сейсмического импульса.

- Для удобного использования имитационной модели пороупругой среды разработан программный комплекс на языках HTML, Java Script, Python с интерфейсом для введения исходных значений параметров, автоматического запуска вычислений и получения динамической визуализации результатов вычислений функций решения, с указанием времени, затраченного на вычислительный процесс.

ЗАКЛЮЧЕНИЕ

Таким образом, в данной диссертации представлены исследования в теоретической и в практической части, связанные с численно–аналитическим решением начально–краевой задачи для симметричной t - гиперболической системы уравнений пороупругости. Эта задача обеспечивает основу для создания имитационной модели распространения сейсмических волн в пороупругой среде, насыщенной жидкостью. Параметры модели включают скорости распространения продольных и поперечных волн, физические плотности материалов среды и пористость твердого каркаса.

– В результате теоретических исследований подтверждена корректность постановки исходной задачи, получено условие разрешимости задачи, выполнение которого обеспечивает необходимое и достаточное условия существования единственного решения, получено аналитическое выражение решения в явном виде с помощью применения интегральных преобразований Фурье–Лапласа.

– Численное решение реализовано с использованием явной противопоточной конечно–разностной схемы, построенной на шахматной сетке с использованием параллельных вычислений. Использование метода разнесенных узлов разностной сетки позволило избежать осцилляций значений восьми функций решения для двумерного случая задачи. Подход континуальной фильтрации позволяет описывать пороупругую среду с меньшим числом модельных параметров, чем в теории пороупругости Френкеля–Био, и с лучшим согласованием результатов с экспериментальными данными.

– В диссертации представлен оригинальный алгоритм для компьютерного моделирования процессов распространения волн в сложных многофазных средах. Предлагаемый алгоритм позволяет эффективно использовать распараллеленные вычисления на современной компьютерной технике с многоядерными процессорами. Благодаря усовершенствованию высокопроизводительных современных вычислительных систем внедрение нового подхода к технологии компьютерного моделирования может сыграть решающую роль в области обработки и интерпретации данных и в других приложениях.

– Разработана имитационная модель с удобным интерфейсом с визуализацией результатов вычислений с использованием языков Html, Java Script и Python, позволяющий проводить численные эксперименты с полностью контролируемыми исходными данными и тем самым надежно проверять гипотезы и формулировать критерии проявления подвижности флюидов в сейсмических данных. Программный код, реализующий параллельные вычисления, разработан на высокопроизводительном языке программирования Julia.

– Устойчивость предложенной разностной схемы обеспечивается выполнением критерия Фридрихса–Куранта–Леви, определяющего соотношение между временными шагами и размером шагов по двум

пространственным переменным. Проведены вычислительные эксперименты на реальных данных по нефтяным пластам и получена динамическая визуализация решений, согласующаяся с моментами прихода первых волн.

В настоящей диссертации детально раскрыта, как теоретическая часть, так и вычислительный метод с численными экспериментами, проведенными на основе различных наборов реальных данных физических параметров. Продемонстрирована эффективность разработанного алгоритма численного метода решения поставленной задачи пороупругости.

Таким образом, в диссертации представлен алгоритм численно–аналитического решения начально–краевой задачи для симметрической системы уравнений в частных производных t –гиперболического типа. Этот результат имеет важное промышленное применение. В частности, имитационное моделирование распространения сейсмических волн применяется для сейсморазведки, как наиболее надежный геофизический метод, используемый для выявления нефтегазоносных объектов в геологических структурах, а также решающее значение для исследований в различных областях, таких как биомедицина, химическая инженерия, микро– и нанофлюидика.

СПИСОК ИСПОЛЬЗОВАННЫХ ИСТОЧНИКОВ

- 1 Френкель Я.И. К теории сейсмических и сейсмоэлектрических явлений во влажной почве // Изв.АН СССР. Сер.геогр. и геофиз. – 1944. – Т.8, № 4. – С. 133–150.
- 2 Biot M.A. Theory of propagation of elastic waves in a fluid–saturated porous solids // J. Acoustic. Soc. Amer. – 1956. – Vol.28. – P. 168 – 186.
- 3 Biot M.A. General theory of three dimensional consolidation // Journal of Applied Physics. – 1941. – Vol.12, № 2. – P. 155–164.
- 4 Блиева Д.Н. Обзор исследований в области динамических уравнений пороупругости // Вестник КазННТУ. – 2018. – №2. – С. 400–406.
- 5 Ковтун Ал.А. Об уравнениях модели Био и их модификациях // Вопросы геофизики. – СПб., 2012. – Вып. 44. – С. 3-26.
- 6 Tavakoli A., Ferronato M. On existence–uniqueness of the solution in a nonlinear Bio’s model // Appl. Math. Inf. Sci. – 2013. – Vol.7, № 1. – P. 333–341.
- 7 Carcione J.M., Moreney C., Santos T.E. Computational poroelasticity – A review // GEOPHYSICS. – 2010. – Vol. 75, № 5. – P. 75A229–75A243.
- 8 Био М.А. Механика деформирования и распространения акустических волн в пористой среде // Механика: сб. пер и обзор иностр. литер. – 1963. – № 6. – С.103–134.
- 9 Visualization of simulated flow through porous media // Louisiana State University PoreSim Research Consortium in collaboration with Center for Computational Technology. –2012. –FullHD <https://video/preview/9886452130028727161> (16-01-2024)
- 10 Борисенко А.Н., Тарасов И.Е. Векторный анализ и начала тензорного вычисления. – М.: Высшая школа, 1966. – 250 с.
- 11 Колесов А.Е. Численное моделирование проблем пороупругости: дисс. ... к.ф.–м.н. – Северо–Восточный федеральный университет им. М. К. Аммосова, МОН РФ. – Якутск, 2015. –124 с.
- 12 Муртазина Т.М., Анисимова Л.З., Фахрутдинов И.Р. Влияние разработки месторождений со сверхвязкими нефтями, с нетрадиционными запасами и природных битумов на экологию // Экспозиция нефть газ, 5 (72), - 2019, С. 83-84
- 13 Biot M.A. Mechanics of deformation and acoustics propagation in porous media // J. Appl. Mech. – 1961. – Vol. 23. – P. 1482 – 1498.
- 14 Aki K., Richards P.G. Quantitative Seismology: Theory and methods. – San Francisco: W. H. Freeman and Co., 1980. – Vol.1
- 15 Aziz K., Settati A. Petroleum Reservoir Simulations // Appl. Sci. Publishers Ltd.- London – 1979. – 491p
- 16 Berryman J.G. Confirmation of Biot’s theory // Applied Physical Letters. – 1980. – Vol. 37. – P. 382–384.
- 17 Biondi B., Lumley D., Mavko G., Mukerji T., Rickett J., Deutsch G., Gunderso R., and Thiele M. // Reservoir monitoring: A multi–disciplinary feasibility study // Stanford Rock Physics Project. – 1996. – Vol. 17(10). – P. 1775–1778.

- 18 Wave propagation in an hydrocarbon reservoir during exploitation : A preliminary, integrated study. // Engineering, Environmental Science, Geology – 2007. – Corpus ID:1306641
- 19 Николаевский В.Н., Басниев К.С., Горбунов А.Т., Зотов Г.А. Механика насыщенных пористых сред. – М.: Недра, 1970. – 339 с.
- 20 Николаевский В.Н. Геомеханика и флюидодинамика с приложениями к проблемам газовых и нефтяных пластов. – М.: Недра, 1996. – 447 с.
- 21 Wang H.F. Theory of Linear Poroelasticity with Applications to Geomechanics and Hydrogeology. – Princeton University Pres, 2000. – 286 p.
- 22 Meirmanov A. Mathematical Models for Poroelastic Flows. — Berlin: Springer, 2014. – Vol. 1. – 449 p.
- 23 Самарский А.А., Михайлов А.П. Математическое моделирование. Идеи. Методы. Примеры. – 2-е изд., испр. – М.: Физматлит, 2001. – 320 с.
- 24 Tolstoy Ivan Obituary: Maurice A. Biot // Physics Today. – 1986. – Vol. 39(5). – P. 104–106. DOI:10.1063/1.2815015
- 25 Zimmerman R.W. Compressibility of sandstones // Developments in Petroleum Science. – 1990. – Vol. 29. – 173 p.
- 26 Santos J.E., Corbero J.M., Ravazzoli C.L., Hensley J.L. Reflection and transmission coefficients in fluid-saturated porous media // J. Acoust. Soc. Am. – 1992. – Vol.91. – P. 1911–1923.
- 27 Azi B.–Menahem, Gibson R. Directional attenuation of SH waves in anisotropic poroelastic inhomogeneous media // J. Acoust. Soc. Amer. – 1993. – Vol.93, №6. – P. 3057–3065.
- 28 Berryman J.G. Comparison of Upscaling Methods in Poroelasticity and its Generalizations // Journal of engineering mechanics. – 2005. – Vol. 131, № 9. – P. 928–936.
- 29 Доровский В.Н., Перепечко Ю.В., Роменский Е.И. Волновые процессы в насыщенных пористых упругодеформируемых средах // Физика горения и взрыва. –1993. – №1. – С. 100–111.
- 30 Имомназаров Х.Х., Михайлов А.А. Использование спектрального метода Лагерра для решения линейной двумерной динамической задачи для пористых сред // Сиб. журнал индустр. матем. – 2008. – Т.11, № 3. – http://www.mathnet.ru/php/contents.phtml?wshow=issue&jrnid=sjim&year=2008&volume=11&issue=3&series=0&option_lang=rus С. 86–95.
- 31 Berdyshev A., Imomnazarov Kh., Tang J–G, Mikhailov A. The Laguerre spectral method as applied to numerical solution of a two-dimensional linear dynamic seismic problem for porous media // De Gruyter Open Computer Science. – 2016. – Vol. 6(1). – P. 208–212.
- 32 Konyukh G.V., Mikhailenko B.G. Application of integral Laguerre transformation for solving dynamic seismic problem // Bull. Novosibirsk Comput. Center. Ser. Math. Modeling in Geophysics. – 1998. – № 4. – P. 79–91.
- 33 Mikhailenko B.G. Spectral Laguerre Method for the Approximate Solution of Time Dependent Problems // Applied Mathematics Letters. –1998. – Vol. 12, № 4. –P. 105–110.

34 Mikhailenko B.G., Mikhailov A.A., Reshetova G.V. Numerical Modeling of Transient Seismic Fields in Viscoelastic Media Based on the Laguerre Spectral Method // Pure and applied geophysics. –2003. – Vol.160. – P. 1207–1224.

35 Бердышев А.С., Имомназаров Х.Х. Прямые и обратные задачи для системы уравнений теории двухскоростного континуума МОН РК / КазНПУ имени Абая, ИИКТ. – Алматы, 2017. – 153 с.

36 Blokhin A.M., Dorovsky V.N. Mathematical Modelling in the Theory of Multivelocity Continuum // Nova Sci. – New York, 1995. – 181p.

37 Отчет о научно-исследовательской работе «Математическое моделирование динамики упруго-деформируемых пористых сред с учетом частотной зависимости коэффициента трения (с памятью) (заключительный) AP051321026, РГП ИИВТ МОН РК, Алматы, -2020, 94с.

38 Berdyshev A.S., Aloev R.D., Bliyeva D.N., Dadabayev S., Baishemirov Zh. Stability Analysis of an Upwind Difference Splitting Scheme for Two–Dimensional Saint–Venant Equations //Symmetry Open Access Journal by MDPI. – 2022. – Vol.14(10). – 1986. doi:10.3390/sym14101986

39 Bliyeva D., Baigereyev D., Imomnazarov Kh. Computer Simulation of the Seismic Wave Propagation in Poroelastic Medium // Symmetry Open Access Journal by MDPI. – 2022. – Vol. 14, issue 8. – 1516. doi: <https://doi.org/10.3390/sym14081516>

40 Berdyshev A.S., Abdiramanov Zh.A., Akhtaeva N.S., Bliyeva D.N. A brief overview of modern research of the processes dynamics in unsteady water flows using the shallow water equation // JMMCS. – 2021. – Vol.4(112). – P. 170–180. doi: <https://doi.org/10.26577/JMMCS.2021.v112.i4.15>

41 Бердышев А.С., Блиева Д.Н. Об одном методе исследования математической модели динамической системы уравнений пороупругости // Вестник КазНПУ им.Сатпаева. – 2019. – № 3. – С. 527–533.

42 Блиева Д.Н., Фархадов Т. Численная реализация аналитического решения начально–краевой задачи для системы уравнений динамической пороупругости // Вестник КБТУ. – 2020. – №3. – С. 125–130.

43 Блиева Д.Н. Применение спектрального метода для решения динамических уравнений теории упругости // Сборник статей XV Междун. науч.–практ. конф. «Российская наука в современном мире». – М., 2018. – Ч. 1. – С.75–79. ISBN 978–5–6041034–1–8

44 Бердышев А.С., Блиева Д.Н. Применение преобразования Лапласа для сведения уравнений пороупругости к эллиптической системе уравнений // Научная конференция Института информационных и вычислительных технологий МОН РК «Современные проблемы информатики и вычислительных технологий». – Алматы, 2018. – С.80–83.

45 Imomnazarov Kh.Kh., Berdyshev A.S., Bliyeva D.N. Numerical diagnostics of destruction of the blow–up solution of the initial boundary value problem arising in the incompressible two–velocity medium equation // International Scientific and Practical Conference «Modern world economy: problems and prospects in the era of the development of digital technologies and biotechnology». – 2019. – P.109–115.

46 Imomnazarov Kh.Kh., Berdyshev A.S., Bliyeva D.N. Simulation of the seismic wave propagation in porous media described by three elastic parameters // Thesis at the I Conference on Transfer between Mathematics and Industry (CTMI 2019). – Santiago de Compostela, Spain <http://www.itmati.com/ctmi2019/sites/itmati.com.ctmi2019/files/C01-2vdef.pdf>

47 Berdyshev A.C., Bliyeva D.N. Construction of fundamental system for numeric and analytical solution of dynamic poroelasticity problem // Proceedings of the International Scientific Conference «Inverse problems in finance, economics and life sciences». – Almaty, 2019. – P. 5–12.

48 Berdyshev A.C., Bliyeva D.N. Construction of fundamental solution system for dynamic poroelasticity problem using Laplace–Fourier transform // Матер. IV Междун. науч.–практ. конф. «Информатика и прикладная математика», посвященной 70–летнему юбилею профессоров Биярова Т.Н., Вальдемара Вуйцика и 60–летию профессора Амиргалиева Е.Н. – Алматы, 2019. – P.23–31.

49 Бердышев А.С., Блиева Д.Н. Построение фундаментального решения системы уравнений динамической пороупругости // Матер. научн. конф. ИИВТ МОН РК «Современные проблемы информатики и вычислительных технологий» по результатам НИР по ГФ и ПЦФ за первое полугодие 2020 года. – Алматы, 2020. – С. 99–105.

50 Бердышев А.С., Блиева Д.Н. Компьютерное моделирование численно–аналитического решения динамической задачи пороупругости // Матер. V Междун. науч.–практ. конф. «Информатика и прикладная математика». – Алматы, 2020. – С. 203 – 211. ISBN 978–601–332–384–8

51 Годунов С.К. Уравнения математической физики. – Изд. 2–ое испр. и доп. – М.: Наука, 1979. – 391 с.

52 Шилов Г.Е. Математический анализ. Специальный курс. – Изд. 2–ое. – М.: Гос.издательство математической литературы, 1961. – 433 с.

53 Бесов О.В. Лекции по математическому анализу. – М.: ФИЗМАЛИТ, 2014. – 480 с.

54 Сорокин К.Э., Имомназаров Х.Х. Численное решение линейной двумерной динамической задачи для пористых сред // Journal of Siberian Federal University. Mathematics&Physics. – 2010. – Т. 3(2). – С. 256–261.

55 Имомназаров Х.Х., Михайлов А.А. Применение спектрального метода для численного моделирования распространения сейсмических волн в пористых средах при наличии диссипации энергии // Сиб. журн. вычислительной математики. –2014. – Т.17, №3. – С. 139–147.

56 Волков К.Н. Реализация схемы расщепления на разнесенной сетке для расчета нестационарных течений вязкой несжимаемой жидкости // Вычислительные методы и программирования. – 2005. – Т. 6. – С. 269–282.

57 Peskin C.S. The immersed boundary method //Acta Numerica. – 2002. – Vol.11. – P. 479–517. DOI: 10.1017/S0962492902000077

ПРИЛОЖЕНИЕ А

Код на MatLab для вычисления матриц и собственных значений

Description: This script computes the matrices, the eigenvalues and the eigenvectors associated to the problem in symbolic form

Author: Francisco Javier Fernandez Fernandez/Dana Bliyeva

ANALYTICAL SOLUTION OF THE DYNAMIC POROELASTICITY PROBLEM USING LAPLACE-FOURIER TRANSFORMS. RESOLVABILITY CONDITIONS

Some initializations

```
format short e
```

We declare the symbolic variables

```
syms d0
```

```
syms rho_lf
```

```
syms rho_sf
```

```
syms cp1
```

```
syms cp2
```

```
syms cs
```

```
syms mu
```

```
syms rho_l
```

```
syms rho0
```

```
syms K
```

```
syms s
```

```
syms rho_s
```

```
syms k1
```

```
syms alpha
```

```
syms Fhat_1
```

```
syms Fhat_2
```

We introduce the matrix A

```
A=[mu, 0, 0, 0, 0, 0;...
```

```
0, rho_s*K/rho0+4*mu/3, -rho_s*K/rho0, 0, 0, 0;...
```

```
0, K-alpha*rho_s/rho0, -alpha*rho_l/rho0, 0, 0, 0;...
```

```
0, (rho_s*K/rho0-2*mu/3)/s, -rho_s*K/s/rho0, -1/(1i*k1), 0, 0;...
```

```
0, 0, 0, 0, 1/rho_s, 1/rho0;...
```

```
0, 0, 0, 0, 0, 1/rho0]
```

A =

$$\begin{pmatrix} \mu & 0 & 0 & 0 & 0 & 0 \\ 0 & \frac{4\mu}{3} + \frac{K\rho_s}{\rho_0} & -\frac{K\rho_s}{\rho_0} & 0 & 0 & 0 \\ 0 & K - \frac{\alpha\rho_s}{\rho_0} & -\frac{\alpha\rho_l}{\rho_0} & 0 & 0 & 0 \\ 0 & -\frac{\frac{2\mu}{3} - \frac{K\rho_s}{\rho_0}}{s} & -\frac{K\rho_s}{\rho_0 s} & \frac{i}{k_1} & 0 & 0 \\ 0 & 0 & 0 & 0 & \frac{1}{\rho_s} & \frac{1}{\rho_0} \\ 0 & 0 & 0 & 0 & 0 & \frac{1}{\rho_0} \end{pmatrix}$$

A =

We introduce matrix B

B = [0, $\mu \cdot i \cdot k_1$, 0, s, 0, 0;...

$(\rho_s \cdot K / \rho_0 - 2 \cdot \mu / 3) \cdot i \cdot k_1$, 0, 0, 0, s, $-\rho_s \cdot K \cdot k_1^2 / s / \rho_0^2$;...

$(K - \alpha \cdot \rho_s / \rho_0) \cdot i \cdot k_1$, 0, 0, 0, 0, $-(\alpha \cdot \rho_l \cdot k_1^2 / s / \rho_0 - s)$;...

$(\rho_s \cdot K / \rho_0 + 4 \cdot \mu / 3 + s^2 \cdot \rho_s / k_1^2) \cdot i \cdot k_1 / s$, 0, 0, 0, 0, -

$\rho_s \cdot (K \cdot k_1^2 / s^2 / \rho_0 + 1) / \rho_0$;...

0, s, 0, $i \cdot k_1 / \rho_s$, 0, 0;...

0, 0, s, 0, 0, 0]

B =

$$\begin{pmatrix} 0 & k_1 \mu i & 0 & s & 0 & 0 \\ -k_1 \left(\frac{2\mu i}{3} - \sigma_1 \right) & 0 & 0 & 0 & s & -\frac{K k_1^2 \rho_s}{\rho_0^2 s} \\ k_1 \left(K i - \frac{\alpha \rho_s i}{\rho_0} \right) & 0 & 0 & 0 & 0 & s - \frac{\alpha k_1^2 \rho_l}{\rho_0 s} \\ \frac{k_1 \left(\frac{4\mu i}{3} + \frac{\rho_s s^2 i}{k_1^2} + \sigma_1 \right)}{s} & 0 & 0 & 0 & 0 & -\frac{\rho_s \left(\frac{K k_1^2}{\rho_0 s^2} + 1 \right)}{\rho_0} \\ 0 & s & 0 & \frac{k_1 i}{\rho_s} & 0 & 0 \\ 0 & 0 & s & 0 & 0 & 0 \end{pmatrix}$$

where

$$\sigma_1 = \frac{K \rho_s i}{\rho_0}$$

We introduce matrix C

C = [0;...

$\rho_s \cdot K \cdot i \cdot k_1 \cdot \text{Fhat}_1 / (s \cdot \rho_0)$;...

$\alpha \cdot \rho_l \cdot i \cdot k_1 \cdot \text{Fhat}_1 / s / \rho_0$;...

$\rho_s \cdot (K \cdot i \cdot k_1 / s^2 - \rho_0 / i / k_1) \cdot \text{Fhat}_1 / \rho_0$;...

Fhat_2;...
Fhat_2]

$$C = \begin{pmatrix} 0 \\ \frac{\text{Fhat}_1 K k_1 \rho_s i}{\rho_0 s} \\ \frac{\text{Fhat}_1 \alpha k_1 \rho_l i}{\rho_0 s} \\ \frac{\text{Fhat}_1 \rho_s \left(\frac{\rho_0 i}{k_1} + \frac{K k_1 i}{s^2} \right)}{\rho_0} \\ \text{Fhat}_2 \\ \text{Fhat}_2 \end{pmatrix}$$

We compute the inverse of matrix A^{-1}

$A_{inv} = \text{inv}(A)$;

$A_{inv} = \text{simplify}(A_{inv})$

$A_{inv} =$

$$\begin{pmatrix} \frac{1}{\mu} & 0 & 0 & 0 & 0 & 0 \\ 0 & \frac{3 \alpha \rho_0 \rho_l}{\sigma_1} & -\frac{3 K \rho_0 \rho_s}{\sigma_1} & 0 & 0 & 0 \\ 0 & \frac{3 \rho_0 (K \rho_0 - \alpha \rho_s)}{\sigma_1} & -\frac{\rho_0 (3 K \rho_s + 4 \mu \rho_0)}{\sigma_1} & 0 & 0 & 0 \\ 0 & \frac{k_1 (-\sigma_2 + \sigma_3 + \sigma_4 - 2 \alpha \mu \rho_0 \rho_l) i}{s \sigma_1} & \frac{6 K k_1 \mu \rho_0 \rho_s i}{s \sigma_1} & -k_1 i & 0 & 0 \\ 0 & 0 & 0 & 0 & \rho_s & -\rho_s \\ 0 & 0 & 0 & 0 & 0 & \rho_0 \end{pmatrix}$$

where

$$\sigma_1 = -\sigma_2 + \sigma_3 + \sigma_4 + 4 \alpha \mu \rho_0 \rho_l$$

$$\sigma_2 = 3 \rho_0 K^2 \rho_s$$

$$\sigma_3 = 3 \alpha K \rho_s^2$$

$$\sigma_4 = 3 \alpha \rho_l K \rho_s$$

$A_{inv} =$

We calculate the matrix B1 of the cononical form of the system:

$B1 = A_{inv} * B$

$B1 =$

$$\left(\begin{array}{cccc|cccc} 0 & & k_1 i & 0 & \frac{s}{\mu} & 0 & & 0 \\ & \frac{k_1 (-3i \rho_0 K^2 \rho_s + 3i \alpha K \rho_s^2 + 3i \alpha \rho_0 K \rho_s - 2 \alpha \mu \rho_0 \rho_l i)}{\sigma_1} & & & & & \frac{3 \alpha \rho_0 \rho_l s}{\sigma_1} & \frac{-3 K \rho_s (-\alpha \rho_l k_1^2 \rho_0 + \alpha \rho_l k_1^2 + \rho_0^2 s^2)}{\rho_0 s \sigma_1} \\ & \frac{-6 k_1 \mu \rho_0 (K \rho_0 i - \alpha \rho_s i)}{\sigma_1} & & & & & \frac{3 \rho_0 s (K \rho_0 - \alpha \rho_s)}{\sigma_1} & \frac{-3 K^2 k_1^2 \rho_0 \rho_s - 3 \alpha \rho_0 K k_1^2 \rho_0 \rho_s - 3 \alpha K k_1^2 \rho_s^2 + 3 K \rho_0^2 \rho_s s^2 - 4 \alpha \mu \rho_l k_1^2 \rho_0^2 + 4 \mu \rho_0^3 s^2}{\rho_0 s \sigma_1} \\ -12 \rho_0 K^2 k_1^2 \mu \rho_s - 3 \rho_0 K^2 \rho_s^2 s^2 + 12 \alpha K k_1^2 \mu \rho_s^2 + 12 \alpha \rho_0 K k_1^2 \mu \rho_s + 3 \alpha K \rho_s^3 s^2 + 3 \alpha \rho_0 K \rho_s^2 s^2 + 4 \alpha \rho_0 \rho_l k_1^2 \mu^2 + 4 \alpha \rho_0 \mu \rho_l s^2 & & 0 & 0 & 0 & k_1 (-\sigma_2 + \sigma_3 + \sigma_4 - 2 \alpha \mu \rho_0 \rho_l) i & k_1 \rho_s (-3 K^2 \rho_0 \rho_s s^2 i - 6 i \alpha \mu \rho_l K k_1^2 \rho_0 + 6 i \alpha \mu \rho_l K k_1^2 + 6 i \mu K \rho_0^2 s^2 + 3 i \alpha K \rho_s^2 s^2 + 3 i \alpha \rho_0 K \rho_s s^2 + 4 i \alpha \mu \rho_l \rho_0 s^2) & \\ & & & & & & & \frac{\rho_0 s^2 \sigma_1}{\rho_0 s^2 \sigma_1} \\ 0 & & \rho_s s & -\rho_s s & k_1 i & 0 & & 0 \\ 0 & & 0 & \rho_0 s & 0 & 0 & & 0 \end{array} \right)$$

where

$$\sigma_1 = -\sigma_3 + \sigma_4 + 4 \alpha \mu \rho_0 \rho_l$$

$$\sigma_2 = 3 \rho_0 K^2 \rho_s$$

$$\sigma_3 = 3 \alpha K \rho_s^2$$

$$\sigma_4 = 3 \alpha \rho_0 K \rho_s$$

$$\left(\begin{array}{cccc|cccc} 0 & & k_1 i & 0 & \frac{s}{\mu} & 0 & & 0 \\ & \frac{-3 K k_1 \rho_0 \rho_s \sigma_2}{\sigma_5} - \frac{3 \alpha k_1 \rho_0 \rho_l \sigma_7}{\sigma_5} & & & & & \frac{3 \alpha \rho_0 \rho_l s}{\sigma_5} & \frac{-3 K \rho_0 \rho_s \sigma_1}{\sigma_5} - \frac{3 K \alpha k_1^2 \rho_l \rho_s}{\rho_0 s \sigma_5} \\ & \frac{-3 k_1 \rho_0 \sigma_7 \sigma_3}{\sigma_5} - \frac{k_1 \rho_0 \sigma_2 \sigma_4}{\sigma_5} & & & & & \frac{3 \rho_0 s \sigma_3}{\sigma_5} & \frac{-\rho_0 \sigma_1 \sigma_4}{\sigma_5} - \frac{3 K k_1^2 \rho_s \sigma_3}{\rho_0 s \sigma_5} \\ -\frac{k_1^2 \left(\frac{4 \mu i}{3} + \frac{\rho_s s^2 i}{k_1^2} + \sigma_{11} \right) i}{s} - \frac{k_1^2 \sigma_7 \sigma_6 i}{s \sigma_5} + \frac{6 K k_1^2 \mu \rho_0 \rho_s \sigma_2 i}{s \sigma_5} & & 0 & 0 & 0 & \frac{k_1 \sigma_6 i}{\sigma_5} & \frac{k_1 \rho_s \left(\frac{K k_1^2}{\rho_0 s^2} + 1 \right) i}{\rho_0} - \frac{K k_1^3 \rho_s \sigma_6 i}{\rho_0^2 s^2 \sigma_5} + \frac{6 K k_1 \mu \rho_0 \rho_s \sigma_1 i}{s \sigma_5} \\ & & 0 & \rho_s s & -\rho_s s & k_1 i & 0 & 0 \\ & & 0 & 0 & \rho_0 s & 0 & 0 & 0 \end{array} \right)$$

where

$$\sigma_1 = s - \frac{\alpha k_1^2 \rho_l}{\rho_0 s}$$

$$\sigma_2 = K i - \frac{\alpha \rho_s i}{\rho_0}$$

$$\sigma_3 = K \rho_0 - \alpha \rho_s$$

$$\sigma_4 = 3 K \rho_s + 4 \mu \rho_0$$

$$\sigma_5 = -\sigma_8 + \sigma_9 + \sigma_{10} + 4 \alpha \mu \rho_0 \rho_l$$

$$\sigma_6 = -\sigma_8 + \sigma_9 + \sigma_{10} - 2 \alpha \mu \rho_0 \rho_l$$

$$\sigma_7 = \frac{2 \mu i}{3} - \sigma_{11}$$

$$\sigma_8 = 3 \rho_0 K^2 \rho_s$$

$$\sigma_9 = 3 \alpha K \rho_s^2$$

$$\sigma_{10} = 3 \alpha \rho_l K \rho_s$$

$$\sigma_{11} = \frac{K \rho_s i}{\rho_0}$$

B1 =

simplify(B1)

ans =

ans =

We calculate the matrix C1 of the cononical form

$$C1 = A_{inv} * C$$

$$C1 =$$

$$\begin{pmatrix} 0 \\ 0 \\ -\frac{\text{Fhat}_1 \alpha k_1 \rho_l (3 K \rho_s + 4 \mu \rho_0) i}{s \sigma_1} + \frac{3 \text{Fhat}_1 K k_1 \rho_s (K \rho_0 - \alpha \rho_s) i}{s \sigma_1} \\ -\frac{\text{Fhat}_1 K k_1^2 \rho_s (-\sigma_2 + \sigma_3 + \sigma_4 - 2 \alpha \mu \rho_0 \rho_l)}{\rho_0 s^2 \sigma_1} - \frac{6 \text{Fhat}_1 K \alpha k_1^2 \mu \rho_l \rho_s}{s^2 \sigma_1} - \frac{\text{Fhat}_1 k_1 \rho_s \left(\frac{\rho_0 i}{k_1} + \frac{K k_1 i}{s^2} \right) i}{\rho_0} \\ 0 \\ \text{Fhat}_2 \rho_0 \end{pmatrix}$$

where

$$\sigma_1 = -\sigma_2 + \sigma_3 + \sigma_4 + 4 \alpha \mu \rho_0 \rho_l$$

$$\sigma_2 = 3 \rho_0 K^2 \rho_s$$

$$\sigma_3 = 3 \alpha K \rho_s^2$$

$$\sigma_4 = 3 \alpha \rho_l K \rho_s$$

$$C1 =$$

Partial density of porous medium

$$\rho_{s0} = \rho_{sf} * (1 - d_0);$$

Partial density of liquid medium

$$\rho_{l0} = \rho_{lf} * d_0;$$

Density

$$\rho_{00} = \rho_{s0} + \rho_{l0};$$

We introduce formulas for parameters K, mu,

$$K = (\rho_{00}/2) * (\rho_{s0}/\rho_{l0}) * (cp1^2 + cp2^2 - (8/3) * (\rho_{l0}/\rho_{00}) * cs^2 - \dots \\ \sqrt{(cp1^2 - cp2^2)^2 - (64/9) * (\rho_{l0} * \rho_{s0}/\rho_{00}^2) * cs^4});$$

% 3rd elastic module of Dorovsky model:

$$\gamma = \rho_{00}/2 * (cp1^2 + cp2^2 - (8/3) * (\rho_{s0}/\rho_{00}) * cs^2 + \dots \\ \sqrt{(cp1^2 - cp2^2)^2 - (64/9) * (\rho_{l0} * \rho_{s0}/\rho_{00}^2) * cs^4});$$

Bulk compression modulus of the liquid component of heterophase medium

$$\alpha = \gamma + K$$

$$\alpha =$$

$$\sigma_2 \left(\sigma_1 + cp_1^2 + cp_2^2 + \frac{8 cs^2 \rho_{sf} (d_0 - 1)}{\sigma_3} \right) + \frac{\rho_{sf} \sigma_2 (d_0 - 1) \left(\sigma_1 - cp_1^2 - cp_2^2 + \frac{8 cs^2 d_0 \rho_{sf}}{\sigma_3} \right)}{d_0 \rho_{lf}}$$

where

$$\sigma_1 = \sqrt{(cp_1^2 - cp_2^2)^2 + \frac{64 cs^4 d_0 \rho_{lf} \rho_{sf} (d_0 - 1)}{9 (d_0 \rho_{lf} - \rho_{sf} (d_0 - 1))^2}}$$

$$\sigma_2 = \frac{d_0 \rho_{lf}}{2} - \frac{\rho_{sf} (d_0 - 1)}{2}$$

$$\sigma_3 = 3 (d_0 \rho_{lf} - \rho_{sf} (d_0 - 1))$$

alpha =

1st elastic module of Dorovsky model:

mu=rho_s*cs^2;

We compute the eigenvalues of matrix B1

tau=eig(B1)

tau =

$$\begin{pmatrix} \sigma_1 \\ -\sigma_3 \\ \sigma_2 \\ -\sigma_1 \\ -\sigma_2 \\ \sigma_3 \end{pmatrix}$$

where

$$\sigma_1 = \sqrt{\frac{\mu k_1^2 + \rho_s s^2}{\mu}}$$

$$\sigma_2 = \sqrt{\frac{\sigma_{11} - \sigma_{14} - \sigma_4 - \sigma_8 - \sigma_7 + \sigma_{10} + \sigma_6 + \sigma_{13} + \sigma_{15} + \sigma_{12} + \sigma_9}{\sigma_5}}$$

$$\sigma_3 = \sqrt{\frac{\sigma_4 - \sigma_{14} + \sigma_{11} - \sigma_8 - \sigma_7 + \sigma_{10} + \sigma_6 + \sigma_{13} + \sigma_{15} + \sigma_{12} + \sigma_9}{\sigma_5}}$$

$$\sigma_4 = \sqrt{9 K^2 \alpha^2 k_1^4 \rho_0^2 \rho_l^2 \rho_s^2 - 18 K^2 \alpha^2 k_1^4 \rho_0 \rho_l^2 \rho_s^2 + 9 K^2 \alpha^2 k_1^4 \rho_l^2 \rho_s^2 + 24 K \alpha^2 k_1^4 \mu \rho_0^3 \rho_l^2 \rho_s - 48 K \alpha^2 k_1^4 \mu \rho_0^2 \rho_l^2 \rho_s + 24 K \alpha^2 k_1^4 \mu \rho_0 \rho_l^2 \rho_s}$$

$$\sigma_5 = 2 (-3 \rho_0 K^2 \rho_s + 3 \alpha K \rho_s^2 + 3 \alpha \rho_l K \rho_s + 4 \alpha \mu \rho_0 \rho_l)$$

$$\sigma_6 = 4 \alpha k_1^2 \mu \rho_0^2 \rho_l$$

$$\sigma_7 = 6 K \rho_0^2 \rho_s s^2$$

$$\sigma_8 = 6 K^2 k_1^2 \rho_0 \rho_s$$

$$\sigma_9 = 3 K \alpha k_1^2 \rho_0 \rho_l \rho_s$$

$$\sigma_{10} = 3 \alpha \rho_0 \rho_s^2 s^2$$

$$\sigma_{11} = 6 K \alpha k_1^2 \rho_s^2$$

$$\sigma_{12} = 3 \alpha \rho_0 \rho_l \rho_s s^2$$

$$\sigma_{13} = 3 K \alpha k_1^2 \rho_l \rho_s$$

$$\sigma_{14} = 4 \mu \rho_0^3 s^2$$

$$\sigma_{15} = 4 \alpha k_1^2 \mu \rho_0 \rho_l$$

tau =

We compute the eigenvectors

```
v1=null(B1-tau(1)*eye(6));
```

```
v2=null(B1-tau(2)*eye(6));
```

```
v3=null(B1-tau(3)*eye(6));
```

```
v4=null(B1-tau(4)*eye(6));
```

```
v5=null(B1-tau(5)*eye(6));
```

```
v6=null(B1-tau(6)*eye(6));
```

```
P=[v1 v2 v3 v4 v5 v6];
```

We calculate the matrix to obtain the coefficients

```
Q=rref([P,eye(6)]);
```

```
R=Q(1:3,7:9);
```

```
R=simplify(R)
```

```
R =
```

```
[P,J,P1]=svd(B1);
```

```
J=simplify(J)
```

```
P=simplify(P)
```

```
P1=simplify(P1)
```

ПРИЛОЖЕНИЕ Б

Код программного комплекса для моделирования процесса распространения акустических волн во флюидонасыщенной пористой среде на языке программирования Julia выглядит следующим образом:

```
Welcome | Working FDM_September_11.jl | Welcome Guide
1 using OffsetArrays
2 using Base.Threads
3
4 #-----
5 # Given
6 #-----
7 # Domain
8 const Ax1, Bx1 = 0.0, 100.0
9 const Ax2, Bx2 = 0.0, 100.0
10 const At, Bt = 0.0, 1.0
11
12 const L1, L2 = 15.0, 75.0
13
14 # Mesh
15 const Nx1, Nx2 = 400, 400
16 const LastTimeLayer = 100000
17
18 # Media properties
19 const rho_sf_porous = 1500.0
20 const rho_lf_porous = 1000.0
21 const cp1_porous = 2000.0
22 const cp2_porous = 450.0
23 const cs_porous = 1400.0
24 const d0_porous = 0.2
25
26 const rho_sf_elast = 1200.0
27 const cp1_elast = 1400.0
28 const cs_elast = 1300.0
29
30 const h1, h2 = (Bx1 - Ax1) / Nx1, (Bx2 - Ax2) / Nx2
31 const Nl = 20.0
32 const gamma = 4.0
33
34
35
36
37
38
39
40
41
42
43
44
45
46
47
48
49
50
51
52
53
54
55
56
57
58
59
60
61
62
63
64
65
66
67
68
69
70
71
72
73
74
75
76
77
78
79
80
81
82
83
84
85
86
87
88
89
90
91
92
93
94
95
96
97
98
99
100
101
102
103
104
105
106
107
108
109
110
111
112
113
114
115
116
117
118
119
120
121
122
123
124
125
126
127
128
129
130
131
132
133
134
135
136
137
138
139
140
141
142
143
144
145
146
147
148
149
150
151
152
153
154
155
156
157
158
159
160
161
162
163
164
165
166
167
168
169
170
171
172
173
174
175
176
177
178
179
180
181
182
183
184
185
186
187
188
189
190
191
192
193
194
195
196
197
198
199
200
201
202
203
204
205
206
207
208
209
210
211
212
213
214
215
216
217
218
219
220
221
222
223
224
225
226
227
228
229
230
231
232
233
234
235
236
237
238
239
240
241
242
243
244
245
246
247
248
249
250
251
252
253
254
255
256
257
258
259
260
261
262
263
264
265
266
267
268
269
270
271
272
273
274
275
276
277
278
279
280
281
282
283
284
285
286
287
288
289
290
291
292
293
294
295
296
297
298
299
300
301
302
303
304
305
306
307
308
309
310
311
312
313
314
315
316
317
318
319
320
321
322
323
324
325
326
327
328
329
330
331
332
333
334
335
336
337
338
339
340
341
342
343
344
345
346
347
348
349
350
351
352
353
354
355
356
357
358
359
360
361
362
363
364
365
366
367
368
369
370
371
372
373
374
375
376
377
378
379
380
381
382
383
384
385
386
387
388
389
390
391
392
393
394
395
396
397
398
399
400
401
402
403
404
405
406
407
408
409
410
411
412
413
414
415
416
417
418
419
420
421
422
423
424
425
426
427
428
429
430
431
432
433
434
435
436
437
438
439
440
441
442
443
444
445
446
447
448
449
450
451
452
453
454
455
456
457
458
459
460
461
462
463
464
465
466
467
468
469
470
471
472
473
474
475
476
477
478
479
480
481
482
483
484
485
486
487
488
489
490
491
492
493
494
495
496
497
498
499
500
501
502
503
504
505
506
507
508
509
510
511
512
513
514
515
516
517
518
519
520
521
522
523
524
525
526
527
528
529
530
531
532
533
534
535
536
537
538
539
540
541
542
543
544
545
546
547
548
549
550
551
552
553
554
555
556
557
558
559
560
561
562
563
564
565
566
567
568
569
570
571
572
573
574
575
576
577
578
579
580
581
582
583
584
585
586
587
588
589
590
591
592
593
594
595
596
597
598
599
600
601
602
603
604
605
606
607
608
609
610
611
612
613
614
615
616
617
618
619
620
621
622
623
624
625
626
627
628
629
630
631
632
633
634
635
636
637
638
639
640
641
642
643
644
645
646
647
648
649
650
651
652
653
654
655
656
657
658
659
660
661
662
663
664
665
666
667
668
669
670
671
672
673
674
675
676
677
678
679
680
681
682
683
684
685
686
687
688
689
690
691
692
693
694
695
696
697
698
699
700
701
702
703
704
705
706
707
708
709
710
711
712
713
714
715
716
717
718
719
720
721
722
723
724
725
726
727
728
729
730
731
732
733
734
735
736
737
738
739
740
741
742
743
744
745
746
747
748
749
750
751
752
753
754
755
756
757
758
759
760
761
762
763
764
765
766
767
768
769
770
771
772
773
774
775
776
777
778
779
780
781
782
783
784
785
786
787
788
789
790
791
792
793
794
795
796
797
798
799
800
801
802
803
804
805
806
807
808
809
810
811
812
813
814
815
816
817
818
819
820
821
822
823
824
825
826
827
828
829
830
831
832
833
834
835
836
837
838
839
840
841
842
843
844
845
846
847
848
849
850
851
852
853
854
855
856
857
858
859
860
861
862
863
864
865
866
867
868
869
870
871
872
873
874
875
876
877
878
879
880
881
882
883
884
885
886
887
888
889
890
891
892
893
894
895
896
897
898
899
900
901
902
903
904
905
906
907
908
909
910
911
912
913
914
915
916
917
918
919
920
921
922
923
924
925
926
927
928
929
930
931
932
933
934
935
936
937
938
939
940
941
942
943
944
945
946
947
948
949
950
951
952
953
954
955
956
957
958
959
960
961
962
963
964
965
966
967
968
969
970
971
972
973
974
975
976
977
978
979
980
981
982
983
984
985
986
987
988
989
990
991
992
993
994
995
996
997
998
999
1000
1001
1002
1003
1004
1005
1006
1007
1008
1009
1010
1011
1012
1013
1014
1015
1016
1017
1018
1019
1020
1021
1022
1023
1024
1025
1026
1027
1028
1029
1030
1031
1032
1033
1034
1035
1036
1037
1038
1039
1040
1041
1042
1043
1044
1045
1046
1047
1048
1049
1050
1051
1052
1053
1054
1055
1056
1057
1058
1059
1060
1061
1062
1063
1064
1065
1066
1067
1068
1069
1070
1071
1072
1073
1074
1075
1076
1077
1078
1079
1080
1081
1082
1083
1084
1085
1086
1087
1088
1089
1090
1091
1092
1093
1094
1095
1096
1097
1098
1099
1100
1101
1102
1103
1104
1105
1106
1107
1108
1109
1110
1111
1112
1113
1114
1115
1116
1117
1118
1119
1120
1121
1122
1123
1124
1125
1126
1127
1128
1129
1130
1131
1132
1133
1134
1135
1136
1137
1138
1139
1140
1141
1142
1143
1144
1145
1146
1147
1148
1149
1150
1151
1152
1153
1154
1155
1156
1157
1158
1159
1160
1161
1162
1163
1164
1165
1166
1167
1168
1169
1170
1171
1172
1173
1174
1175
1176
1177
1178
1179
1180
1181
1182
1183
1184
1185
1186
1187
1188
1189
1190
1191
1192
1193
1194
1195
1196
1197
1198
1199
1200
1201
1202
1203
1204
1205
1206
1207
1208
1209
1210
1211
1212
1213
1214
1215
1216
1217
1218
1219
1220
1221
1222
1223
1224
1225
1226
1227
1228
1229
1230
1231
1232
1233
1234
1235
1236
1237
1238
1239
1240
1241
1242
1243
1244
1245
1246
1247
1248
1249
1250
1251
1252
1253
1254
1255
1256
1257
1258
1259
1260
1261
1262
1263
1264
1265
1266
1267
1268
1269
1270
1271
1272
1273
1274
1275
1276
1277
1278
1279
1280
1281
1282
1283
1284
1285
1286
1287
1288
1289
1290
1291
1292
1293
1294
1295
1296
1297
1298
1299
1300
1301
1302
1303
1304
1305
1306
1307
1308
1309
1310
1311
1312
1313
1314
1315
1316
1317
1318
1319
1320
1321
1322
1323
1324
1325
1326
1327
1328
1329
1330
1331
1332
1333
1334
1335
1336
1337
1338
1339
1340
1341
1342
1343
1344
1345
1346
1347
1348
1349
1350
1351
1352
1353
1354
1355
1356
1357
1358
1359
1360
1361
1362
1363
1364
1365
1366
1367
1368
1369
1370
1371
1372
1373
1374
1375
1376
1377
1378
1379
1380
1381
1382
1383
1384
1385
1386
1387
1388
1389
1390
1391
1392
1393
1394
1395
1396
1397
1398
1399
1400
1401
1402
1403
1404
1405
1406
1407
1408
1409
1410
1411
1412
1413
1414
1415
1416
1417
1418
1419
1420
1421
1422
1423
1424
1425
1426
1427
1428
1429
1430
1431
1432
1433
1434
1435
1436
1437
1438
1439
1440
1441
1442
1443
1444
1445
1446
1447
1448
1449
1450
1451
1452
1453
1454
1455
1456
1457
1458
1459
1460
1461
1462
1463
1464
1465
1466
1467
1468
1469
1470
1471
1472
1473
1474
1475
1476
1477
1478
1479
1480
1481
1482
1483
1484
1485
1486
1487
1488
1489
1490
1491
1492
1493
1494
1495
1496
1497
1498
1499
1500
1501
1502
1503
1504
1505
1506
1507
1508
1509
1510
1511
1512
1513
1514
1515
1516
1517
1518
1519
1520
1521
1522
1523
1524
1525
1526
1527
1528
1529
1530
1531
1532
1533
1534
1535
1536
1537
1538
1539
1540
1541
1542
1543
1544
1545
1546
1547
1548
1549
1550
1551
1552
1553
1554
1555
1556
1557
1558
1559
1560
1561
1562
1563
1564
1565
1566
1567
1568
1569
1570
1571
1572
1573
1574
1575
1576
1577
1578
1579
1580
1581
1582
1583
1584
1585
1586
1587
1588
1589
1590
1591
1592
1593
1594
1595
1596
1597
1598
1599
1600
1601
1602
1603
1604
1605
1606
1607
1608
1609
1610
1611
1612
1613
1614
1615
1616
1617
1618
1619
1620
1621
1622
1623
1624
1625
1626
1627
1628
1629
1630
1631
1632
1633
1634
1635
1636
1637
1638
1639
1640
1641
1642
1643
1644
1645
1646
1647
1648
1649
1650
1651
1652
1653
1654
1655
1656
1657
1658
1659
1660
1661
1662
1663
1664
1665
1666
1667
1668
1669
1670
1671
1672
1673
1674
1675
1676
1677
1678
1679
1680
1681
1682
1683
1684
1685
1686
1687
1688
1689
1690
1691
1692
1693
1694
1695
1696
1697
1698
1699
1700
1701
1702
1703
1704
1705
1706
1707
1708
1709
1710
1711
1712
1713
1714
1715
1716
1717
1718
1719
1720
1721
1722
1723
1724
1725
1726
1727
1728
1729
1730
1731
1732
1733
1734
1735
1736
1737
1738
1739
1740
1741
1742
1743
1744
1745
1746
1747
1748
1749
1750
1751
1752
1753
1754
1755
1756
1757
1758
1759
1760
1761
1762
1763
1764
1765
1766
1767
1768
1769
1770
1771
1772
1773
1774
1775
1776
1777
1778
1779
1780
1781
1782
1783
1784
1785
1786
1787
1788
1789
1790
1791
1792
1793
1794
1795
1796
1797
1798
1799
1800
1801
1802
1803
1804
1805
1806
1807
1808
1809
1810
1811
1812
1813
1814
1815
1816
1817
1818
1819
1820
1821
1822
1823
1824
1825
1826
1827
1828
1829
1830
1831
1832
1833
1834
1835
1836
1837
1838
1839
1840
1841
1842
1843
1844
1845
1846
1847
1848
1849
1850
1851
1852
1853
1854
1855
1856
1857
1858
1859
1860
1861
1862
1863
1864
1865
1866
1867
1868
1869
1870
1871
1872
1873
1874
1875
1876
1877
1878
1879
1880
1881
1882
1883
1884
1885
1886
1887
1888
1889
1890
1891
1892
1893
1894
1895
1896
1897
1898
1899
1900
1901
1902
1903
1904
1905
1906
1907
1908
1909
1910
1911
1912
1913
1914
1915
1916
1917
1918
1919
1920
1921
1922
1923
1924
1925
1926
1927
1928
1929
1930
1931
1932
1933
1934
1935
1936
1937
1938
1939
1940
1941
1942
1943
1944
1945
1946
1947
1948
1949
1950
1951
1952
1953
1954
1955
1956
1957
1958
1959
1960
1961
1962
1963
1964
1965
1966
1967
1968
1969
1970
1971
1972
1973
1974
1975
1976
1977
1978
1979
1980
1981
1982
1983
1984
1985
1986
1987
1988
1989
1990
1991
1992
1993
1994
1995
1996
1997
1998
1999
2000
2001
2002
2003
2004
2005
2006
2007
2008
2009
2010
2011
2012
2013
2014
2015
2016
2017
2018
2019
2020
2021
2022
2023
2024
2025
2026
2027
2028
2029
2030
2031
2032
2033
2034
2035
2036
2037
2038
2039
2040
2041
2042
2043
2044
2045
2046
2047
2048
2049
2050
2051
2052
2053
2054
2055
2056
2057
2058
2059
2060
2061
2062
2063
2064
2065
2066
2067
2068
2069
2070
2071
2072
2073
2074
2075
2076
2077
2078
2079
2080
2081
2082
2083
2084
2085
2086
2087
2088
2089
2090
2091
2092
2093
2094
2095
2096
2097
2098
2099
2100
2101
2102
2103
2104
2105
2106
2107
2108
2109
2110
2111
2112
2113
2114
2115
2116
2117
2118
2119
2120
2121
2122
2123
2124
2125
2126
2127
2128
2129
2130
2131
2132
2133
2134
2135
2136
2137
2138
2139
2140
2141
2142
2143
2144
2145
2146
2147
2148
2149
2150
2151
2152
2153
2154
2155
2156
2157
2158
2159
2160
2161
2162
2163
2164
2165
2166
2167
2168
2169
2170
2171
2172
2173
2174
2175
2176
2177
2178
2179
2180
2181
2182
2183
2184
2185
2186
2187
2188
2189
2190
2191
2192
2193
2194
2195
2196
2197
2198
2199
2200
2201
2202
2203
2204
2205
2206
2207
2208
2209
2210
2211
2212
2213
2214
2215
2216
2217
2218
2219
2220
2221
2222
2223
2224
2225
2226
2227
2228
2229
2230
2231
2232
2233
2234
2235
2236
2237
2238
2239
2240
2241
2242
2243
2244
2245
2246
2247
2248
2249
2250
2251
2252
2253
2254
2255
2256
2257
2258
2259
2260
2261
2262
2263
2264
2265
2266
2267
2268
2269
2270
2271
2272
2273
2274
2275
2276
2277
2278
2279
2280
2281
2282
2283
2284
2285
2286
2287
2288
2289
2290
2291
2292
2293
2294
2295
2296
2297
2298
2299
2300
2301
2302
2303
2304
2305
2306
2307
2308
2309
2310
2311
2312
2313
2314
2315
2316
2317
2318
2319
2320
2321
2322
2323
2324
2325
2326
2327
2328
2329
2330
2331
2332
2333
2334
2335
2336
2337
2338
2339
2340
2341
2342
2343
2344
2345
2346
2347
2348
2349
2350
2351
2352
2353
2354
2355
2356
2357
2358
2359
2360
2361
2362
2363
2364
2365
2366
2367
2368
2369
2370
2371
2372
2373
2374
2375
2376
2377
2378
2379
2380
2381
2382
2383
2384
2385
2386
2387
2388
2389
2390
2391
2392
2393
2394
2395
2396
2397
2398
2399
2400
2401
2402
2403
2404
2405
2406
2407
2408
2409
2410
2411
2412
2413
2414
2415
2416
2417
2418
2419
2420
2421
2422
2423
2424
2425
2426
2427
2428
2429
2430
2431
2432
2433
2434
2435
2436
2437
2438
2439
2440
2441
2442
2443
2444
2445
2446
2447
2448
2449
2450
2451
2452
2453
2454
2455
2456
2457
2458
2459
2460
2461
2462
2463
2464
2465
2466
2467
2468
2469
2470
2471
2472
2473
2474
2475
2476
2477
2478
2479
2480
2481
2482
2483
2484
2485
2486
2487
2488
2489
2490
2491
2492
2493
2494
2495
2496
2497
2498
2499
2500
2501
2502
2503
2504
2505
2506
2507
2508
2509
2510
2511
2512
2513
2514
2515
2516
2517
2518
2519
2520
2521
2522
2523
2524
2525
2526
2527
2528
2529
2530
2531
2532
2533
2534
2535
2536
2537
2538
2539
2540
2541
2542
2543
2544
2545
2546
2547
2548
2549
2550
2551
2552
2553
2554
2555
2556
2557
2558
2559
2560
2561
2562
2563
2564
2565
2566
2567
2568
2569
2570
2571
2572
2573
2574
2575
2576
2577
2578
2579
2580
2581
2582
2583
2584
2585
2586
2587
2588
2589
2590
2591
2592
2593
2594
2595
2596
2597
2598
2599
2600
2601
2602
2603
2604
2605
2606
2607
2608
2609
2610
2611
2
```

```

Welcome | Working FDM_September_11.jl | Welcome Guide
32 const  $\gamma = 4.0$ 
33 const  $f_0 = c_{s\_porous} / (h_1 * NL)$ 
34 const  $t_0 = 1.0 / f_0$ 
35 const  $\tau = 0.00009 * h_1 / \text{sqrt}(2.0 * c_{p1\_porous})$ 
36 const  $x_{10}, x_{20} = 50.0, 14.0$ 
37
38 function f(t::Float64)
39     if t <= 2.0 *  $t_0$ 
40          $-2.0 * \pi^2.0 * f_0^2.0 * (t-t_0) * \text{exp}(-\pi^2.0 * f_0^2.0 * (t-t_0)^2.0$ 
41     else
42         0.0
43     end
44 end
45
46 #-----
47 # Arrays
48 #-----
49 const  $p_{0sf} = \text{zeros}(0 : Nx_2)$ 
50 const  $p_{0lf} = \text{zeros}(0 : Nx_2)$ 
51 const  $d_0 = \text{zeros}(0 : Nx_2)$ 
52 const  $cp_1 = \text{zeros}(0 : Nx_2)$ 
53 const  $cp_2 = \text{zeros}(0 : Nx_2)$ 
54 const  $cs = \text{zeros}(0 : Nx_2)$ 
55 const  $\rho_{0s} = \text{zeros}(0 : Nx_2)$ 
56 const  $\rho_{0l} = \text{zeros}(0 : Nx_2)$ 
57 const  $\rho_0 = \text{zeros}(0 : Nx_2)$ 
58 const  $\mu = \text{zeros}(0 : Nx_2)$ 
59 const  $K = \text{zeros}(0 : Nx_2)$ 
60 const  $\alpha_3 = \text{zeros}(0 : Nx_2)$ 
61 const  $\alpha = \text{zeros}(0 : Nx_2)$ 
62
63 const  $u_1 = \text{zeros}(0 : Nx_1, 0 : Nx_2)$ 
64
Press Enter to start Julia.

```

```

Welcome | Working FDM_September_11.jl | Welcome Guide
64 const  $u_2 = \text{zeros}(0 : Nx_1, 0 : Nx_2)$ 
65 const  $v_1 = \text{zeros}(0 : Nx_1, 0 : Nx_2-1)$ 
66 const  $v_2 = \text{zeros}(0 : Nx_1, 0 : Nx_2-1)$ 
67 const  $\sigma_{11} = \text{zeros}(0 : Nx_1, 0 : Nx_2)$ 
68 const  $\sigma_{12} = \text{zeros}(0 : Nx_1, 0 : Nx_2)$ 
69 const  $\sigma_{22} = \text{zeros}(0 : Nx_1, 0 : Nx_2)$ 
70 const  $p = \text{zeros}(0 : Nx_1, 0 : Nx_2)$ 
71
72 const  $u_{1\_new} = \text{zeros}(0 : Nx_1, 0 : Nx_2)$ 
73 const  $u_{2\_new} = \text{zeros}(0 : Nx_1, 0 : Nx_2)$ 
74 const  $v_{1\_new} = \text{zeros}(0 : Nx_1, 0 : Nx_2-1)$ 
75 const  $v_{2\_new} = \text{zeros}(0 : Nx_1, 0 : Nx_2-1)$ 
76 const  $\sigma_{11\_new} = \text{zeros}(0 : Nx_1, 0 : Nx_2)$ 
77 const  $\sigma_{12\_new} = \text{zeros}(0 : Nx_1, 0 : Nx_2)$ 
78 const  $\sigma_{22\_new} = \text{zeros}(0 : Nx_1, 0 : Nx_2)$ 
79 const  $p\_new = \text{zeros}(0 : Nx_1, 0 : Nx_2)$ 
80
81 const  $\delta = \text{zeros}(0 : Nx_1, 0 : Nx_2)$ 
82 const  $d\delta_1 = \text{zeros}(0 : Nx_1, 0 : Nx_2)$ 
83 const  $d\delta_2 = \text{zeros}(0 : Nx_1, 0 : Nx_2)$ 
84
85 const  $F_1 = \text{zeros}(0 : Nx_1, 0 : Nx_2)$ 
86 const  $F_2 = \text{zeros}(0 : Nx_1, 0 : Nx_2)$ 
87
88 const  $\text{coeff1} = \text{zeros}(0 : Nx_2)$ 
89 const  $\text{coeff2} = \text{zeros}(0 : Nx_2)$ 
90 const  $\text{coeff3} = \text{zeros}(0 : Nx_2)$ 
91 const  $\text{coeff4} = \text{zeros}(0 : Nx_2)$ 
92
93
94 const  $NL_1 = \text{round}(\text{Int64}, L_1 * Nx_2 / Bx_2)$ 
95
Press Enter to start Julia.

```

```

Welcome | Working FDM_September_11.jl | Welcome Guide
92
93
94 const NL1 = round(Int64, L1 * Nx2 / Bx2)
95 const NL2 = round(Int64, L2 * Nx2 / Bx2)
96
97
98 function DefineMediaCoeffs()
99     porous_idx = 0 : Nx2
100
101     rho_sf[porous_idx] .= rho_sf_porous ;
102     rho_lf[porous_idx] .= rho_lf_porous ;
103     cp1[porous_idx] .= cp1_porous ;
104     cp2[porous_idx] .= cp2_porous ;
105     cs[porous_idx] .= cs_porous ;
106     d0[porous_idx] .= d0_porous ;
107
108     for j in 0 : Nx2
109         rho_s[j] = (1.0 - d0[j]) * rho_sf[j]
110         rho_l[j] = d0[j] * rho_lf[j]
111         rho[j] = rho_s[j] + rho_l[j]
112         mu[j] = rho_s[j] * cs[j]^2.0
113
114         alpha3[j] = 1.0 / (2.0 * rho[j]^2.0) * (
115             cp1[j]^2.0 + cp2[j]^2.0 -
116             8.0 / 3.0 * rho_s[j] * cs[j]^2.0 / rho[j] +
117             sqrt(
118                 (cp1[j]^2.0 - cp2[j]^2.0)^2.0 -
119                 64.0 / 9.0 * rho_l[j] * rho_s[j] * cs[j]^4.0 / rho[j]^2.0
120             )
121         )
122     end
123

```

```

Press Enter to start Julia.
Welcome | Working FDM_September_11.jl | Welcome Guide
120     )
121     )
122     end
123
124     for j in porous_idx
125         K[j] = 0.5 * rho[j] * rho_s[j] / rho_l[j] * (
126             cp1[j]^2.0 + cp2[j]^2.0 -
127             8.0 / 3.0 * rho_l[j] * cs[j]^2.0 / rho[j] -
128             sqrt(
129                 (cp1[j]^2.0 - cp2[j]^2.0)^2.0 -
130                 64.0 / 9.0 * rho_l[j] * rho_s[j] * cs[j]^4.0 / rho[j]^2.0
131             )
132         )
133         alpha[j] = rho[j] * alpha3[j] + K[j] / rho[j]^2.0
134     end
135 end
136
137
138 function DefineCoeffs()
139     for j in 0 : Nx2
140         coeff1[j] = (rho_s[j] * K[j] / rho[j] - 2.0 * mu[j] / 3.0)
141         coeff2[j] = rho_s[j] * K[j] / rho[j]
142         coeff3[j] = -(K[j] - alpha[j] * rho[j] * rho_s[j])
143         coeff4[j] = alpha[j] * rho[j] * rho_l[j]
144     end
145 end
146 end
147
148
149 function DefineDelta()
150     a = 2.0 * max(h1, h2)
151     a^2 = a^2 * theta

```

```

Welcome | Working FDM_September_11.jl | Welcome Guide
148
149 function DefineDelta()
150     a = 2.0 * max(h1, h2)
151     a2 = a^2.0
152
153     for i in 0 : Nx1, j in 0 : Nx2
154         x1 = Ax1 + i * h1
155         x2 = Ax2 + j * h2
156         R2 = (x1 - x10)^2.0 + (x2 - x20)^2.0
157
158         if R2 < a2
159             δ[i,j] = exp(-a2 / (a2 - R2))
160             dδ1[i,j] = -2.0 * a2 * (x1 - x10) * exp(-a2 / (a2 - R2)) / (a2 - R2)
161             dδ2[i,j] = -2.0 * a2 * (x2 - x20) * exp(-a2 / (a2 - R2)) / (a2 - R2)
162         end
163     end
164 end
165
166
167 function DefineRHS(n::Int64)
168     @inbounds @threads for i in 0 : Nx1-1
169         @inbounds for j in 0 : Nx2-1
170             f_mid = 0.5 * (f(τ * n) + f(τ * (n + 1)))
171             F1[i,j] = 0.5 * f_mid * (dδ1[i,j] * δ[i,j] + dδ1[i+1,j] * δ[i+1,j])
172             F2[i,j] = 0.5 * f_mid * (δ[i,j] * dδ2[i,j] + δ[i,j+1] * dδ2[i+1,j])
173         end
174     end
175 end
176
177
178 function Integrate()
179     @inbounds @threads for j in Nx,-1 : -1 : 1

```

```

Press Enter to start Julia.
Welcome | Working FDM_September_11.jl | Welcome Guide
176
177
178 function Integrate()
179     @inbounds @threads for j in Nx2-1 : -1 : 1
180         @inbounds for i in Nx1-1 : -1 : 1
181             u1_new[i,j] = u1[i,j] - τ * (
182                 (σ11[i+1,j] - σ11[i,j]) / (h1 * ρ0s[j]) +
183                 (σ12[i,j+1] - σ12[i,j]) / (h2 * ρ0s[j]) +
184                 (p[i+1,j] - p[i,j]) / (h1 * ρ0[j]) -
185                 F1[i,j]
186             )
187         end
188     end
189
190     @inbounds @threads for i in Nx1-1 : -1 : 1
191         @inbounds for j in Nx2-1 : -1 : 1
192             u2_new[i,j] = u2[i,j] - τ * (
193                 (σ12[i+1,j] - σ12[i,j]) / (h1 * ρ0s[j]) +
194                 (σ22[i,j+1] - σ22[i,j]) / (h2 * ρ0s[j]) +
195                 (p[i,j+1] - p[i,j]) / (h2 * ρ0[j]) -
196                 F2[i,j]
197             )
198         end
199     end
200
201     @inbounds @threads for j in 0 : Nx2-1
202         @inbounds for i in 0 : Nx1-1
203             v1_new[i,j] = v1[i,j] - τ * (
204                 (p[i+1,j] - p[i,j]) / (ρ0[j] * h1) -
205                 F1[i,j]
206             )
207         end

```

```

Welcome | Working FDM_September_11.jl | Welcome Guide
207     end
208   end
209
210   @inbounds @threads for i in Nx1-1 : -1 : 1
211     @inbounds for j in Nx2-1 : -1 : 1
212       v2_new[i,j] = v2[i,j] - τ * (
213         (p[i,j+1] - p[i,j]) / (ρ0[j] * h2) -
214         F2[i,j]
215       )
216     end
217   end
218
219   @inbounds @threads for j in 1 : Nx2-1
220     @inbounds for i in 1 : Nx1-1
221       σ11_new[i,j] = σ11[i,j] - τ * (
222         2.0 * μ[j] * (u1[i,j] - u1[i-1,j]) / h1 +
223         coeff1[j] * (
224           (u1[i,j] - u1[i-1,j]) / h1 +
225           (u2[i,j] - u2[i,j-1]) / h2
226         ) -
227         coeff2[j] * (
228           (v1[i,j] - v1[i-1,j]) / h1 +
229           (v2[i,j] - v2[i,j-1]) / h2
230         )
231       )
232     end
233   end
234
235   @inbounds @threads for j in 1 : Nx2-1
236     @inbounds for i in 1 : Nx1-1
237       σ12_new[i,j] = σ12[i,j] - τ * μ[j] * (
238         (u1[i,j] - u1[i,j-1]) / h2 +
239         (u2[i,j] - u2[i-1,j]) / h1
240       )
241     end
242   end
243
244
245   @inbounds @threads for j in 1 : Nx2-1
246     @inbounds for i in 1 : Nx1-1
247       σ22_new[i,j] = σ22[i,j] - τ * (
248         2.0 * μ[j] * (u2[i,j] - u2[i,j-1]) / h2 +
249         coeff1[j] * (
250           (u1[i,j] - u1[i-1,j]) / h1 +
251           (u2[i,j] - u2[i,j-1]) / h2
252         ) -
253         coeff2[j] * (
254           (v1[i,j] - v1[i-1,j]) / h1 +
255           (v2[i,j] - v2[i,j-1]) / h2
256         )
257       )
258     end
259   end
260
261   @inbounds @threads for j in 1 : Nx2-1
262     @inbounds for i in 1 : Nx1-1
263       p_new[i,j] = p[i,j] - τ * (
264

```

```

Welcome | Working FDM_September_11.jl | Welcome Guide
232     end
233   end
234
235   @inbounds @threads for j in 1 : Nx2-1
236     @inbounds for i in 1 : Nx1-1
237       σ12_new[i,j] = σ12[i,j] - τ * μ[j] * (
238         (u1[i,j] - u1[i,j-1]) / h2 +
239         (u2[i,j] - u2[i-1,j]) / h1
240       )
241     end
242   end
243
244
245   @inbounds @threads for j in 1 : Nx2-1
246     @inbounds for i in 1 : Nx1-1
247       σ22_new[i,j] = σ22[i,j] - τ * (
248         2.0 * μ[j] * (u2[i,j] - u2[i,j-1]) / h2 +
249         coeff1[j] * (
250           (u1[i,j] - u1[i-1,j]) / h1 +
251           (u2[i,j] - u2[i,j-1]) / h2
252         ) -
253         coeff2[j] * (
254           (v1[i,j] - v1[i-1,j]) / h1 +
255           (v2[i,j] - v2[i,j-1]) / h2
256         )
257       )
258     end
259   end
260
261   @inbounds @threads for j in 1 : Nx2-1
262     @inbounds for i in 1 : Nx1-1
263       p_new[i,j] = p[i,j] - τ * (
264

```

Press Enter to start Julia.

```

Welcome | Working FDM_September_11.jl | Welcome Guide
263     p_new[i,j] = p[i,j] + (
264         coeff3[j] * (
265             (u1[i,j] - u1[i-1,j]) / h1 +
266             (u2[i,j] - u2[i,j-1]) / h2
267         ) +
268         coeff4[j] * (
269             (v1[i,j] - v1[i-1,j]) / h1 +
270             (v2[i,j] - v2[i,j-1]) / h2
271         )
272     )
273 end
274 end
275 end
276
277 function DumpParaview(n::Int64)
278     @assert any(isnan, u1) == false
279
280     io = open("data.csv.$(n)", "w")
281     println(io, "x1,x2,u,v,sigma11,sigma12,sigma22,p")
282     @inbounds for i in 0 : Nx1
283         @inbounds for j in 0 : Nx2
284             u, v = 0.0, 0.0
285             if 1 <= i <= Nx1-1 && 1 <= j <= Nx2-1
286                 u = 0.5 * sqrt(
287                     (u1[i-1,j] + u1[i,j])^2.0 +
288                     (u2[i-1,j] + u2[i,j])^2.0
289                 )
290                 v = 0.5 * sqrt(
291                     (v1[i,j-1] + v1[i,j])^2.0 +
292                     (v2[i,j-1] + v2[i,j])^2.0
293                 )
294             end
295

```

Press Enter to start Julia.

```

Welcome | Working FDM_September_11.jl | Welcome Guide
295     end
296
297     println(io, "$(Ax1+i*h1),$(Ax2+j*h2),$(u),$(v),$(sigma11[i,j]),$(
298     end
299 end
300 close(io)
301 end
302
303
304 function UpdateTimeLayers()
305     u1 .= u1_new
306     u2 .= u2_new
307     v1 .= v1_new
308     v2 .= v2_new
309     sigma11 .= sigma11_new
310     sigma12 .= sigma12_new
311     sigma22 .= sigma22_new
312     p .= p_new
313 end
314
315
316 function Start()
317     DefineDelta()
318     DefineMediaCoeffs()
319     DefineCoeffs()
320
321     for n in 0 : LastTimeLayer-1
322         if n%10000 == 0
323             println(n)
324         end
325         if n % 1000 == 0
326             DumpParaview(n)

```

```
Welcome | Working FDM_September_11.jl | Welcome Guide
320
321   for n in 0 : LastTimeLayer-1
322     if n%10000 == 0
323       println(n)
324     end
325     if n % 1000 == 0
326       DumpParaview(n)
327     end
328     DefineRHS(n)
329     Integrate()
330     UpdateTimeLayers()
331   end
332
333   DumpParaview(LastTimeLayer)
334 end
335 print( $\tau$ )
336 # Start()
337
```

ПРИЛОЖЕНИЕ В

Код html для интерфейса и визуализации Раздел <head>

```
<head>
<meta charset="utf-8">
<meta name="viewport" content="width=device-width, initial-scale=1">
<meta name="description" content="">
<meta name="author" content="Blieva Dana">
<title> POROELASTICITY PROBLEM </title>
<link href="https://vjs.zencdn.net/8.5.2/video-js.css" rel="stylesheet" />
{% load static %}
<link href="{% static 'css/bootstrap.min.css' %}" rel="stylesheet">
<style>
.bd-placeholder-img {
font-size: 1.125rem;
text-align: middle;
-webkit-user-select: none;
-moz-user-select: none;
user-select: none;
}
@media (min-width: 768px) {
.bd-placeholder-img-lg {
font-size: 3.5rem;
}
}
</style>

<!-- Custom styles for this template -->
<link href="{% static 'css/dashboard.css' %}" rel="stylesheet">
<link href="{% static 'css/style.css' %}" rel="stylesheet">
</head>
```

Раздел <body>

```
<header class="navbar navbar-dark sticky-top bg-dark flex-md-nowrap p-0 shadow">
<a class="navbar-brand col-md-3 col-lg-2 me-0 px-3" href="#">Visual</a>
<button class="navbar-toggler position-absolute d-md-none collapsed" type="button" data-bs-toggle="collapse"
data-bs-target="#sidebarMenu" aria-controls="sidebarMenu" aria-expanded="false" aria-label="Toggle navigation">
<span class="navbar-toggler-icon"></span>
</button>
<div class="navbar-nav">
</div>
</header>

<div class="container-fluid">
<div class="row">
<nav id="sidebarMenu" class="col-md-3 col-lg-2 d-md-block bg-light sidebar collapse">
<div class="position-sticky pt-3" style="overflow-y: scroll; height: 100%;">
<form id="form">
{% csrf_token %}
<div class="mx-3">
<h5 class="d-flex mb-1 text-muted">|
<span>INPUTS</span>
</h5>
<ul class="nav flex-column">
```

```

<li class="nav-item">
  <div class="input-group input-group-sm mb-2">
    <span class="input-group-text w-25">
      <math xmlns="http://www.w3.org/1998/Math/MathML" display="block">
        <mstyle displaystyle="true" scriptlevel="0">
          <mrow data-mjx-texclass="ORD">
            <mtable rowspacing=".5em" columnspadding="1em" displaystyle="true">
              <mtr>
                <mt>
                  <msubsup>
                    <mi>&#x3C1;</mi>
                    <mrow data-mjx-texclass="ORD">
                      <mn>0</mn>
                      <mo>,</mo>
                      <mi>s</mi>
                    </mrow>
                    <mi>f</mi>
                  </msubsup>
                </mt>
              </mtr>
            </mtable>
          </mrow>
        </mstyle>
      </math> = </span>
      <input type="text" class="form-control" name="p0sf" id="p0sf" value="1500.0">
    </div>
    <label for="p0sf" class="form-label">physical density of the solid matrix</label>
  </li>
  <li class="nav-item">
    <div class="input-group input-group-sm mb-2">
      <span class="input-group-text w-25"><math xmlns="http://www.w3.org/1998/Math/MathML" display="block">
        <mstyle displaystyle="true" scriptlevel="0">
          <mrow data-mjx-texclass="ORD">
            <mtable rowspacing=".5em" columnspadding="1em" displaystyle="true">
              <mtr>
                <mt>
                  <msubsup>
                    <mi>&#x3C1;</mi>
                    <mrow data-mjx-texclass="ORD">
                      <mn>0</mn>
                      <mo>,</mo>
                      <mn>1</mn>
                    </mrow>
                    <mi>f</mi>
                  </msubsup>
                </mt>
              </mtr>
            </mtable>
          </mrow>
        </mstyle>
      </math> = </span>
      <input type="text" class="form-control" name="p0lf" id="p0lf" value="1000.0">
    </div>
    <label for="p0lf" class="form-label">physical density of the liquid</label>
  </li>

```

```

<li class="nav-item">
  <div class="input-group input-group-sm mb-2">
    <span class="input-group-text w-25"><math xmlns="http://www.w3.org/1998/Math/MathML" display="block">
      <mstyle displaystyle="true" scriptlevel="0">
        <mrow data-mjx-texclass="ORD">
          <mtable rowspacing=".5em" columnspacing="1em" displaystyle="true">
            <mtr>
              <mtd>
                <msub>
                  <mi>c</mi>
                  <mrow data-mjx-texclass="ORD">
                    <mi>p</mi>
                    <mn>1</mn>
                  </mrow>
                </msub>
              </mtd>
            </mtr>
          </mtable>
        </mrow>
      </mstyle>
    </math> = </span>
    <input type="text" class="form-control" name="cp1" id="cp1" value="2100.0">
  </div>
  <label for="cp1" class="form-label">fast longitudinal wave propagation velocity </label>
</li>

```

```

<li class="nav-item">
  <div class="input-group input-group-sm mb-2">
    <span class="input-group-text w-25"><math xmlns="http://www.w3.org/1998/Math/MathML" display="block">
      <mstyle displaystyle="true" scriptlevel="0">
        <mrow data-mjx-texclass="ORD">
          <mtable rowspacing=".5em" columnspacing="1em" displaystyle="true">
            <mtr>
              <mtd>
                <msub>
                  <mi>c</mi>
                  <mrow data-mjx-texclass="ORD">
                    <mi>p</mi>
                    <mn>2</mn>
                  </mrow>
                </msub>
              </mtd>
            </mtr>
          </mtable>
        </mrow>
      </mstyle>
    </math> = </span>
    <input type="text" class="form-control" name="cp2" id="cp2" value="500.0">
  </div>
  <label for="cp2" class="form-label">a slow longitudinal wave propagation velocity</label>
</li>

```

```

<li class="nav-item">
  <div class="input-group input-group-sm mb-2">
    <span class="input-group-text w-25"><math xmlns="http://www.w3.org/1998/Math/MathML" display="block">
      <mstyle displaystyle="true" scriptlevel="0">
        <mrow data-mjx-texclass="ORD">
          <mtable rowspacing=".5em" columnspacing="1em" displaystyle="true">
            <mtr>
              <mtd>
                <msub>
                  <mi>c</mi>
                  <mrow data-mjx-texclass="ORD">
                    <mi>s</mi>
                  </mrow>
                </msub>
              </mtd>
            </mtr>
          </mtable>
        </mrow>
      </mstyle>
    </math> = </span>
    <input type="text" class="form-control" name="cs" id="cs" value="1400.0">
  </div>
  <label for="cs" class="form-label">shear wave propagation velocity</label>
</li>

```

```

<li class="nav-item">
  <div class="input-group input-group-sm mb-2">
    <span class="input-group-text w-25"><math xmlns="http://www.w3.org/1998/Math/MathML" display="block">
      <mstyle displaystyle="true" scriptlevel="0">
        <mrow data-mjx-texclass="ORD">
          <table rowspacing=".5em" columnsspacing="1em" displaystyle="true">
            <mtr>
              <mtd>
                <msub>
                  <mi>c</mi>
                  <mrow data-mjx-texclass="ORD">
                    <mn>0</mn>
                  </mrow>
                </msub>
              </mtd>
            </mtr>
          </table>
        </mrow>
      </mstyle>
    </math> = </span>
    <input type="text" class="form-control" name="d0" id="d0" value="0.2">
  </div>
  <label for="cs" class="form-label">porosity</label>
</li>
</ul>
</div>
</form>
<div class="input-group input-group-sm mb-2 px-3">
  <button id="julia-FDM" class="form-control text-center" onclick="submit()">
    <div id="FDM-text" style="display: block;">
      Start FDM
    </div>
    <div class="spinner-border m-auto" style="display: none;" role="status" id="FDM-load">
      <span class="visually-hidden">Loading...</span>
    </div>
  </button>
</div>
<h5 class="d-flex justify-content-between align-items-center px-3 mt-3 mb-1 text-muted">
  <span>LOGS</span>
</h5>
<pre id="log" class="p-3">
</pre>
</div>
</nav>

```

```

<div class="d-flex justify-content-between flex-wrap flex-md-nowrap align-items-center pt-3 pb-2 mb-3 border-bottom">
  <h1 class="h2">Scene</h1>
  <div class="btn-group me-2 mb-md-0">
    <button id="generate-video-u" type="button" class="btn btn-sm btn-outline-secondary" onclick="generate_video('u')">
      Generate video U
    </button>
    <button id="generate-video-v" type="button" class="btn btn-sm btn-outline-secondary" onclick="generate_video('v')">
      Generate video V
    </button>
  </div>
</div>

```

```

<div class="row">
  <div class="col-6">
    <div style="height: 50px;">
      <div class="spinner-border m-auto" style="display: none;" role="status" id="Video-load-u">
        <span class="visually-hidden">Loading...</span>
      </div>
      <div id="Video-load-u-text">
        <span></span>
      </div>
    </div>
    <video id="my-video-u" class="video-js" controls preload="auto" width="100%" height="100%" data-setup='{"fluid":
true,"disablePictureInPicture": true}'>
      <source src="{% static '/output_video_u.mp4' %}" type="video/mp4" />
    </video>
  </div>
  <div class="col-6">
    <div style="height: 50px;">
      <div class="spinner-border m-auto" style="display: none;" role="status" id="Video-load-v">
        <span class="visually-hidden">Loading...</span>
      </div>
      <div id="Video-load-v-text">
        <span></span>
      </div>
    </div>
    <video id="my-video-v" class="video-js" controls preload="auto" width="100%" height="100%" data-setup='{"fluid":
true,"disablePictureInPicture": true}'>
      <source src="{% static '/output_video_v.mp4' %}" type="video/mp4" />
    </video>
  </div>
</div>
<div class="d-flex justify-content-between flex-wrap flex-md-nowrap align-items-center pt-3 pb-2 mb-3">
  <div class="btn-group me-2 mb-md-0">
    <div class="spinner-border m-auto" style="display: none;margin-right: 10px!important;" role="status" id="Downloading-load">
      <span class="visually-hidden">Loading...</span>
    </div>
    <button id="get-dataset-zip" type="button" class="btn btn-sm btn-outline-secondary" onclick="get_dataset()">
      Download zip dataset
    </button>
  </div>
</div>
</div>
</main>
</div>
</div>
<script src="{% static 'js/bootstrap.bundle.min.js' %}"></script>
<script src="https://cdn.jsdelivr.net/npm/feather-icons@4.28.0/dist/feather.min.js" integrity="sha384-
uO3SXW5IuS1ZpFPKugNNWqTZRRglnUJK6UAZ/gxOX80nxEkN9NcGZTftn6RzhGWE" crossorigin="anonymous"></script><script
src="https://cdn.jsdelivr.net/npm/chart.js@2.9.4/dist/Chart.min.js" integrity="sha384-
zNy6FEbO50N+Cg5wap8IKA4M/ZnLJgzc6w2NqACZaK0u0FxfOWRRRjOnQtpZun8ha" crossorigin="anonymous"></script><script
src="{% static 'js/dashboard.js' %}"></script>
<script src="https://code.jquery.com/jquery-3.7.1.js"></script>
<script src="{% static 'js/script.js' %}"></script>
<script src="https://vjs.zencdn.net/8.5.2/video.min.js"></script>
<script>
document.addEventListener('DOMContentLoaded', function() {
  var player_u = videojs('my-video-u', {
    /* Video.js options go here */
  });
  var player_v = videojs('my-video-v', {
    /* Video.js options go here */
  });
});
</script>
</body>
</html>

```

generate_video.py

```
import pyvista as pv
import pandas as pd
import os
from .video import record_video

def plotting(csv_path,image_path,point_cloud,plotter,max=0.001,first = False, method = 'u'):
    data = pd.read_csv(csv_path)
    point_cloud.points = data[['x1', 'x2', method]].values
    point_cloud[method] = data[method].values
    delaunay = point_cloud.delaunay_2d()
    plotter.clear()
    plotter.add_mesh(delaunay, scalars=method, cmap='jet', clim=[0, max])
    if first:
        plotter.camera_position = 'xy'
        plotter.camera.roll=180
    text_position = (0.0, 0.0, 62.0)
    text = 't = ' + csv_path.split('.')[1][-2]
    plotter.add_text(text, position=text_position, font_size=20, color='black')
    plotter.screenshot(image_path)
    return image_path

# project_path = 'C://github_repositories//julia//JPBapp//'+'/app/scripts/'

def max_value_u(project_path,method='u'):
    m = 0
    for i in range(0000,100001,1000):
        file_path = 'data/data.{}.csv'.format(i)
        # print(project_path + file_path)
        if os.path.isfile(os.path.join(project_path, file_path)):
            data = pd.read_csv(project_path + file_path)
            m = max(data[method].max(),m)
    return m

def generate(method):
    project_path = os.getcwd()+'/app/scripts/'
    plotter = pv.Plotter(off_screen=True)
    # plotter.open_movie(project_path + 'output_video.mp4')

    point_cloud = pv.PolyData()
    frames=[]
    first = True
    max_u = max_value_u(project_path,method = method)
    for i in range(0000,100001,1000):
        file_path = 'data/data.{}.csv'.format(i)
        print(file_path)
        if os.path.isfile(os.path.join(project_path, file_path)):
            frames.append(plotting(project_path + file_path, project_path + 'frames/frame_{}.jpeg'.format(i),point_cloud,plotter,max_u,first=first,method
= method))
            first=False
    plotter.close()

    record_video(image_folder=os.getcwd()+'/app/scripts/frames/',fps=5,video_name=project_path +
'output_video_{}.mp4'.format(method),images=frames)
```

ПРИЛОЖЕНИЕ Г

Акты внедрения



АО «Нефтяная компания «КОР»

Юридический адрес: Республика Казахстан, г. Кызылорда, проспект Н.Назарбаева, д. №29.

Почтовый адрес: Республика Казахстан, г. Кызылорда, проспект Н.Назарбаева, д. №29. E-mail: info@kor.kz

Факс: 8 (7242) 23-13-00 (1005), (1097), 23-14-41, 23-11-81, 23-11-71, 23-13-23, 23-14-84, 23-15-51, 23-14-94, 23-15-66

БИН 991140000357, ИИК KZ786017201000001535, БИК: HSBKZJKX в КФ АО «Народный Банк Казахстана»



АКТ ВНЕДРЕНИЯ РЕЗУЛЬТАТОВ РАБОТ

Разработанный группой исследователей Блиевой Д.Н., Байгереевым Д.Р.(PhD), Жаппас Ж.А. вычислительный алгоритм решения динамических уравнений пороупругости, составленный на языке программирования Julia и программный комплекс с удобным интерфейсом, составленном на языках HTML, Python, Java Script используется для построения имитационной модели продуктивных пластов в целях анализа изменений порового давления, скорости движения пластовых жидкостей и твердых частиц, вызывающих деформацию и возможную просадку уровня почвы вокруг скважин. Интерфейс используется для введения исходных значений параметров, автоматического запуска вычислений и получения динамической визуализации результатов вычислений, с указанием времени, затраченного на вычислительный процесс. Результаты вычислений необходимы для прогнозирования и снижения негативных последствий деформации пластов в процессе эксплуатации месторождений углеводородного сырья.

Генеральный директор
АО «Нефтяная компания КОР»



Узаков Д.Д.



Жауапкершілігі шектеулі серіктестік
«АКТАУ-ТРАНЗИТ»
Товарищество с ограниченной ответственностью
БСН/БИН 000740003881
г. Актау, 4 микрорайон, 23/2 здание, 3 этаж

шығыс/исх. № 37/1
от 12 января 2024 года

АКТ ВНЕДРЕНИЯ

Разработанный Блиевой Д.Н. вычислительный алгоритм решения динамических уравнений пороупругости и программный комплекс, составленный на языках программирования Julia с удобным интерфейсом, разработанным на языках HTML, Python, Java Script используется для построения имитационной модели продуктивных пластов в целях анализа изменений порового давления, скорости движения пластовых жидкостей и др. и возможного уровня просадки почвы вокруг скважин. Интерфейс используется для введения исходных значений параметров, автоматического запуска вычислений и получения динамической визуализации результатов вычислений, с указанием времени, затраченного на вычислительный процесс. Результаты вычислений необходимы для прогнозирования и снижения негативных последствий деформации пластов в процессе эксплуатации месторождений углеводородного сырья.

С уважением,

Заместитель директора по производству
ТОО «Актау-Транзит»



Мудебаев А.Х.